

# Bi9393 Analytická cytometrie

## Lekce 4



**Karel Souček, Ph.D.**

Oddělení cytokinety  
Biofyzikální ústav AVČR, v.v.i.  
Královopolská 135  
612 65 Brno

**e-mail: [ksoucek@ibp.cz](mailto:ksoucek@ibp.cz)**  
tel.: 541 517 166



## **ANALÝZA NUKLEOVÝCH KYSELIN**

**buněčný cyklus** a ploidyta

analýza zlomů DNA

**inkorporace BrDU**

exprese cyklinů

analýza denaturace DNA

## **ANALÝZA BUNĚČNÉHO FENOTYPU**

**imunofenotypizace pomocí CD antigenů**

(detekce diferenciačních a nádorových markerů)

detekce cytokinových receptorů

## **CYTOGENETIKA**

analýza chromozómů

## **STUDIUM BUNĚČNÝCH FUNKCÍ**

**viabilita**

stanovení intracelulárního pH

**analýza organel a cytoskeletu**

**stanovení membránového potenciálu**

**oxidativní vzplanutí**

**stanovení intracelulárního Ca<sup>2+</sup>**

stanovení intracelulárních cytokinů

Natural Killer ligace značených buněk

analýza reportérových genů



# Biologické aplikace průtokové cytometrie

- analýza DNA
- analýza buněčných funkcí
- fluorescenční proteiny



# Co je důležité při přípravě vzorku a značení...

- Postup přípravy vzorku a značení nelze zobecnit – závisí na typu buněk a konkrétní analýze
  - suspenze jednotlivých buněk
  - vitální značení
  - fixace (etanol, formaldehyd)
  - permeabilizace (detergenty)
  - difúze
  - aktivní transport

# Analýza buněčného cyklu

- jedna z nejstarších aplikací flow cytometrie, stanovení fáze buněčného cyklu podle množství DNA
- průtoková cytometrie je vhodná metoda pro rychlou a přesnou determinaci buněčného cyklu
- jednoduchým způsobem je DNA obarvena fluorescenční barvou specifickou pro DNA.

- Propidium iodide

## 4',6-diamidino-2-phenylindole (DAPI)

- dramaticky zvyšují fluorescenci po vazbě na DNA. Je nutná permeabilizace cytoplasmatické membrány .

- Hoechst 33342

- Vybrant® DyeCycle™

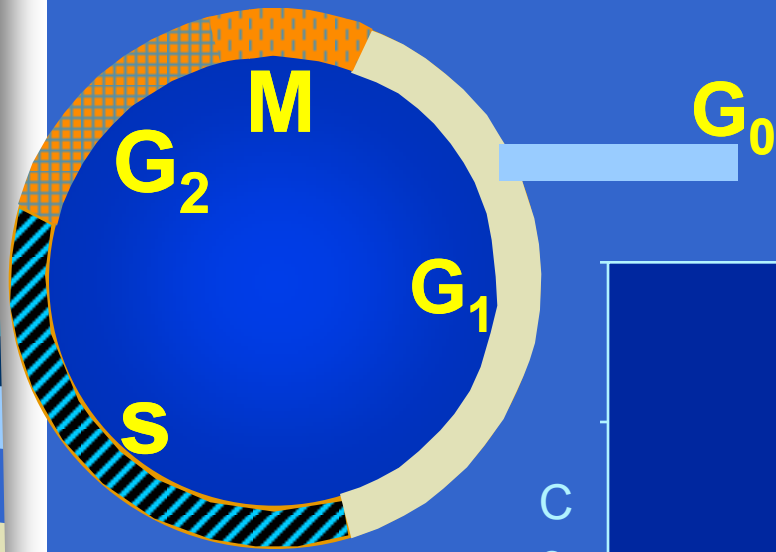
- DRAQ5

- Quaternary benzo[c]phenanthridine alkaloids (QBAs)

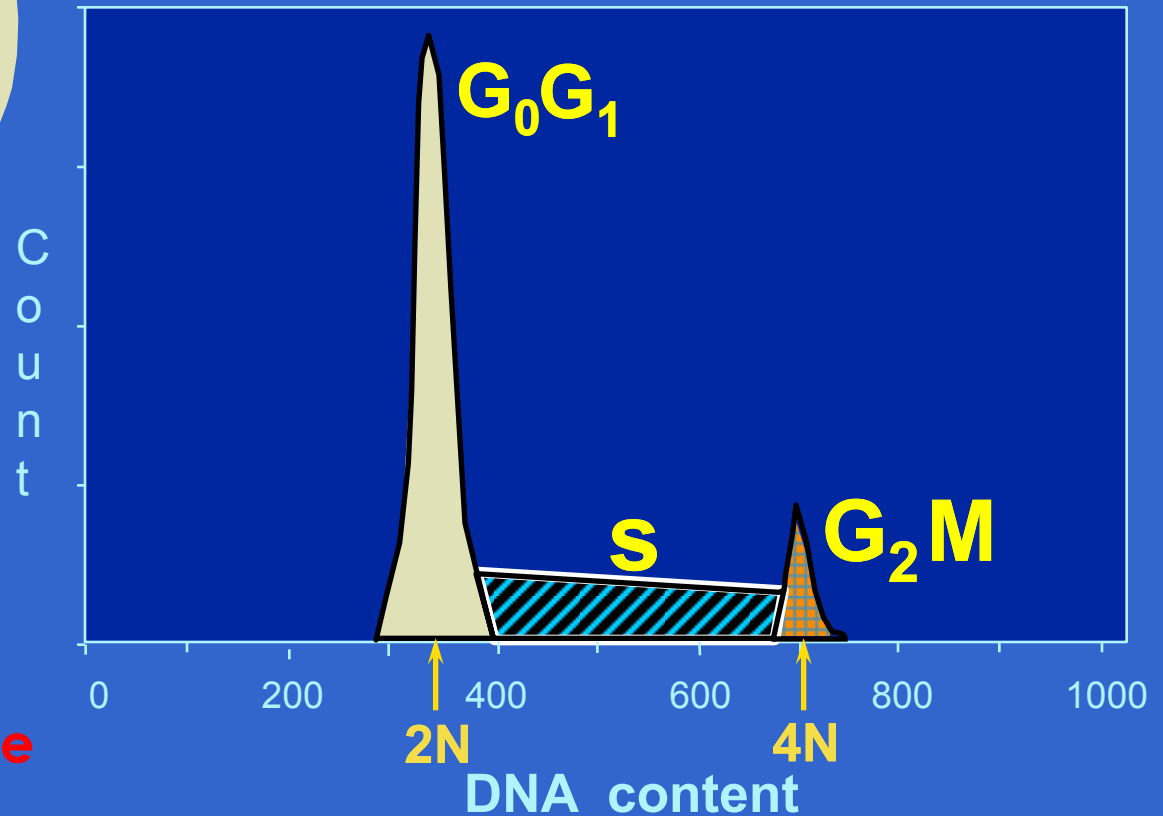
I. Slaninova, J. Slanina and E. Taborska, "Quaternary benzo[c]phenanthridine alkaloids--novel cell permeant and red fluorescing DNA probes," *Cytometry A*, vol. 71, no. 9, pp. 700-708, 2007.

- mohou být používány pro značení viabilních buněk.

# Normal Cell Cycle



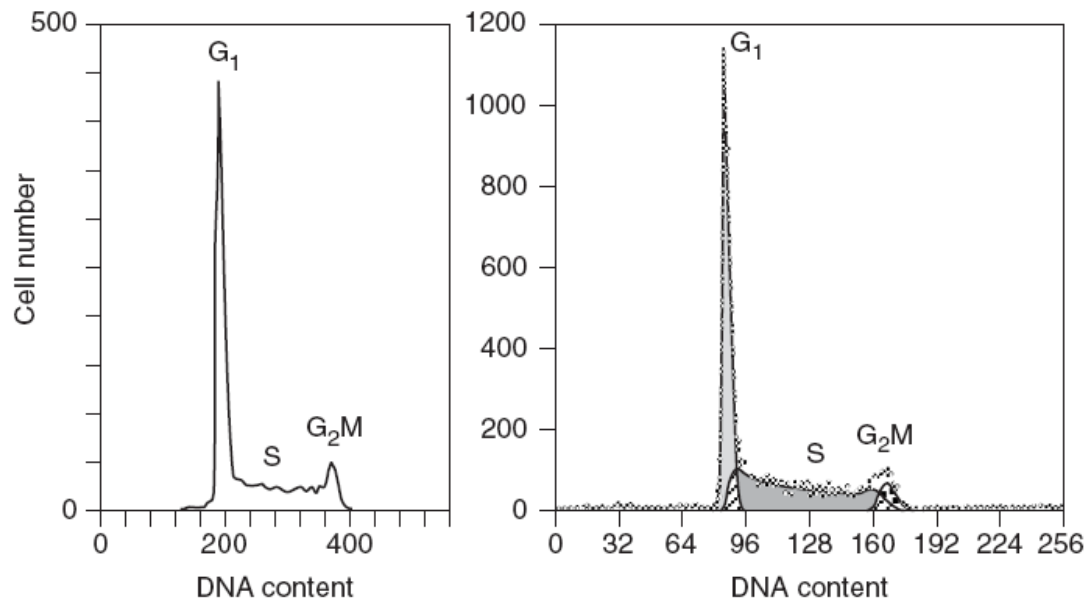
## DNA Analysis



- propidium iodide
- DAPI
- Hoechst 33342
- 7-AAD

# Analýza histogramu buněčného cyklu

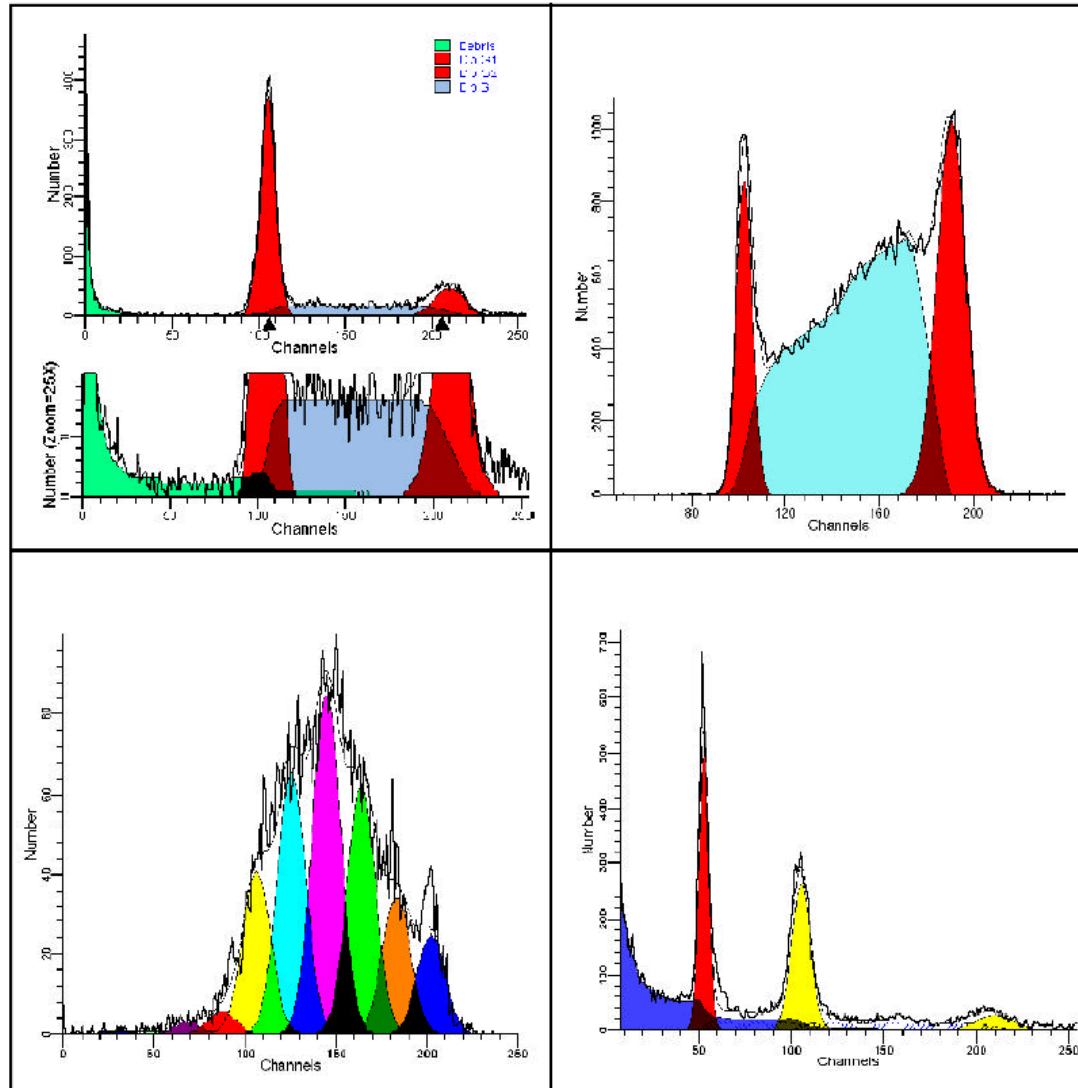
- **nepoužívá** se běžná analýza pomocí úseček (regionů) v histogramu
- **je nutné** používat speciální software pro modelování analýzu distribuce jednotlivých fází



# ModFit LT™



*An impressive new version of the industry standard.*

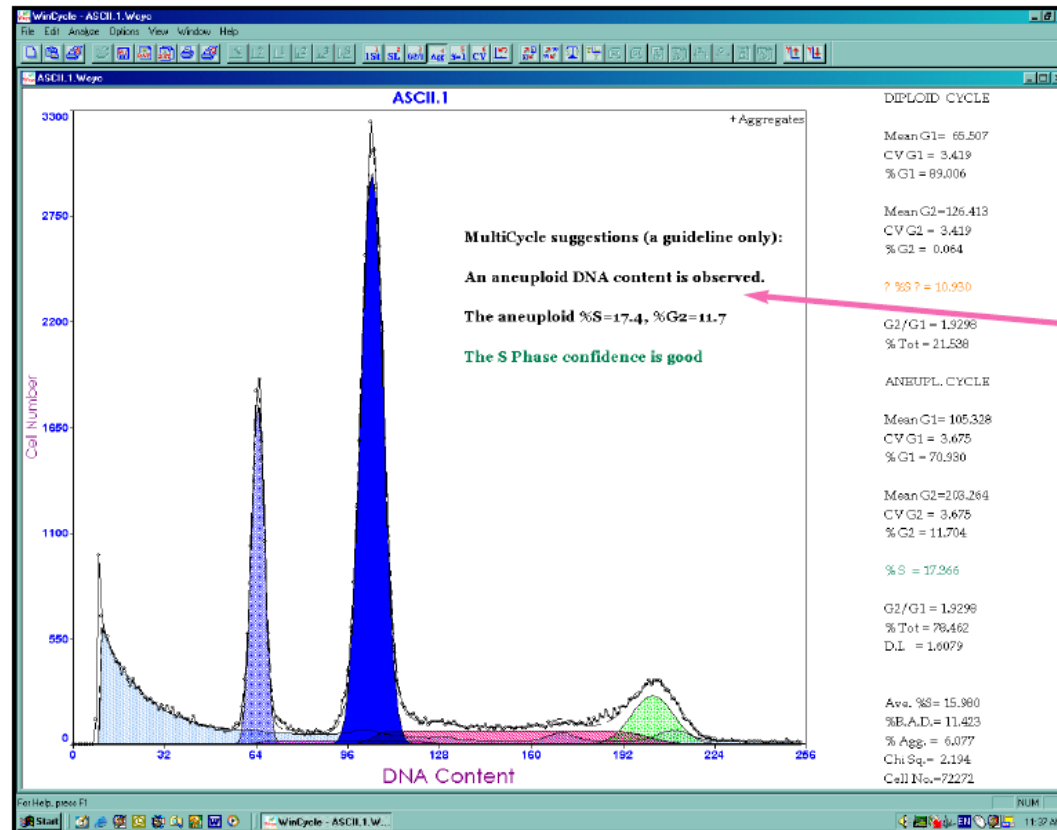




# MultiCycle for Windows

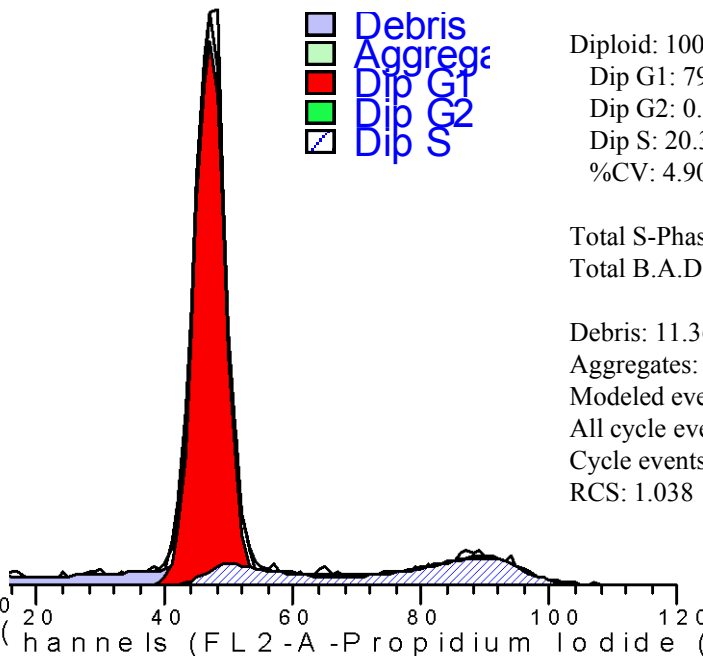
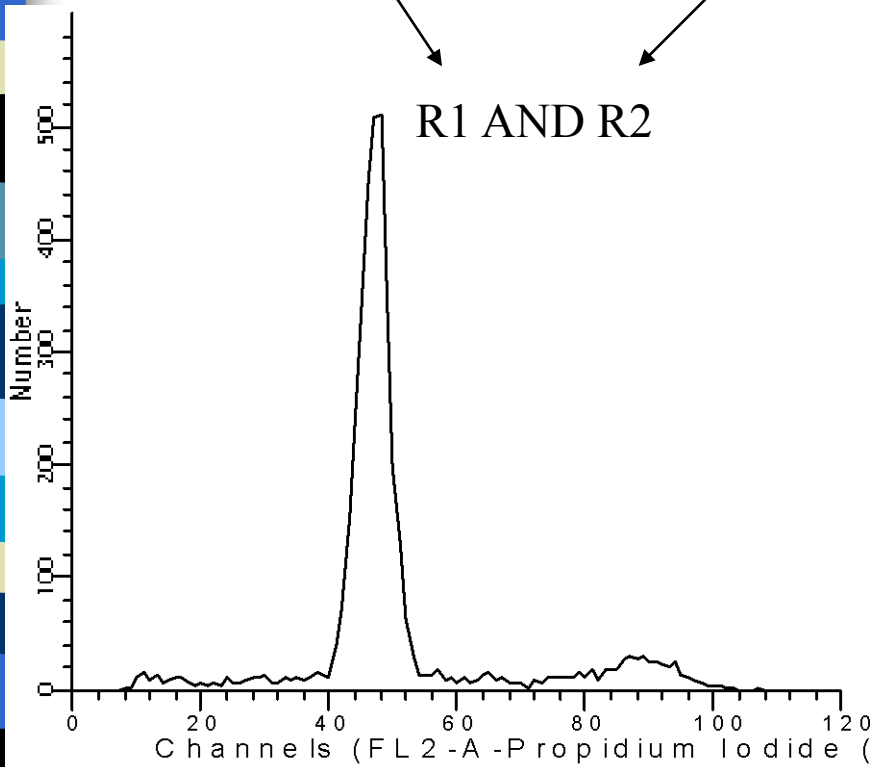
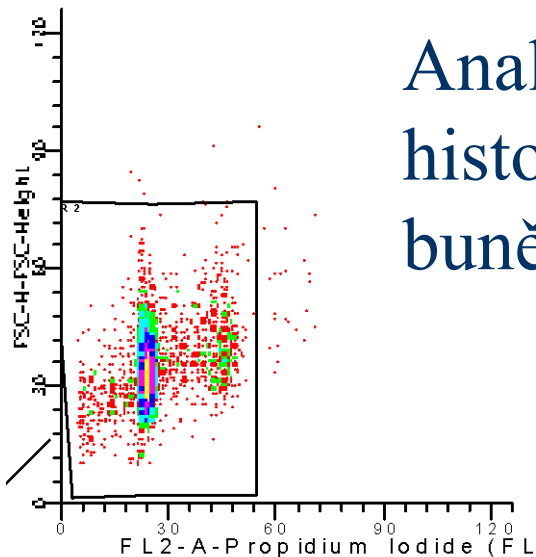
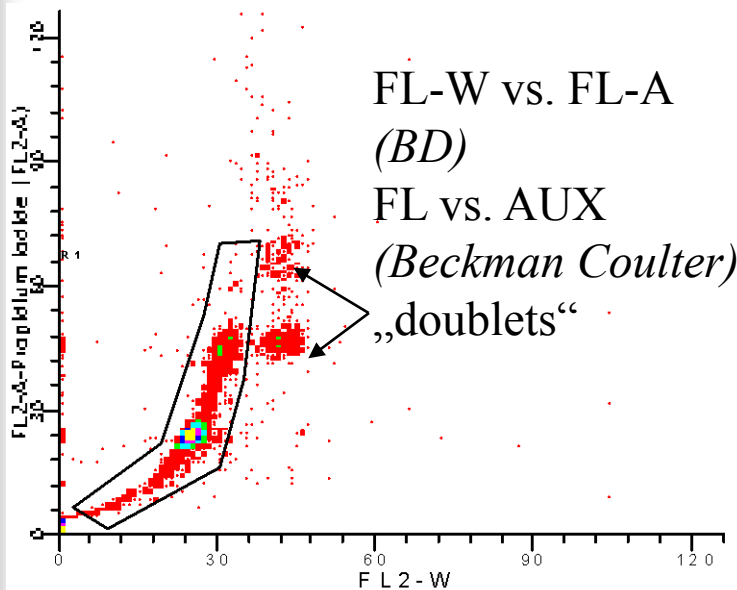
## *Advanced* DNA Cell Cycle Analysis Program

MultiCycle AV fits 6 different cell cycle models automatically. The variability in results is one aid to assessing confidence in S and G2 phase estimates. Display of statistics is optional.



A summary interpretation clearly states results. A built-in decision tree helps take the guesswork out of evaluating the quality of the cell cycle analysis.

# Analýza histogramu buněčného cyklu



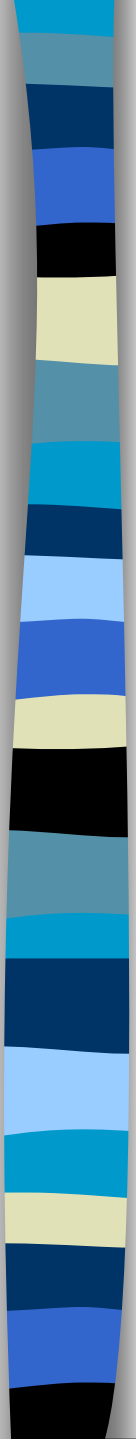
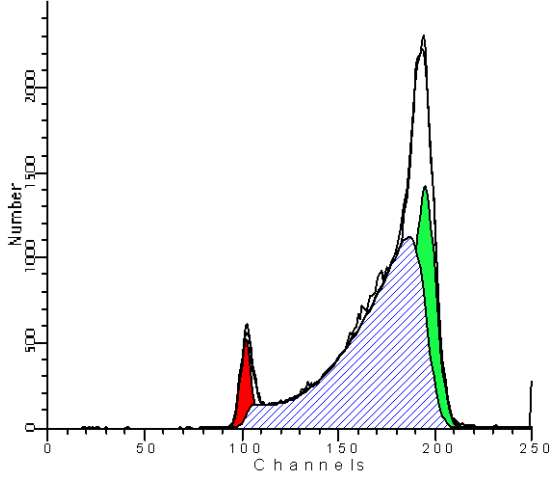
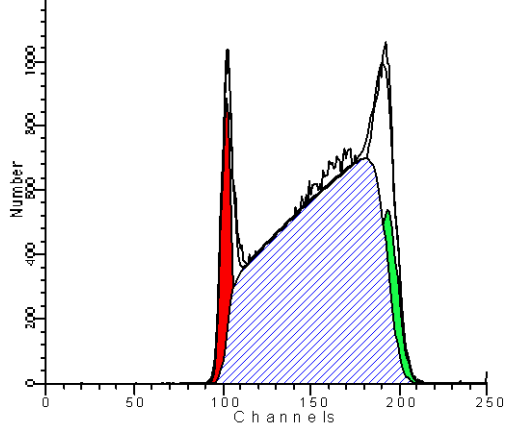
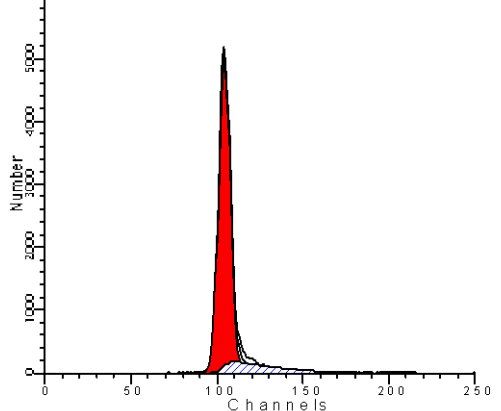
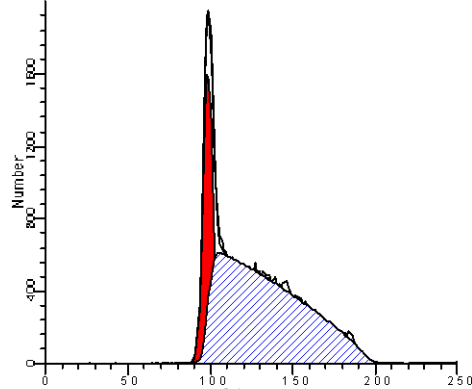
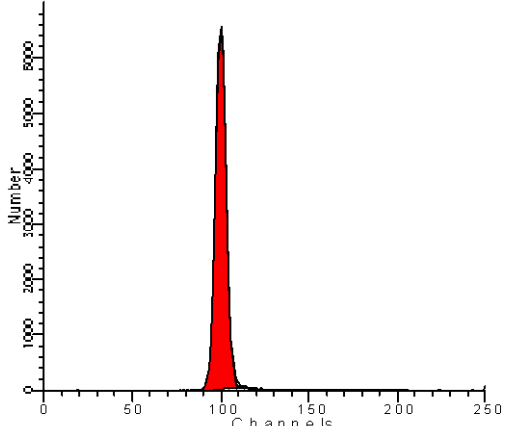
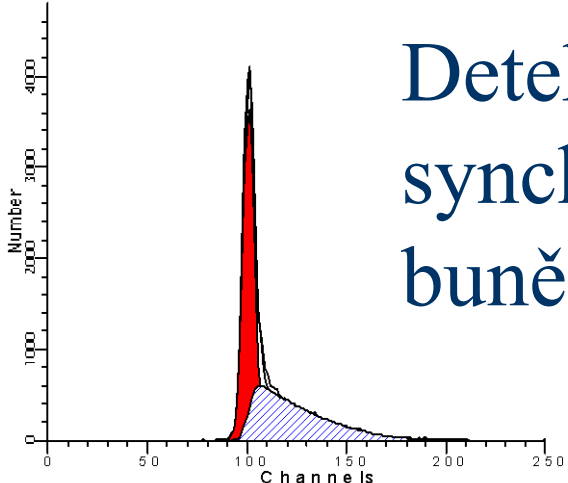
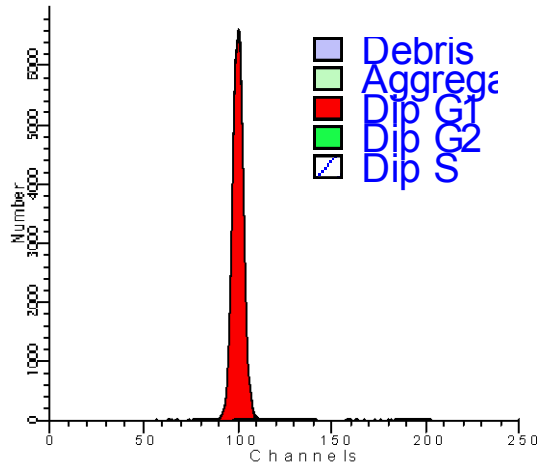
File analyzed: LNCaP/  
Date analyzed: 16-Oct-2006  
Model: 1DA0n\_DSD  
Analysis type: Manual analysis

Diploid: 100.00 %  
Dip G1: 79.55 % at 46.94  
Dip G2: 0.15 % at 93.88  
Dip S: 20.30 % G2/G1: 2.00  
%CV: 4.90

Total S-Phase: 20.30 %  
Total B.A.D.: 3.32 %

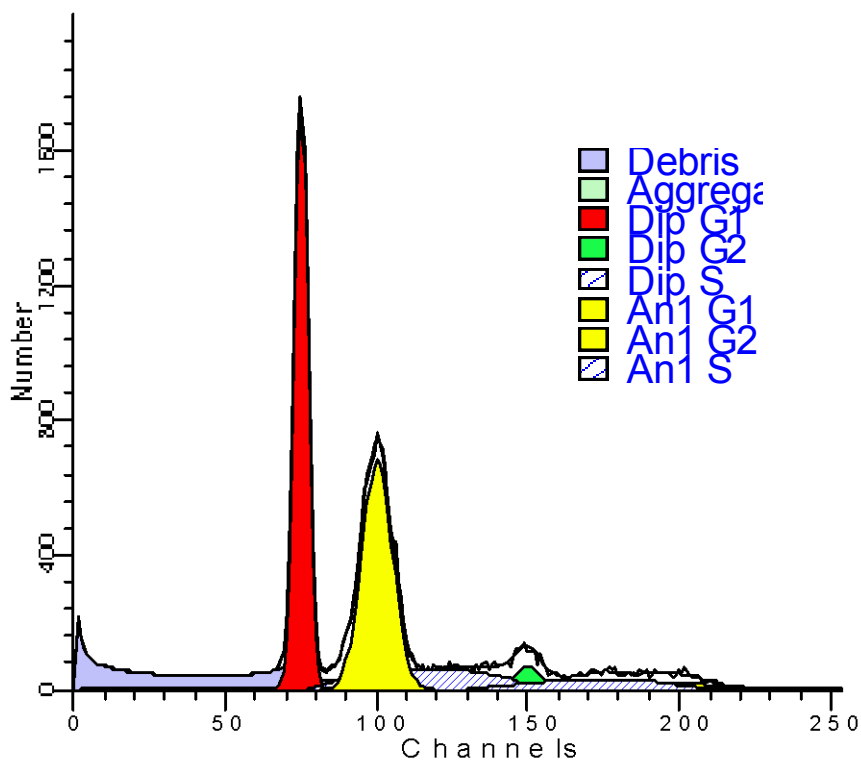
Debris: 11.36 %  
Aggregates: 0.06 %  
Modeled events: 3970  
All cycle events: 3517  
Cycle events per channel: 73  
RCS: 1.038

# Detekce buněk v synchronizovaném buněčném cyklu



# Aneuploidie je významný diagnostický marker

File analyzed: SAMPLE2.FCS  
Date analyzed: 16-Oct-2006  
Model: 2DA0n\_DSD\_ASD  
Analysis type: Automatic analysis



Diploid: 57.22 %  
Dip G1: 70.35 % at 75.05  
Dip G2: 5.60 % at 150.10  
Dip S: 24.05 % G2/G1: 2.00  
%CV: 3.02

Aneuploid 1: 42.78 %  
An1 G1: 83.63 % at 100.15  
An1 G2: 5.87 % at 200.30  
An1 S: 10.50 % G2/G1: 2.00  
%CV: 5.02 DI: 1.33

Total Aneuploid S-Phase: 10.50 %  
Total S-Phase: 18.25 %  
Total B.A.D.: 11.22 %

Debris: 19.13 %  
Aggregates: 3.96 %  
Modeled events: 31253  
All cycle events: 24037  
Cycle events per channel: 190  
RCS: 0.842

# Analýza ploidity u vyšších rostlin

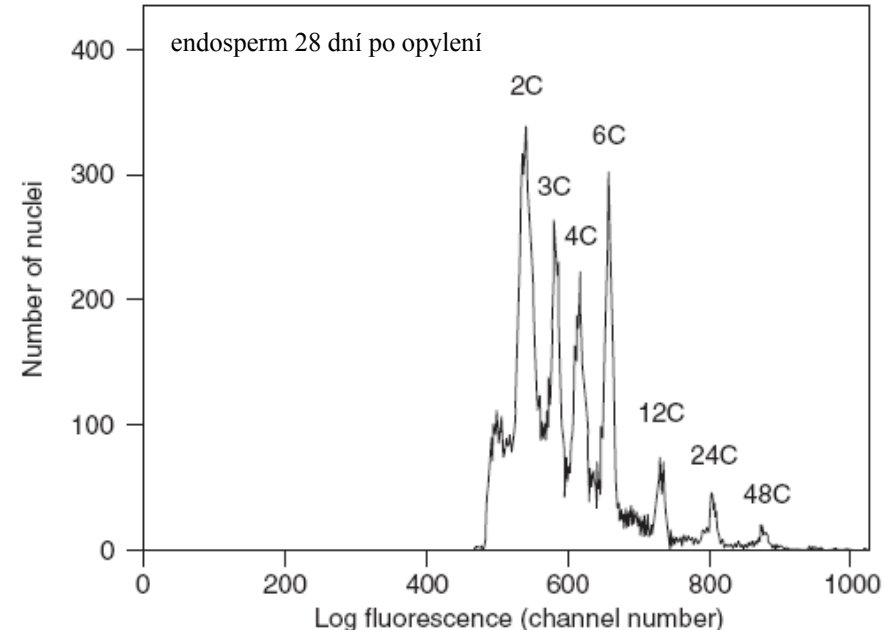
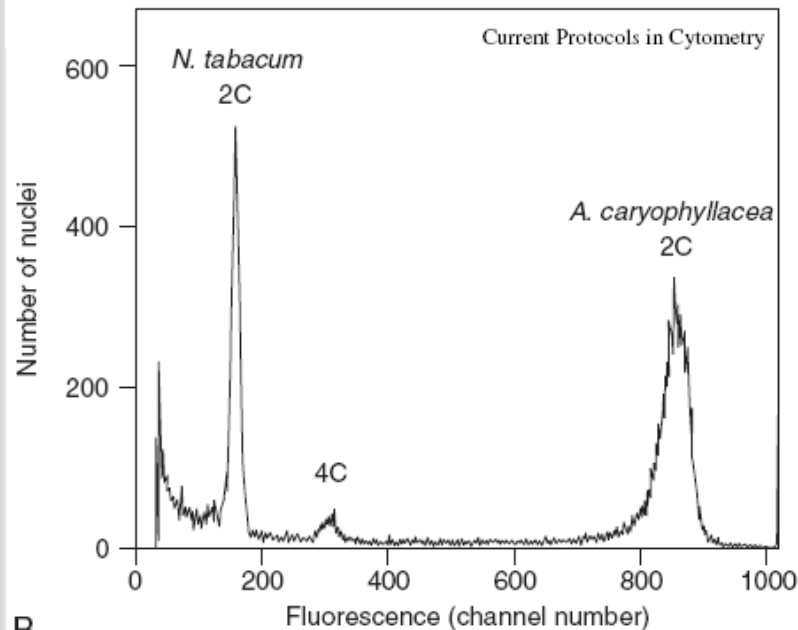
*Nicotiana tabacum*



*Alstroemeria caryophyllacea*



*Zea mays*

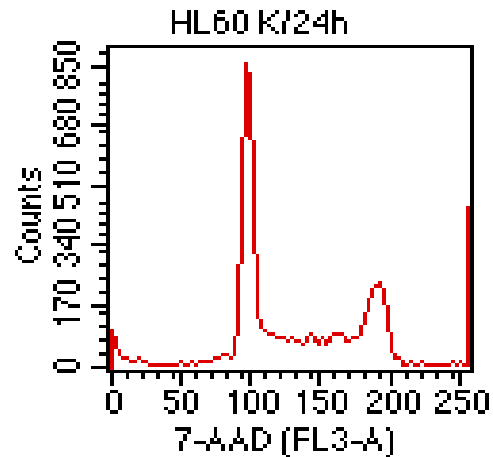
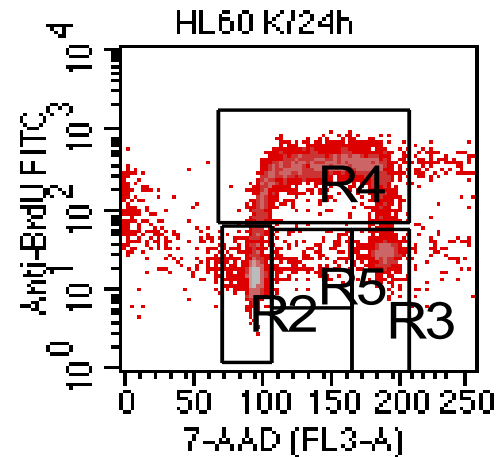
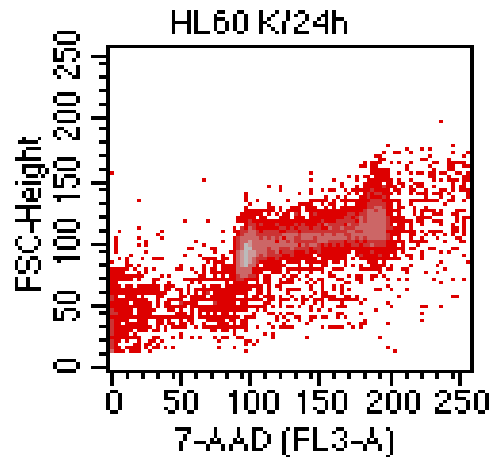




# Analýza inkorporace BrdU

- bromodeoxyuridin se inkorporuje do DNA namísto tymidinu během S-fáze
- po fixaci a částečné denaturaci DNA je možné BrdU detekovat pomocí specifické protilátky značené fluorochromem
- v posledním kroku můžeme obarvit DNA

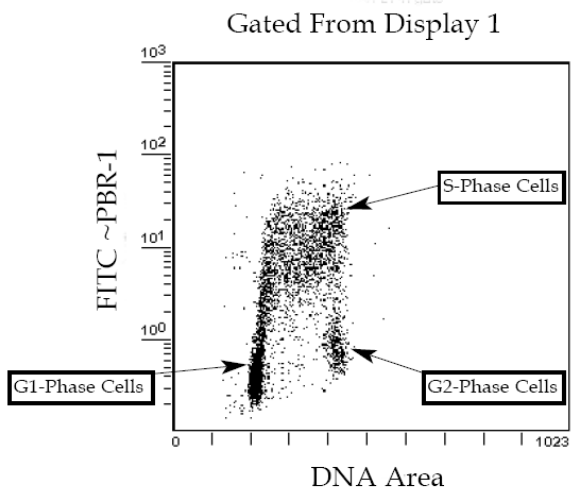
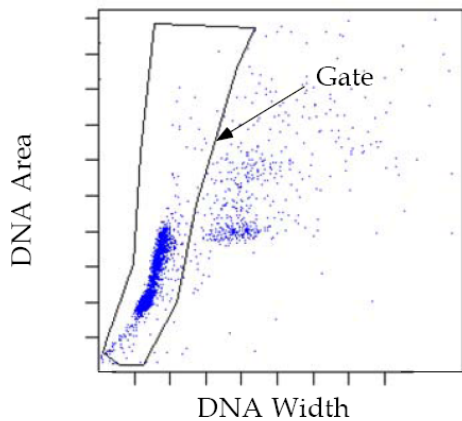
# Analýza inkorporace BrdU



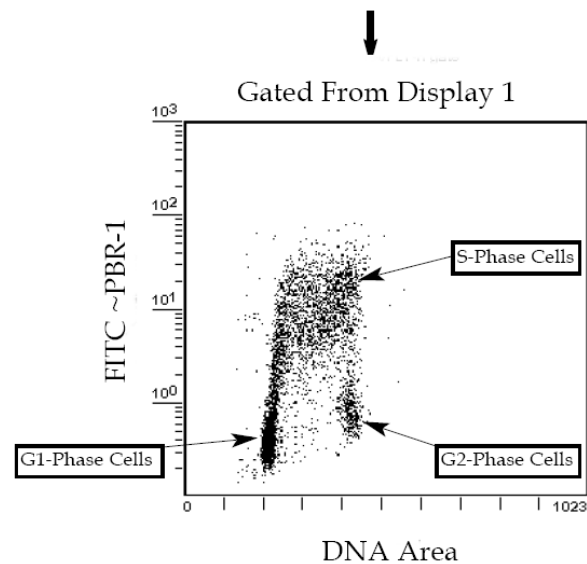
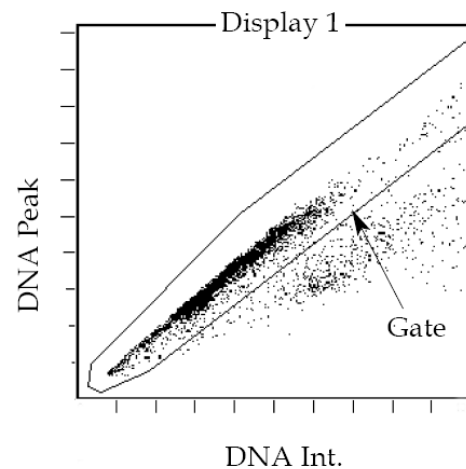
File: HL60 K/24

Regi	% Ga
R4	100.0
R2	35.4
R5	10.2
R3	47.8
R1	1.3

## Flow Cytometer Setup for Becton Dickinson Hardware



## Flow Cytometer Setup for Coulter Hardware





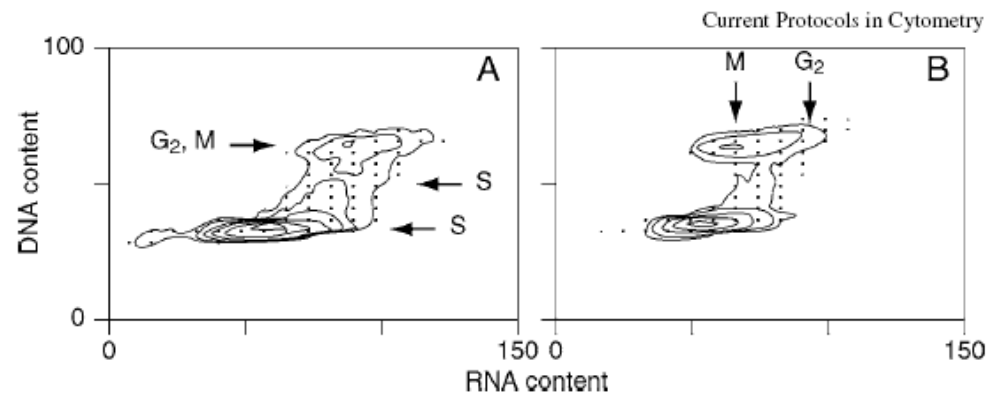
# Analýza DNA a RNA

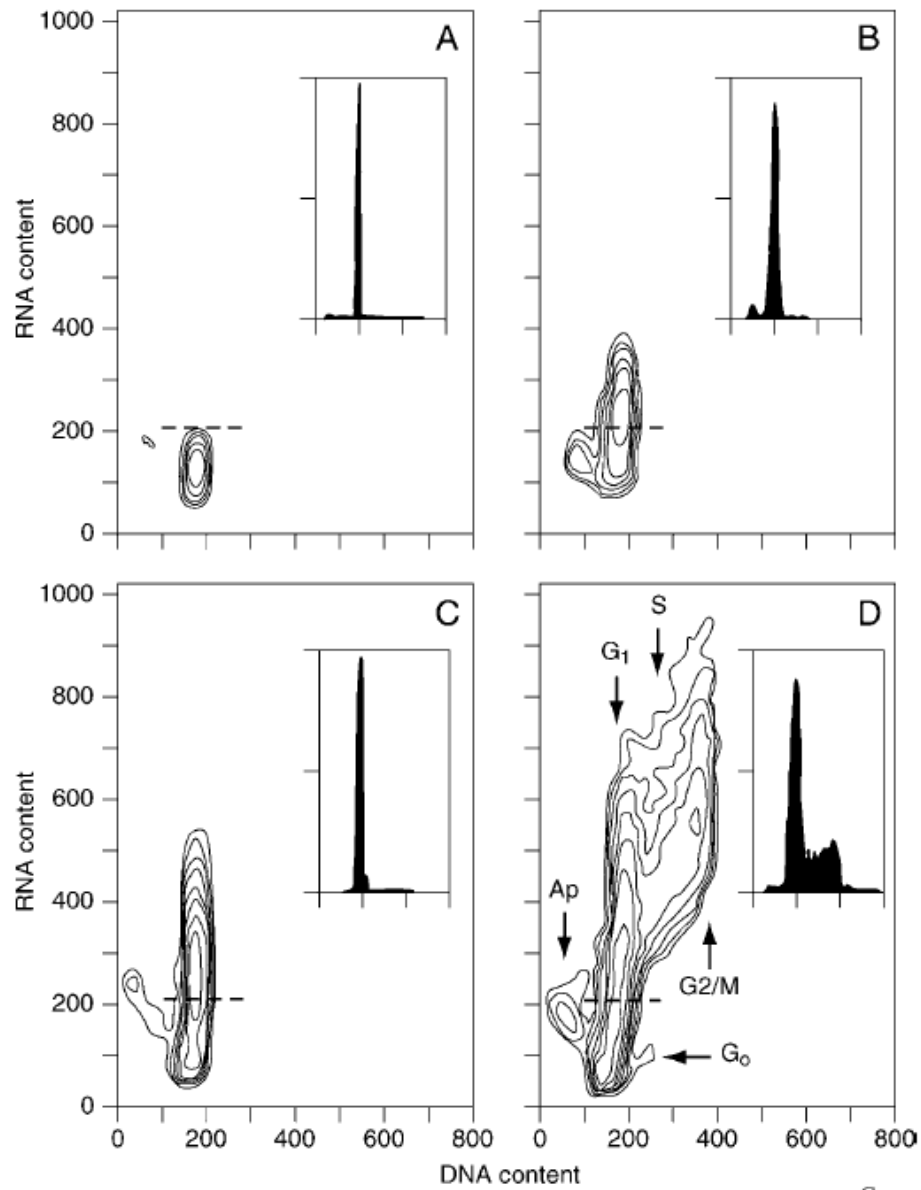
## Pyronin Y vs. Hoechst 33342

- Pyronin interaguje s ds RNA a DNA ale jeho vazba na DNA je inhibována přítomností Hoechst 33342

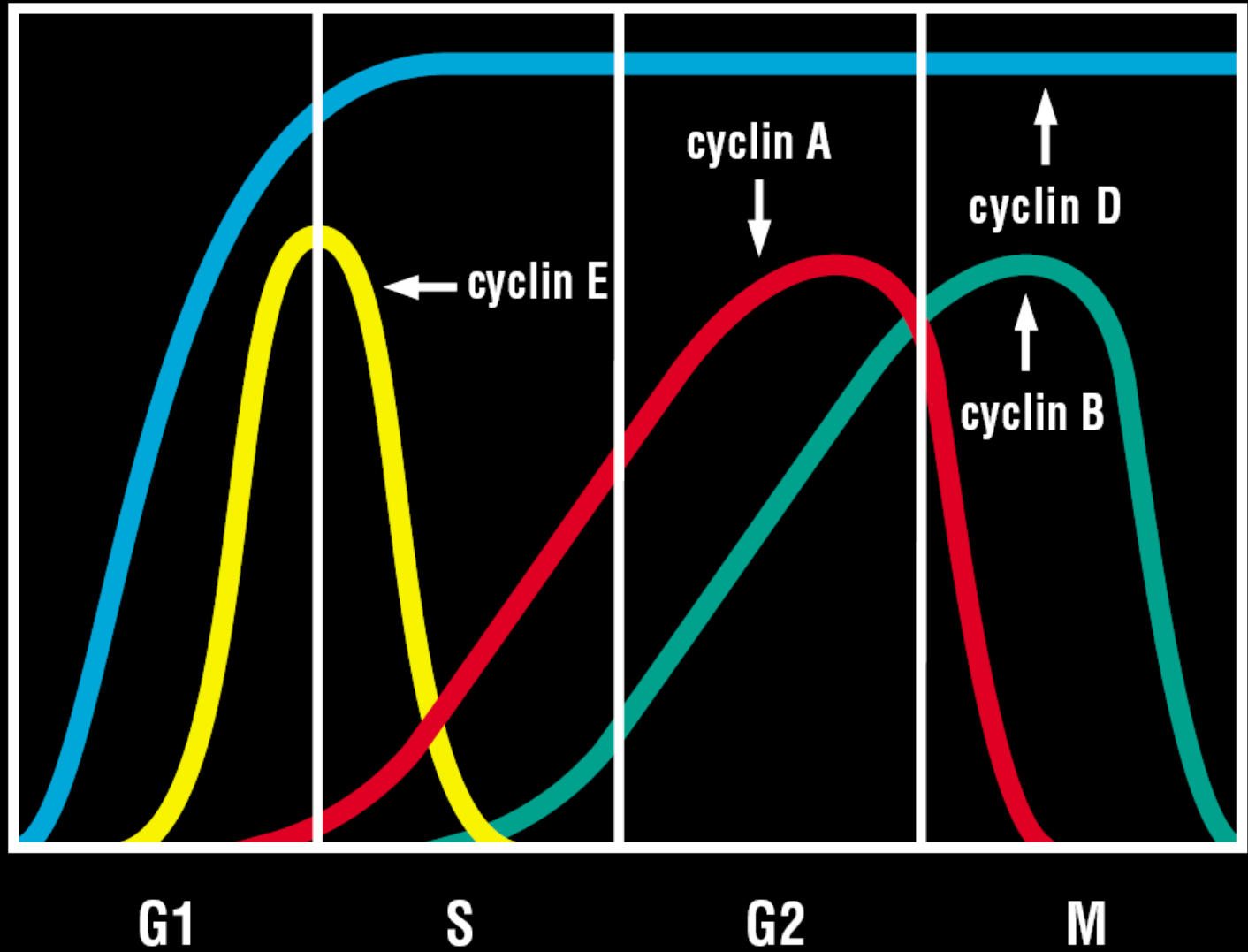
- Acridine orange

- při interakci s RNA emituje červené světlo a při interakci s DNA zelené

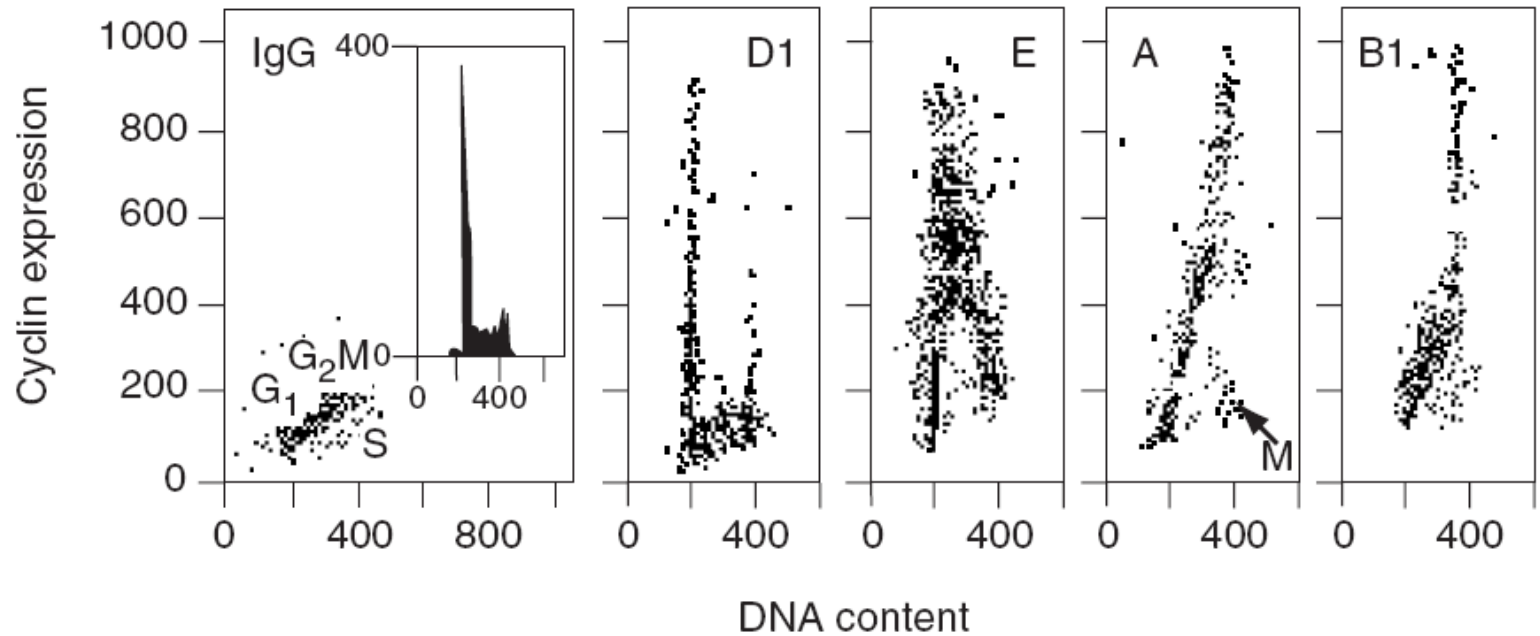




## Cyclin Expression: Periodicity

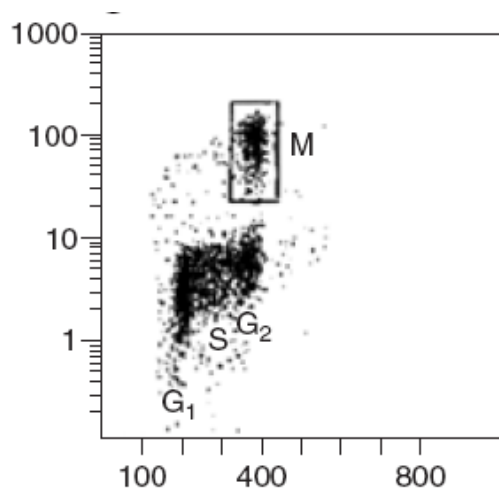


# Detekce intracelulárních proteinů v kombinaci s detekcí DNA



# Detekce mitotických buněk

- Histone H3 je specificky fosforylován během mitózy
- dvojité značení DNA vs. H3-P identifikuje populaci buněk v M-fázi





# Analýza buněčných funkcí

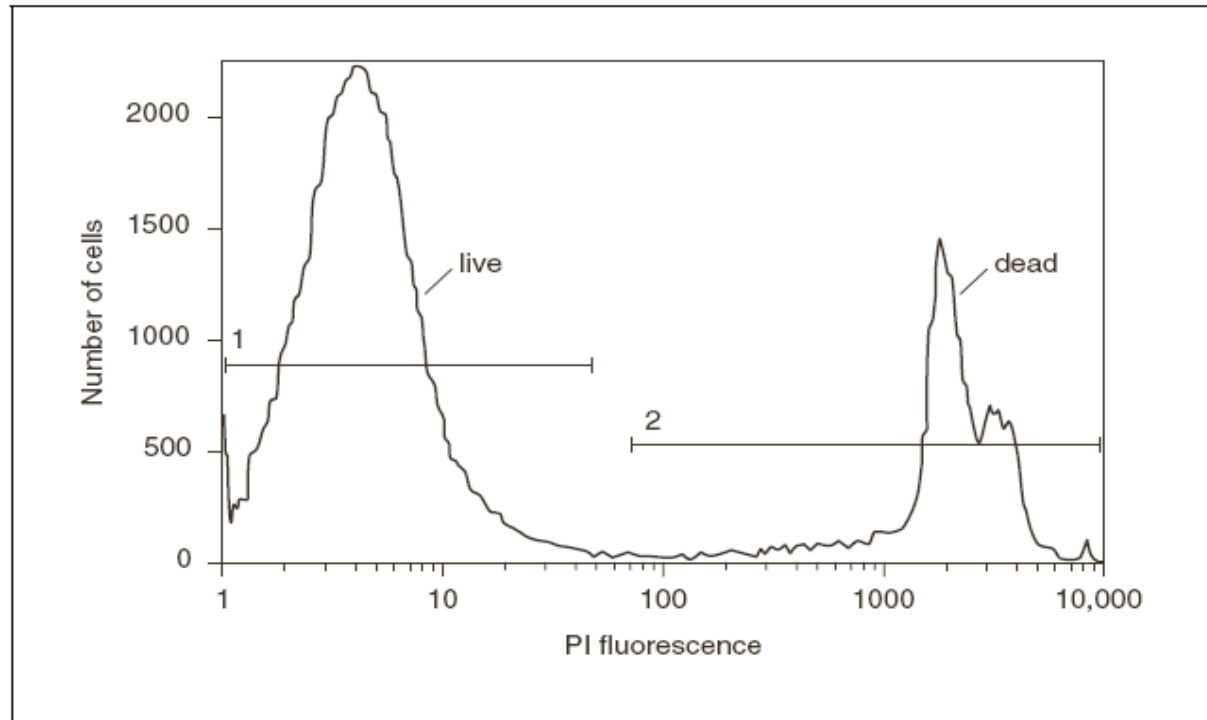
- Průtoková cytometrie umožňuje vícebarevnou analýzu vitálních buněk



# Detekce viability

- jedna z nejjednodušších analýz
- funguje na principu:
  - detekce membránové integrity - neprůchodnosti některých fluorescenčních značek cytoplazmatickou membránou živých buněk – **propidium iodide, ethidium bromide, 7-amino actinomycin D**
  - detekce fyziologického stavu buněk – použití fluorescenčních značek barvicích pouze živé buňky - **Rhodamine-123, Calcein-AM**
- **ethidium monoazide** – lze jím obarvit mrtvé buňky a následně fixovat
- Pomocí **LDS-751** (laser dye styryl-751) je možné odlišit mrtvé buňky i po fixaci

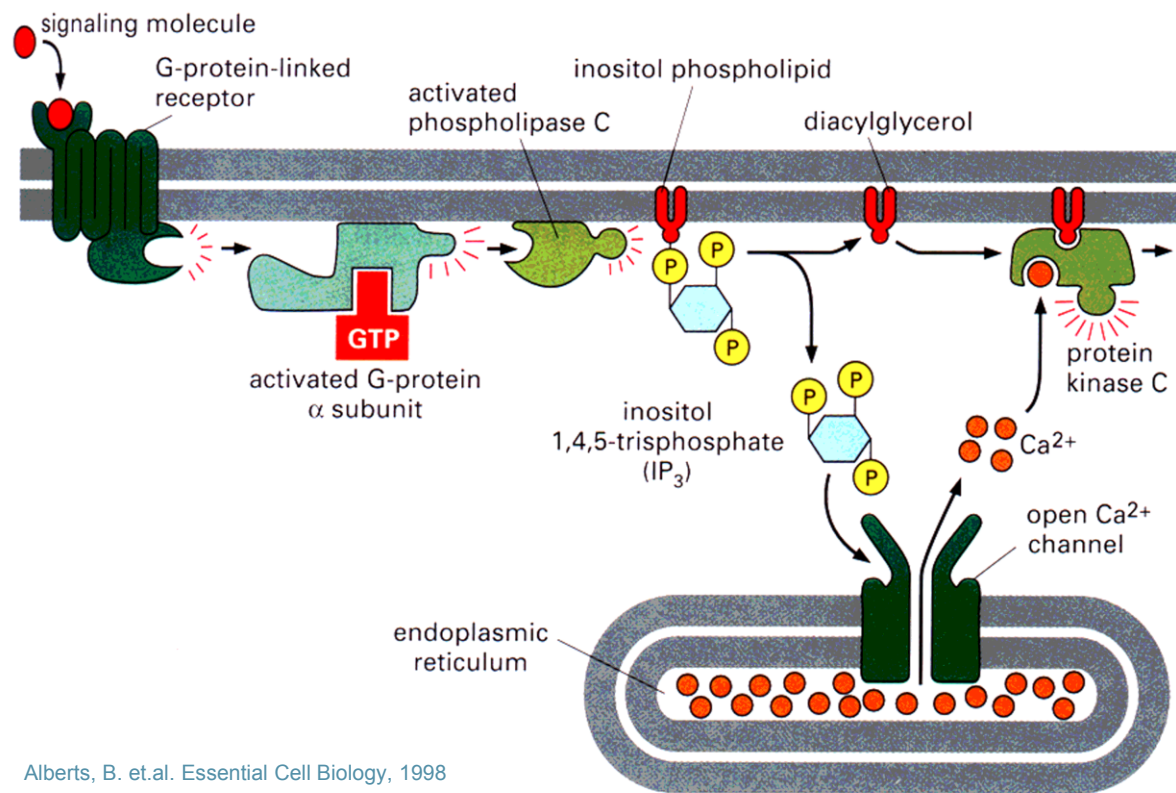
# Detekce viability





# Přenos signálu pomocí $\text{Ca}^{2+}$

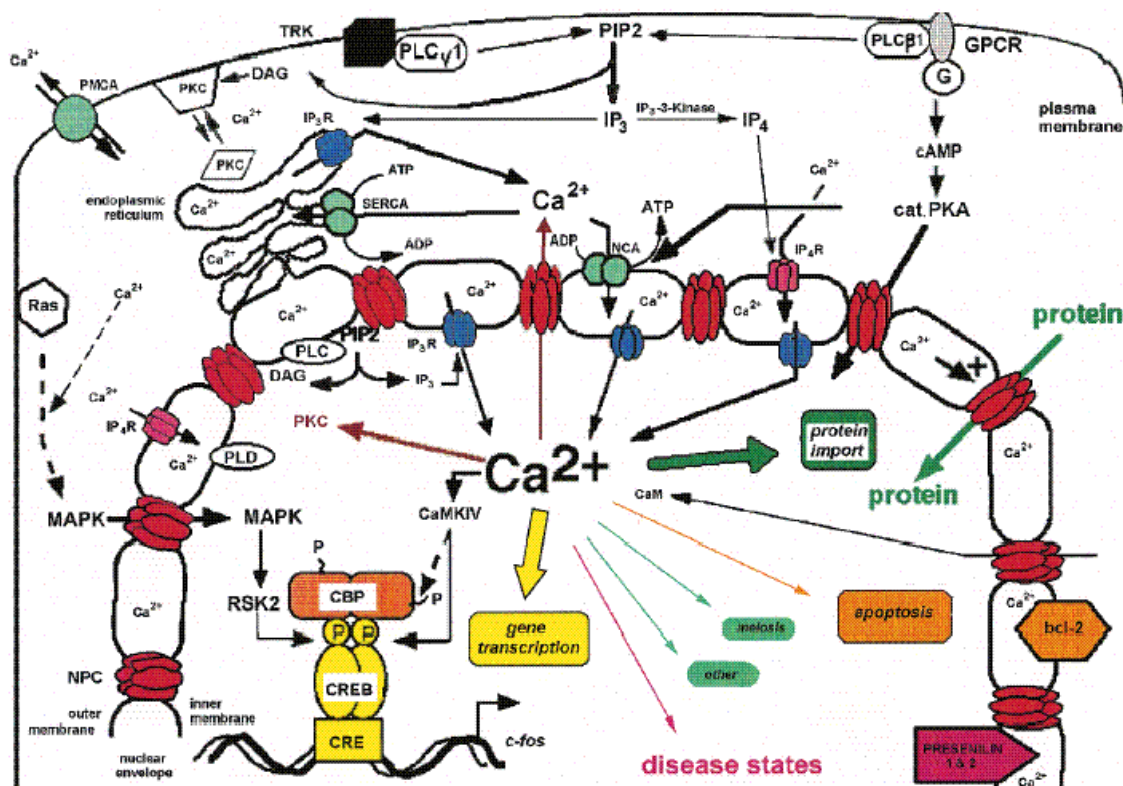
- **Cytosol** (koncentrace - „klidová“ 100 nM vs. 1-10  $\mu\text{M}$  aktivovaná)
- $[\text{Ca}^{2+}]_c$  aktivuje proteinkinázu C
- interaguje s „ $\text{Ca}^{2+}$  - binding proteins“



Alberts, B. et al. Essential Cell Biology, 1998

# Přenos signálu pomocí $\text{Ca}^{2+}$

- Jádro
- $[\text{Ca}^{2+}]_n$  interaguje s „ $\text{Ca}^{2+}$  - binding proteins“



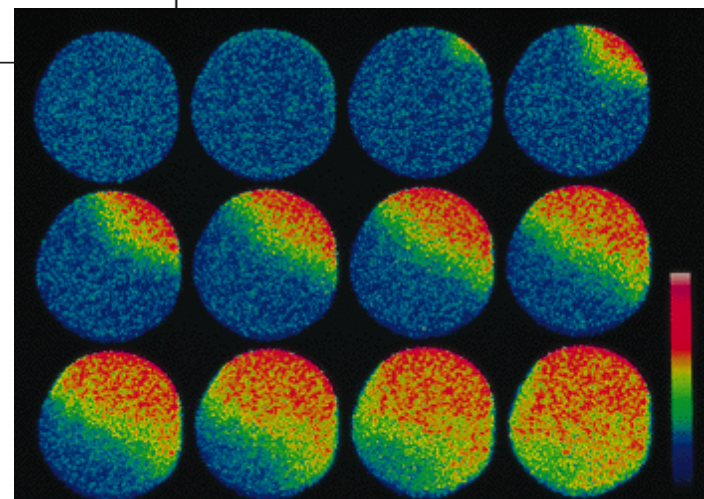
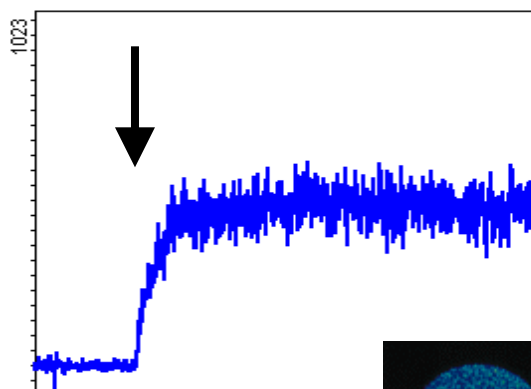
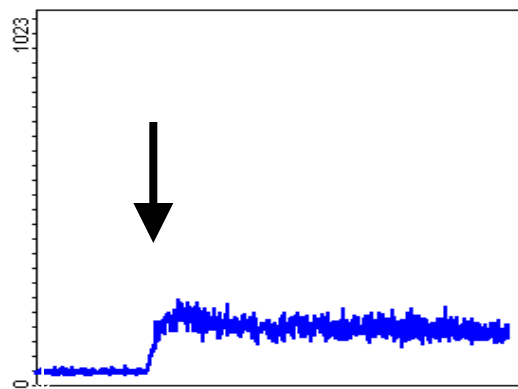
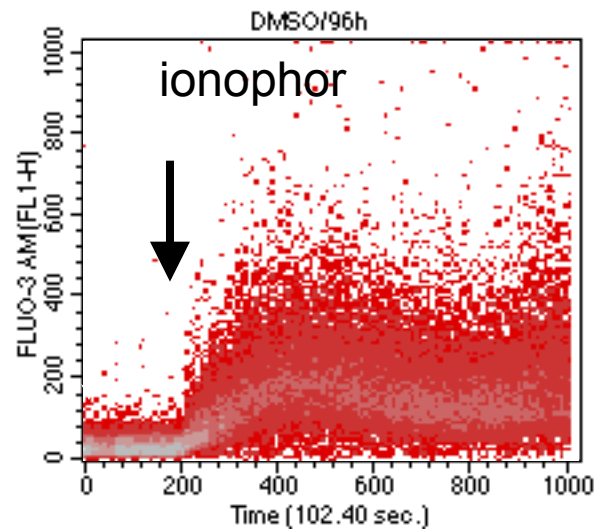
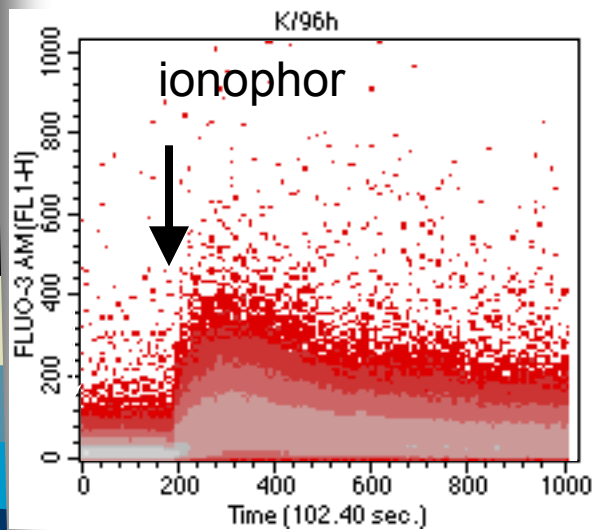
Malviya, A. N. (1998) *Cell* 92: 17-23.

# Přenos signálu pomocí $\text{Ca}^{2+}$

- **Mitochondrie**
- „mitochondriální retikulum“
- $[\text{Ca}^{2+}]_c \Rightarrow [\text{Ca}^{2+}]_m \Leftrightarrow \Delta\Psi_m \Rightarrow \text{apoptóza}$

# Ca<sup>2+</sup> influx

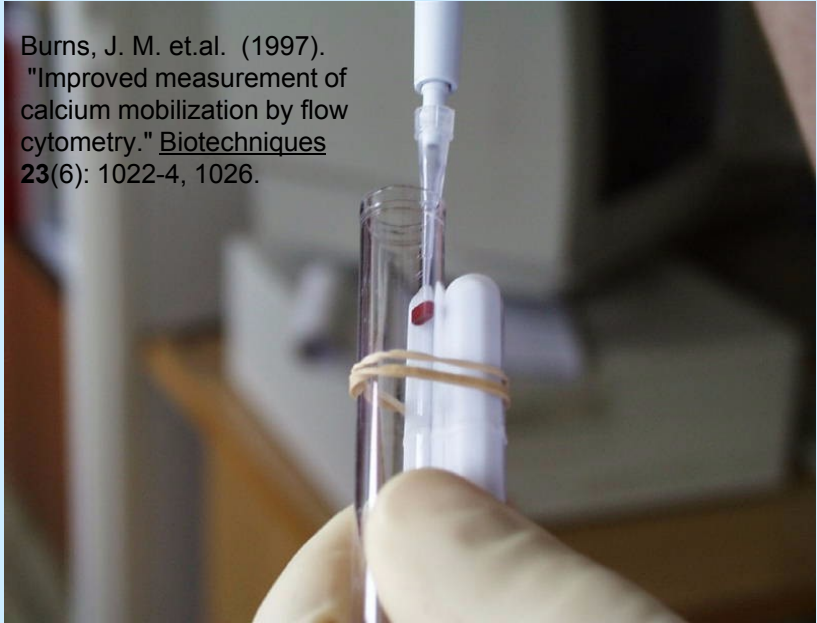
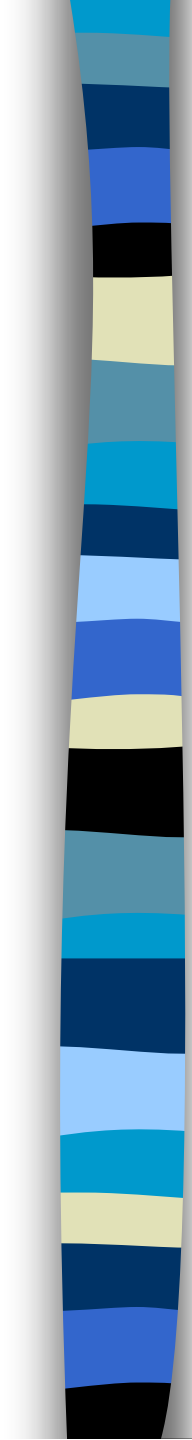
- Fura-2
- Fluo-3
- Indo-1





## Zajištění vhodných podmínek pro detekci $[Ca^{2+}]_i$

- standardizace barvení a kalibrace
- temperace vzorku po celou dobu měření
- standardizace způsobu přidávání induktoru
  - zlepšení rozpustnosti AM estery modifikovaných indikátorů (BSA, Pluronic® -127)
  - inhibice aktivního vylučování indikátoru buňkou (Probecid)
  - pro kalibraci vhodné AM estery modifikované chelátory (BAPTA-AM)



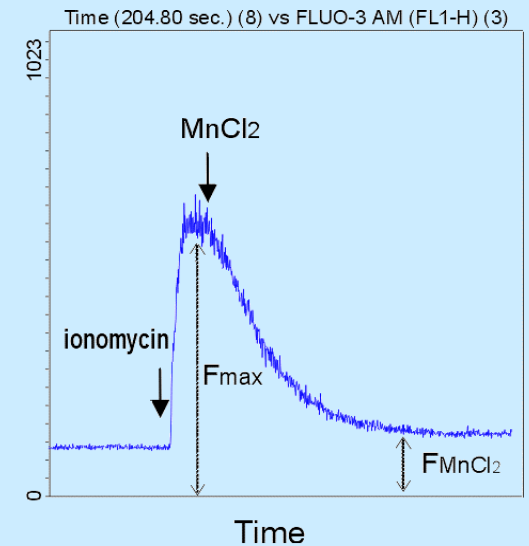
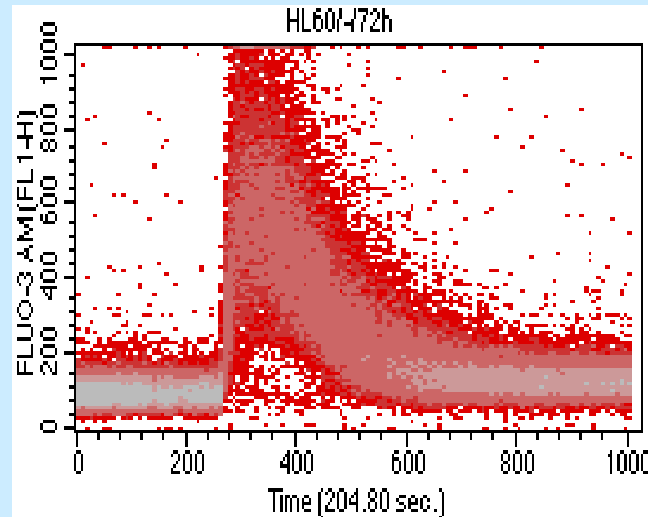
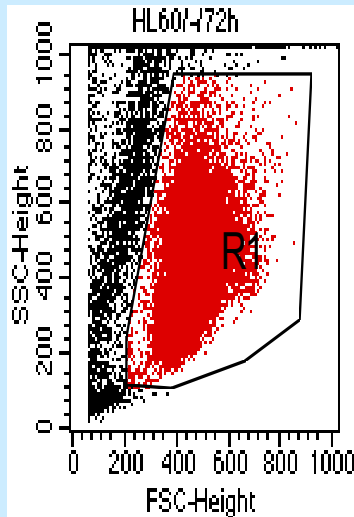




# Kalibrace

(pro jednu vlnovou délku)

$$[Ca^{2+}] = K_d \times \frac{F - F_{\min}}{F_{\max} - F}$$



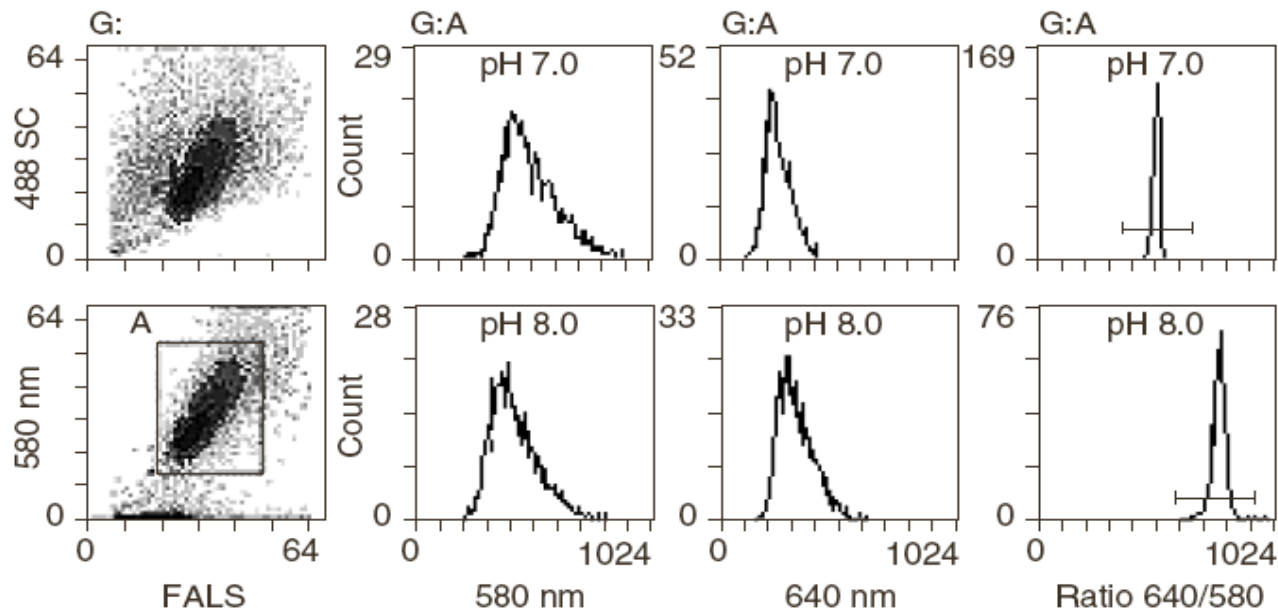
**Fluo-3** (K<sub>d</sub> ~ 400nM, 22°C; 864 nM, 37°C)

$$F_{\min} = 1.25 \times F_{MnCl2} - 0.25 \times F_{\max}$$



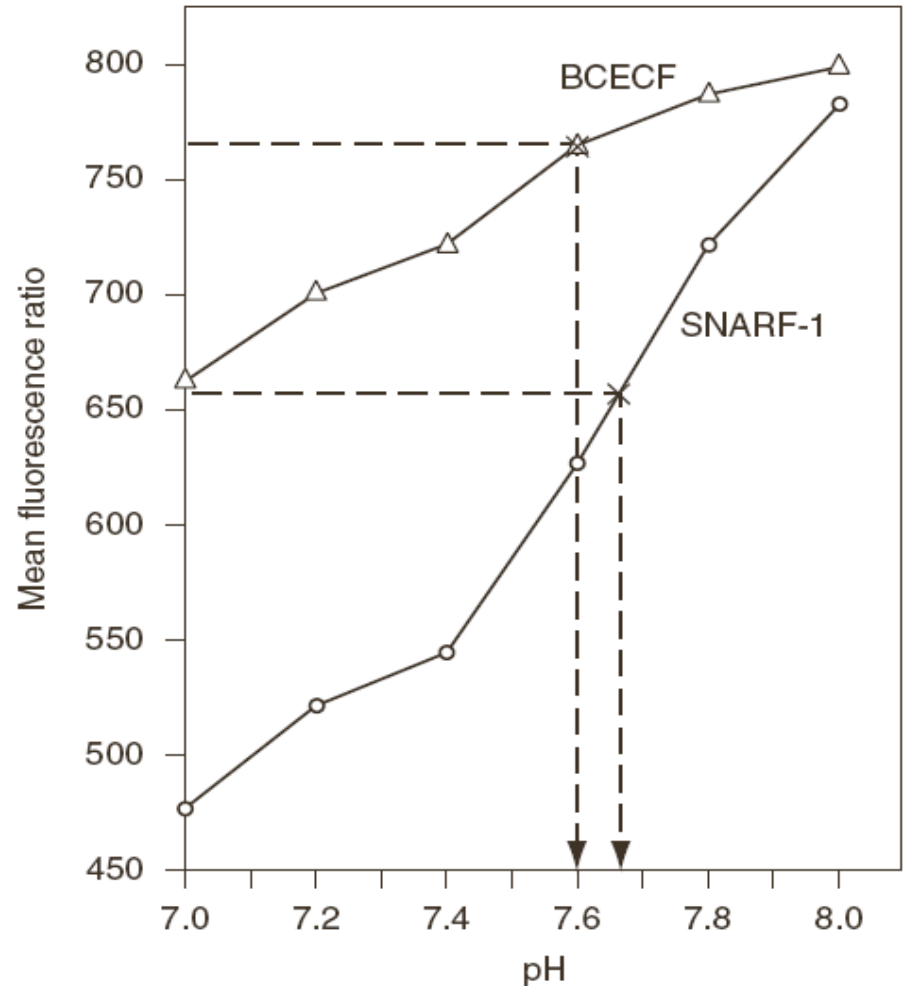
# Detekce intracelulárního pH

- Fluorescenční značky měnící intenzitu fluorescence v závislosti na pH
- SNARF-1, BCECF



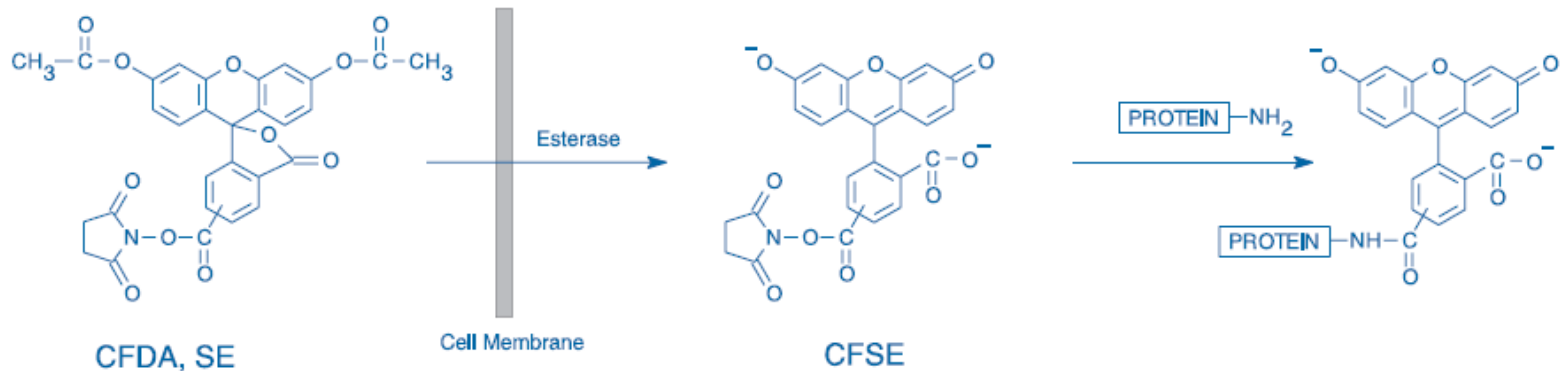
# Detekce intracelulárního pH

- Nutná kalibrace pomocí draslíkových pufrů a ionoforu (nigericin)

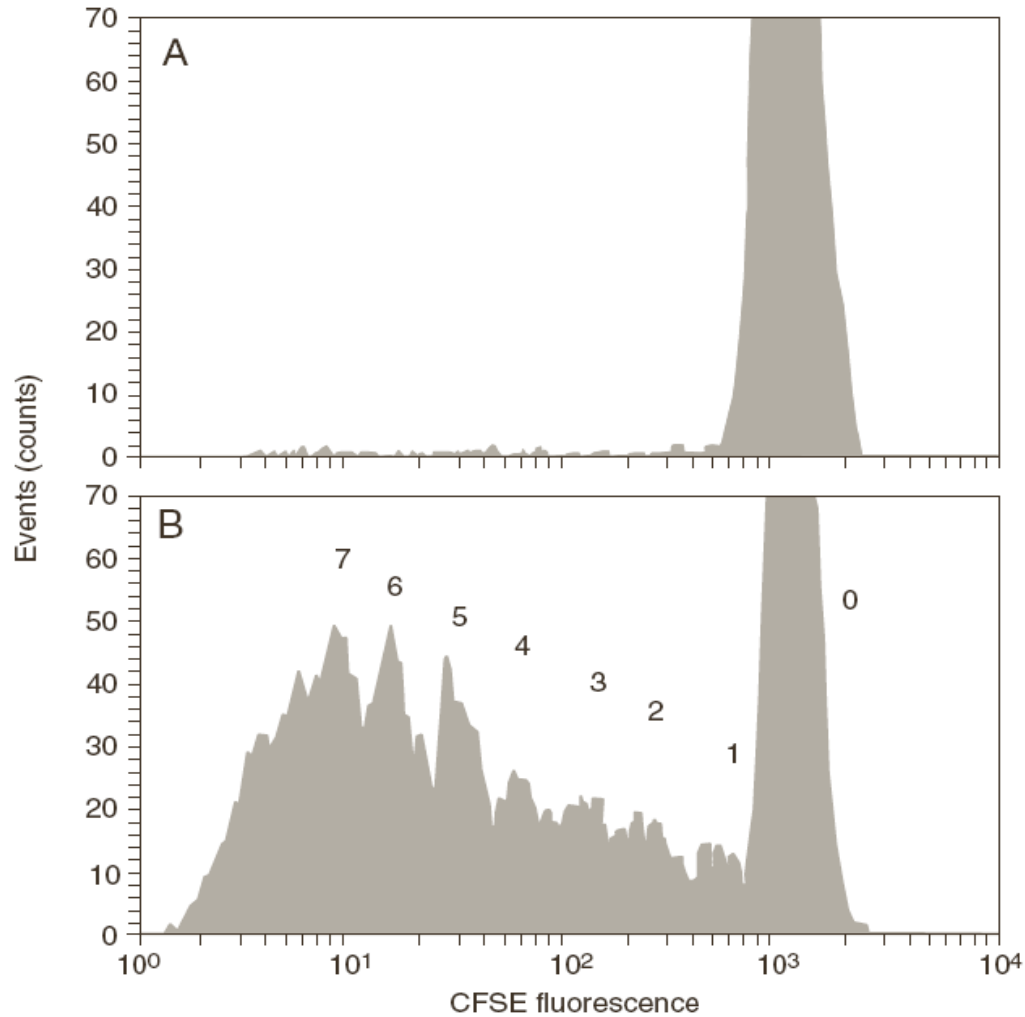


# Detekce počtu buněčného dělení

- Nespecifické fluorescenční označení proteinů pomocí **carboxyfluorescein diacetate succinimidyl ester** (CFDA-SE nebo CFSE)



# Detekce počtu buněčného dělení

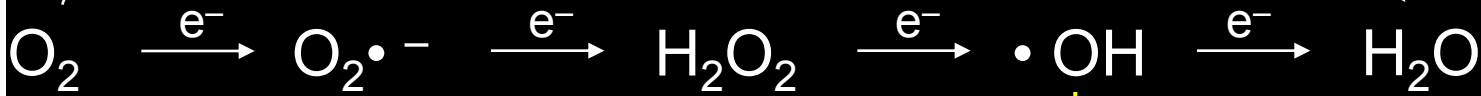




# Detekce reaktivních kyslíkových skupin

- **Reaktivní kyslíkové skupiny hrají klíčovou roli v celé řadě biologických procesů**
  - posttranslační modifikace proteinů
  - regulace transkripce
  - regulace struktury chromatinu
  - přenos signálu
  - funkce imunitního systému
  - fyzický a metabolický stres
  - neurodegenerace, stárnutí

4 e<sup>-</sup> reduction to water



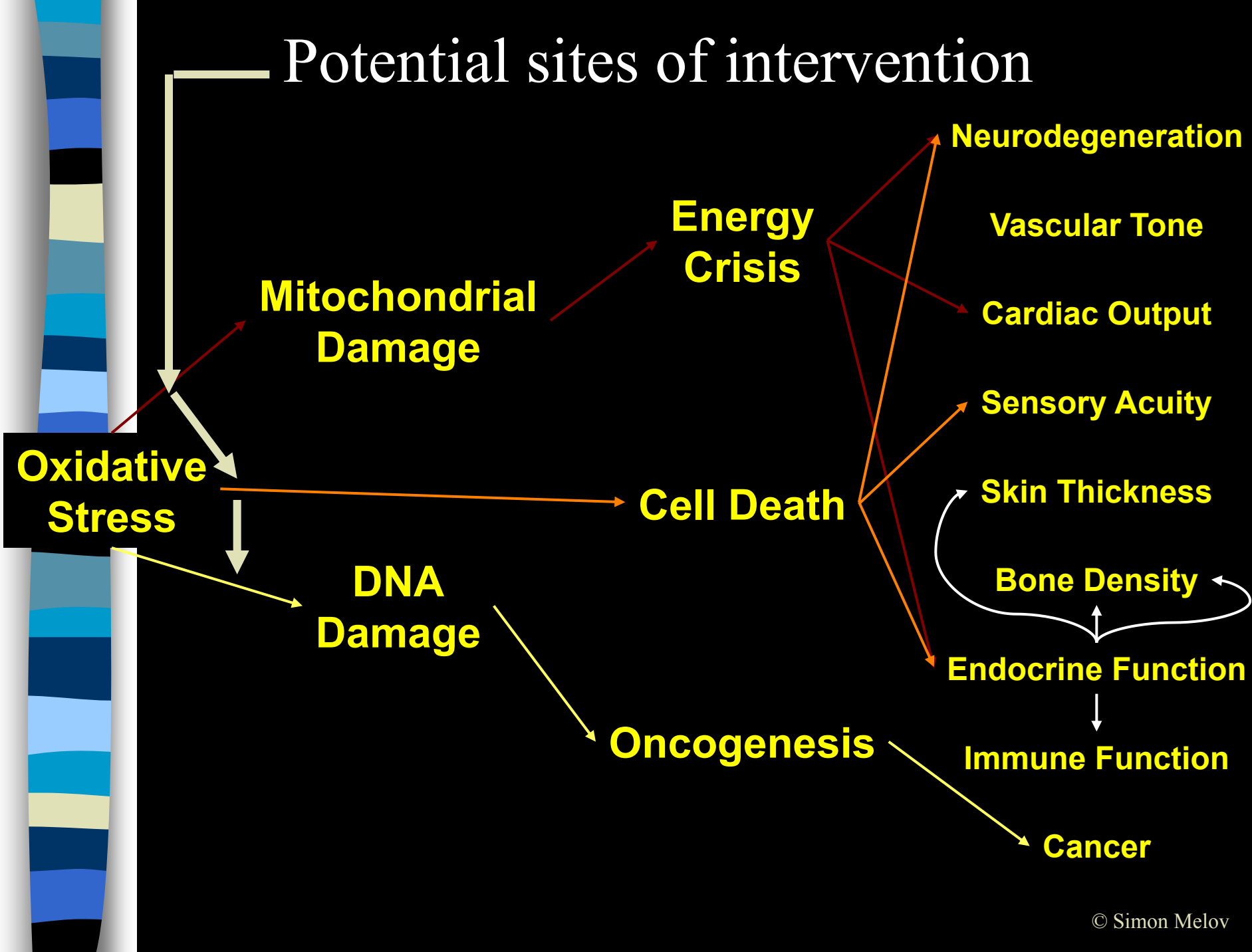
Unreactive at STP, but a *great* electron acceptor  
Biological activation via radicals, transition metals  
Generally, radical intermediates are enzyme-bound

Reacts with virtually any molecule at diffusion-limited rates  
The molecule that makes ionizing radiation toxic

Actually a chemical *reductant*  
Not so terribly reactive with most biomolecules  
Mitochondrial superoxide the major source of active oxygen  
Maintained at very low concentration  
Superoxide dismutases

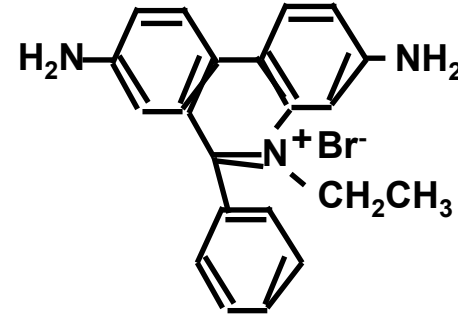
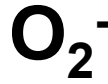
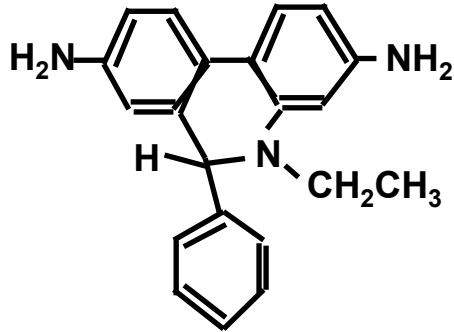
Not so terribly reactive with most biomolecules  
Maintained at very low concentration  
Catalases, peroxidases, GSH, etc...

# Potential sites of intervention

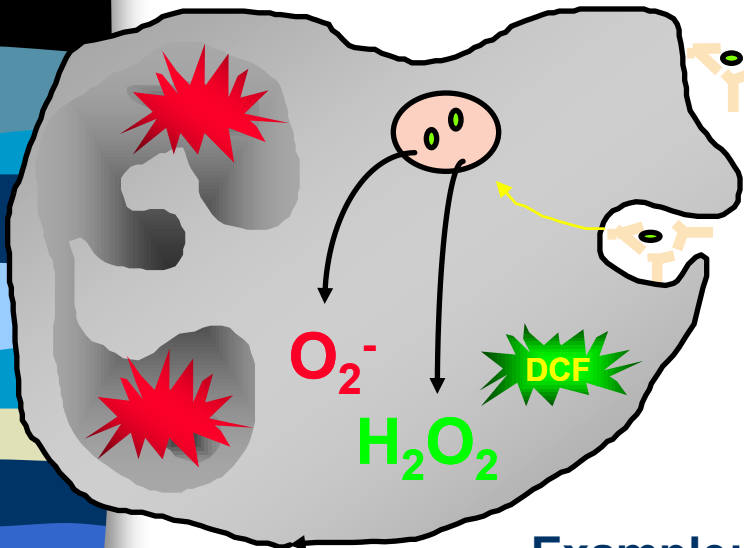


# Hydroethidine

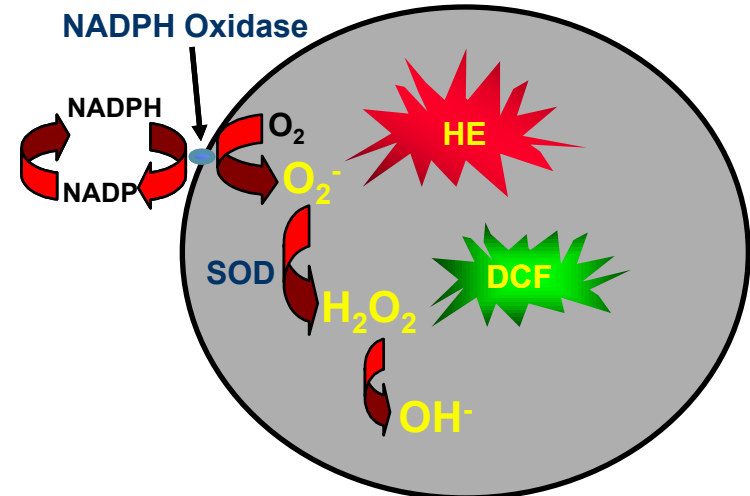
**HE**



**EB**

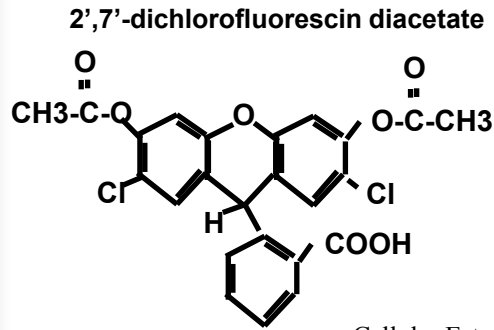


Phagocytic Vacuole

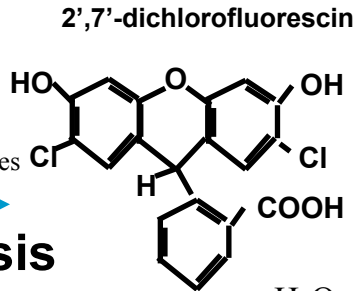


Example: Neutrophil Oxidative Burst



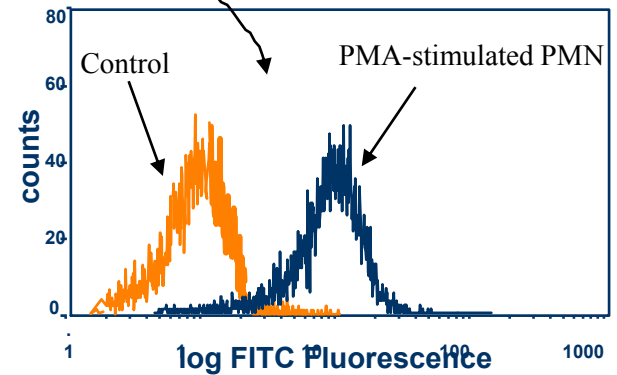
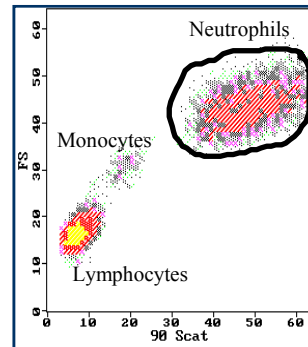
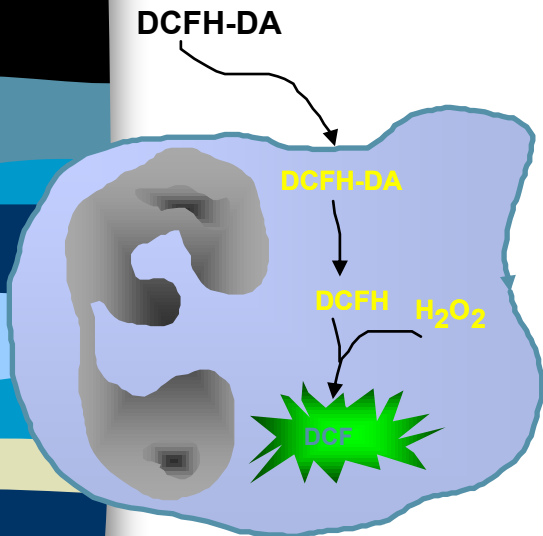
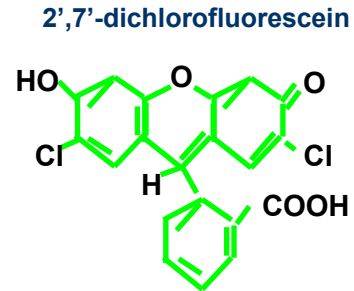


Cellular Esterases  
 $\longrightarrow$   
**Hydrolysis**



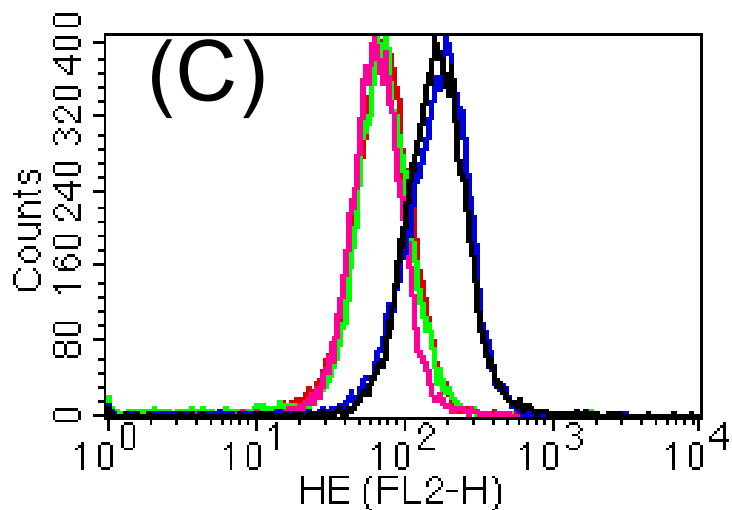
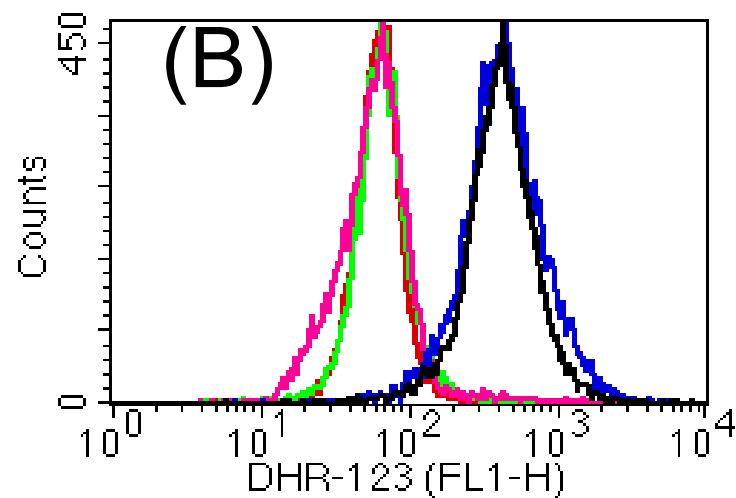
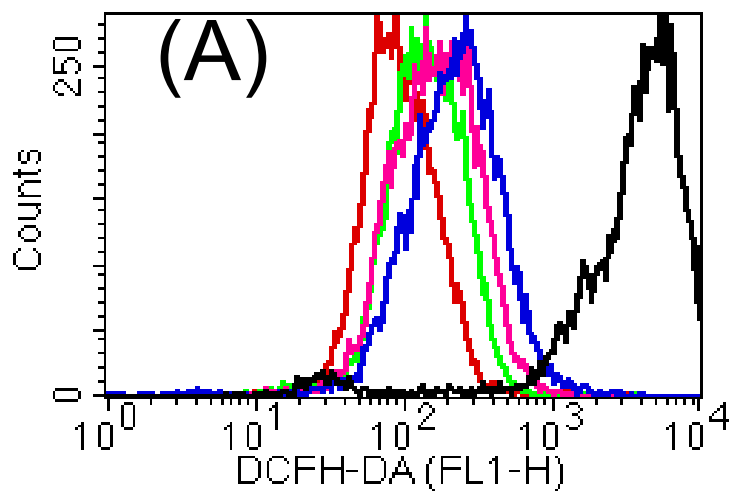
$H_2O_2$   
 $\longrightarrow$   
**Oxidation**

**Fluorescent**



# Oxidative Burst

- DCFH-DA
- DHR-123
- HE



## keyname

- K172n+PMA
- A1RA172n+
- DMSO172n
- NAB172n
- vit. D3172n



# The Nobel Prize in Chemistry 2008

- "for the discovery and development of the green fluorescent protein, GFP"

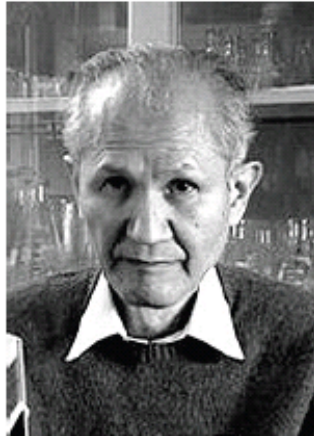


Photo: J. Henriksson/SCANPIX

**Osamu Shimomura**

🕒 1/3 of the prize

USA

Marine Biological Laboratory (MBL)  
Woods Hole, MA, USA;  
Boston University Medical School  
Massachusetts, MA, USA

b. 1928  
(in Kyoto, Japan)



Photo: J. Henriksson/SCANPIX

**Martin Chalfie**

🕒 1/3 of the prize

USA

Columbia University  
New York, NY, USA

b. 1947



Photo: UCSD

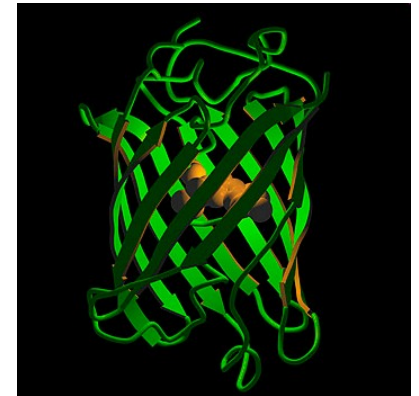
**Roger Y. Tsien**

🕒 1/3 of the prize

USA

University of California  
San Diego, CA, USA;  
Howard Hughes Medical Institute

b. 1952



# Fluorescenční proteiny

## ■ bioluminescence resonance energy transfer (BRET)

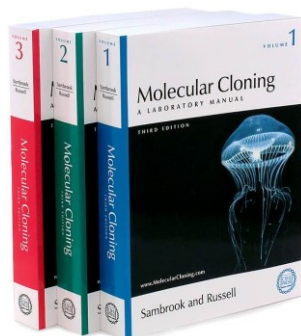
***Aequorea victoria*** - medúza žijící ve vodách na pobřeží Severní Ameriky.

- je schopna modře světélkovat (bioluminescence).  $\text{Ca}^{2+}$  interaguje s fotoproteinem aequorinem.
- modré světlo excituje **green fluorescent protein**.

***Renilla reniformis*** – korál žijící ve vodách na severním pobřeží Floridy.

- luminescence vzniká degradací coelenterazinu za katalytického působení luciferázy.
- modré světlo excituje **green fluorescent protein**.

*Aequorea victoria* “Crystal jelly”



[http://www.mbayaq.org/efc/living\\_species/default.asp?hOri=1&inhab=440](http://www.mbayaq.org/efc/living_species/default.asp?hOri=1&inhab=440)

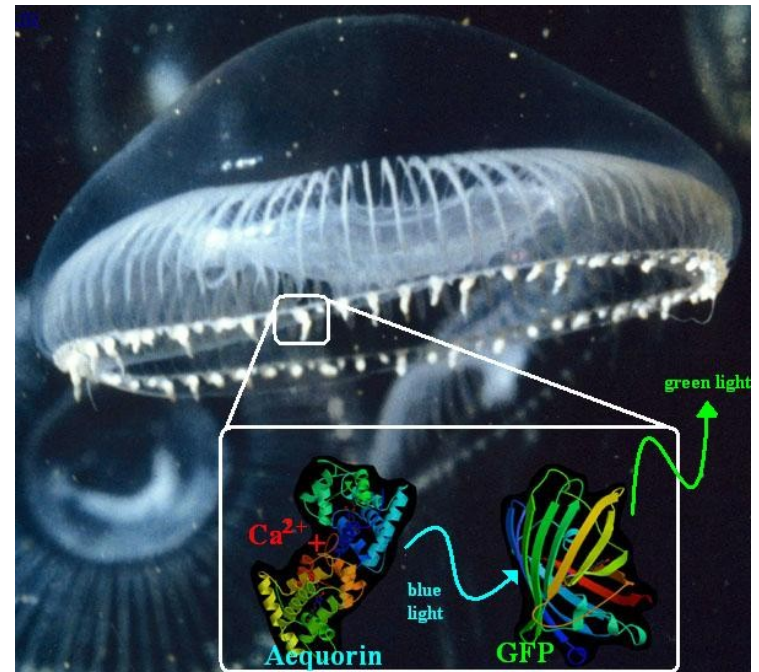
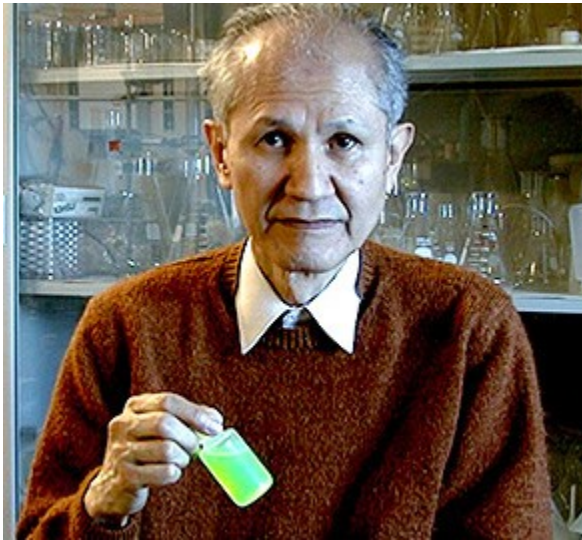
*Renilla reniformis* "Sea Pansy"



<http://www.whitney.ufl.edu/species/seapansy.htm>

# Fluorescenční proteiny

- **Osamu Shimomura**  
– 1961 objevil GFP a aequorin





# Fluorescenční proteiny

## ■ Douglas Prasher

## ■ Martin Chalfie

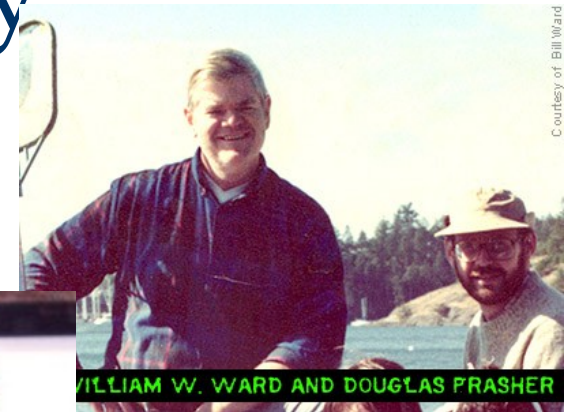
Science. 1994 Feb 11;263(5148):

**Green fluorescent protein as a marker for gene expression.**

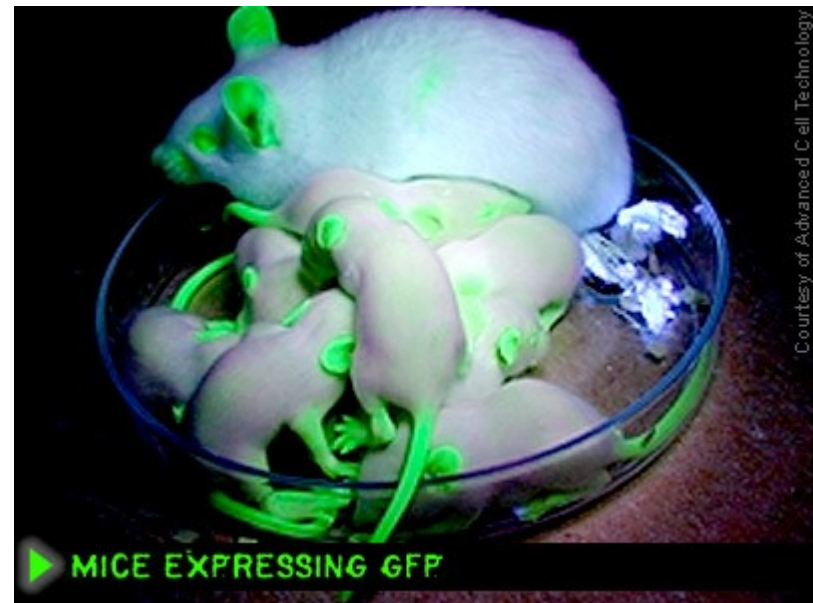
Chalfie M, Tu Y, Euskirchen G, Ward WW, Prasher DC.

Department of Biological Sciences, Columbia University, New York, NY 10027.

- A complementary DNA for the *Aequorea victoria* green fluorescent protein (GFP) produces a fluorescent product when expressed in prokaryotic (*Escherichia coli*) or eukaryotic (*Caenorhabditis elegans*) cells. Because exogenous substrates and cofactors are not required for this fluorescence, GFP expression can be used to monitor gene expression and protein localization in living organisms.

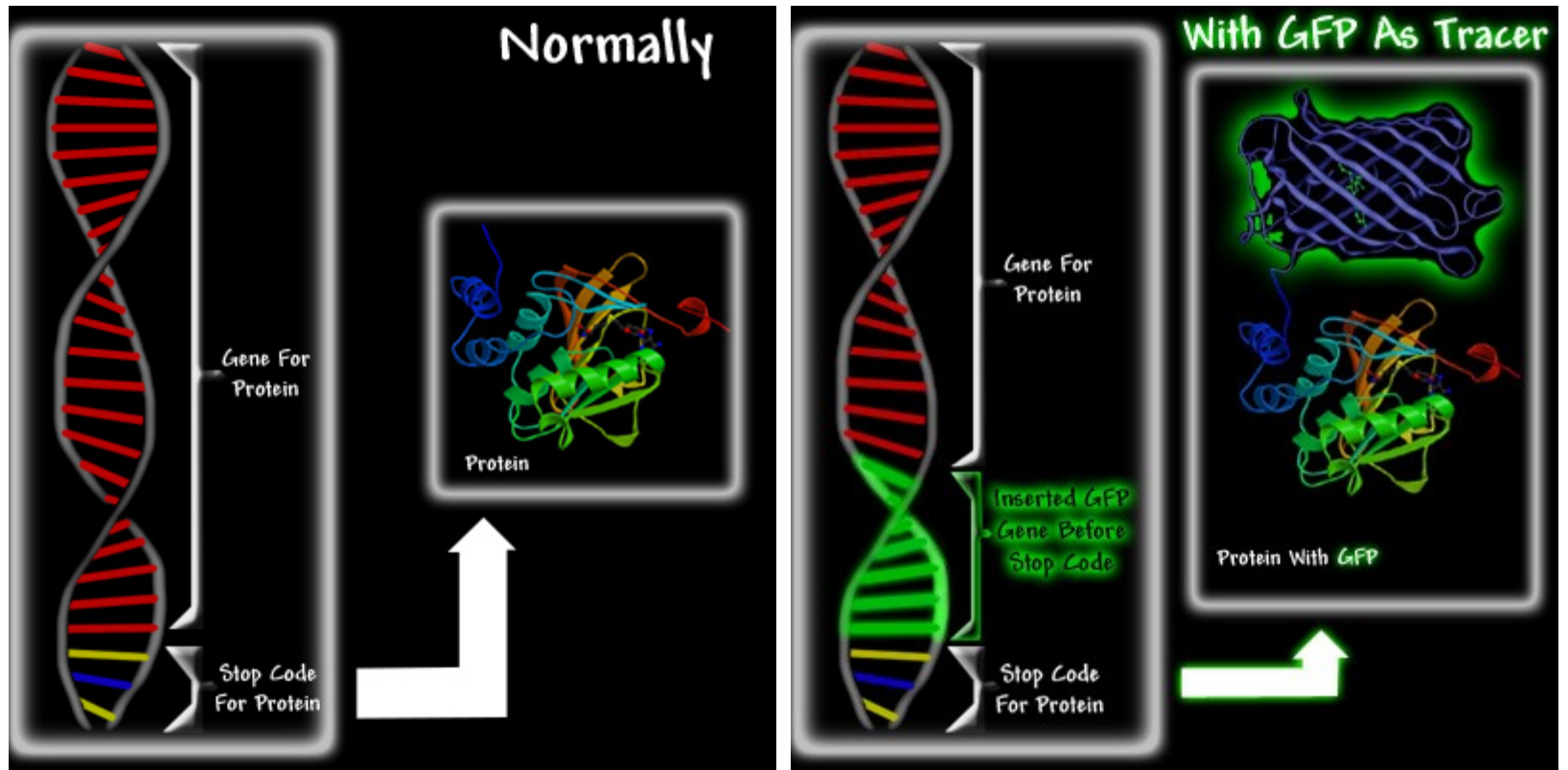


Courtesy of Bill Ward



Courtesy of Advanced Cell Technology

# Fluorescenční proteiny

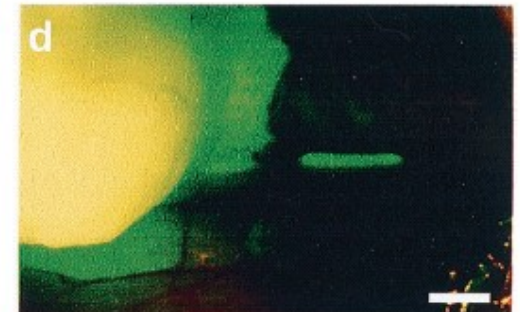
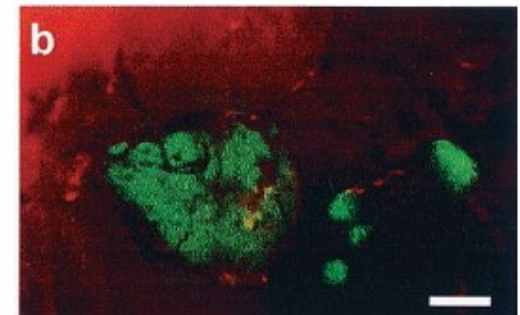
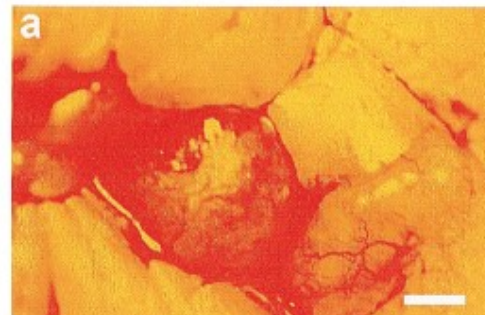
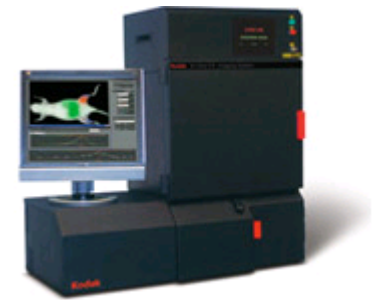
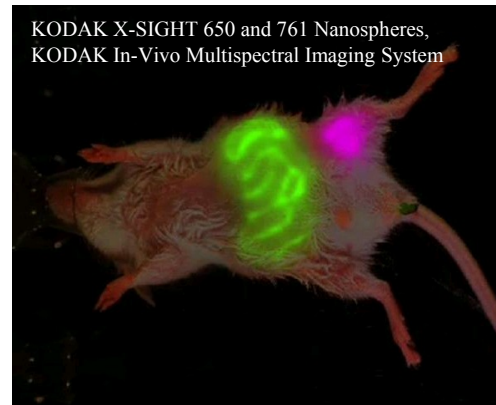


<http://www.conncoll.edu/ccacad/zimmer/GFP-ww/GFP2.htm>

# *in vivo* molekulární vizualizace



KODAK X-SIGHT 640 LSS Dyes *in vivo* with x-ray overlay



Hasegawa, S., Yang, M., Chishima, T., Miyagi, Y., Shimada, H., Moossa, A. R., and Hoffman, R. M. In vivo tumor delivery of the green fluorescent protein gene to report future occurrence of metastasis. *Cancer Gene Ther*, 7: 1336-1340, 2000.



# Fluorescenční proteiny

## ■ Sergey A. Lukyanov

– Objevil „GFP-like“ proteiny u nesvětélkujících korálů



© 1999 Nature America Inc. • <http://biotech.nature.com>

RESEARCH

## Fluorescent proteins from nonbioluminescent Anthozoa species

Mikhail V. Matz, Arkady F. Fradkov, Yulii A. Labas<sup>1</sup>, Aleksandr P. Savitsky<sup>2</sup>, Andrey G. Zaraisky, Mikhail L. Markelov, and Sergey A. Lukyanov\*

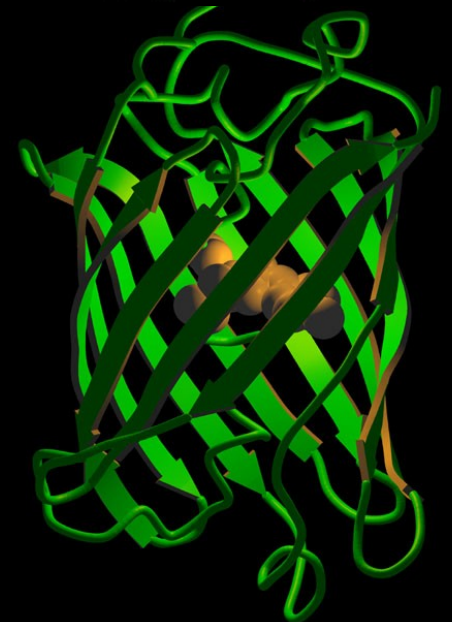
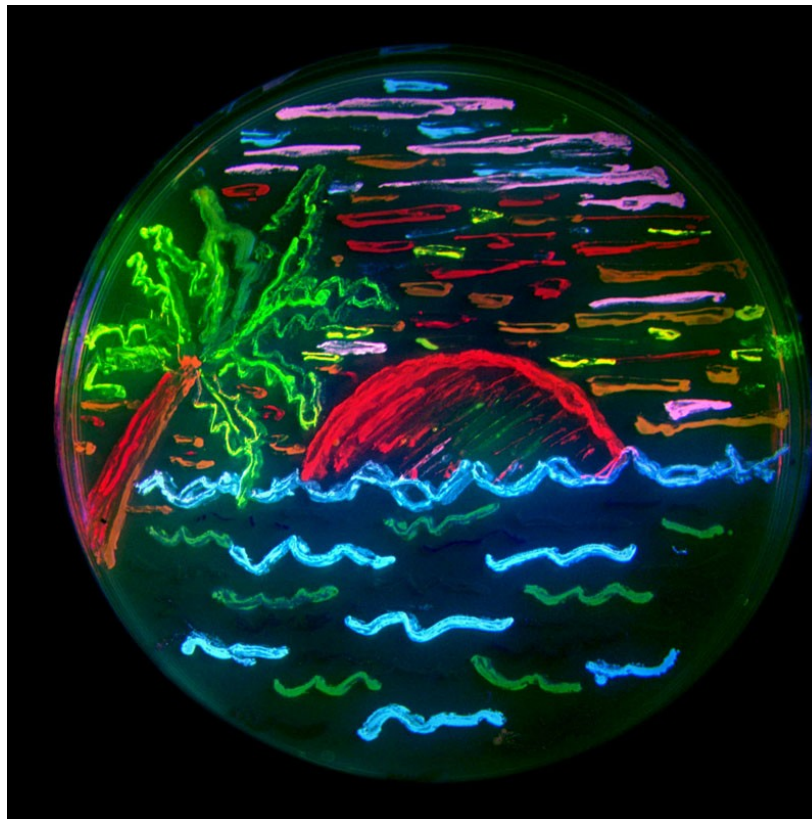
*Institute of Bioorganic Chemistry, Russian Academy of Science, 117871 Moscow, Russia. <sup>1</sup>Institute of Ecology and Evolution, and <sup>2</sup>Institute of Biochemistry Russian Academy of Science, 17071 Moscow, Russia. \*Corresponding author (e-mail: luk@ibch.siobc.ras.ru).*

Received 28 May 1999; accepted 18 July 1999

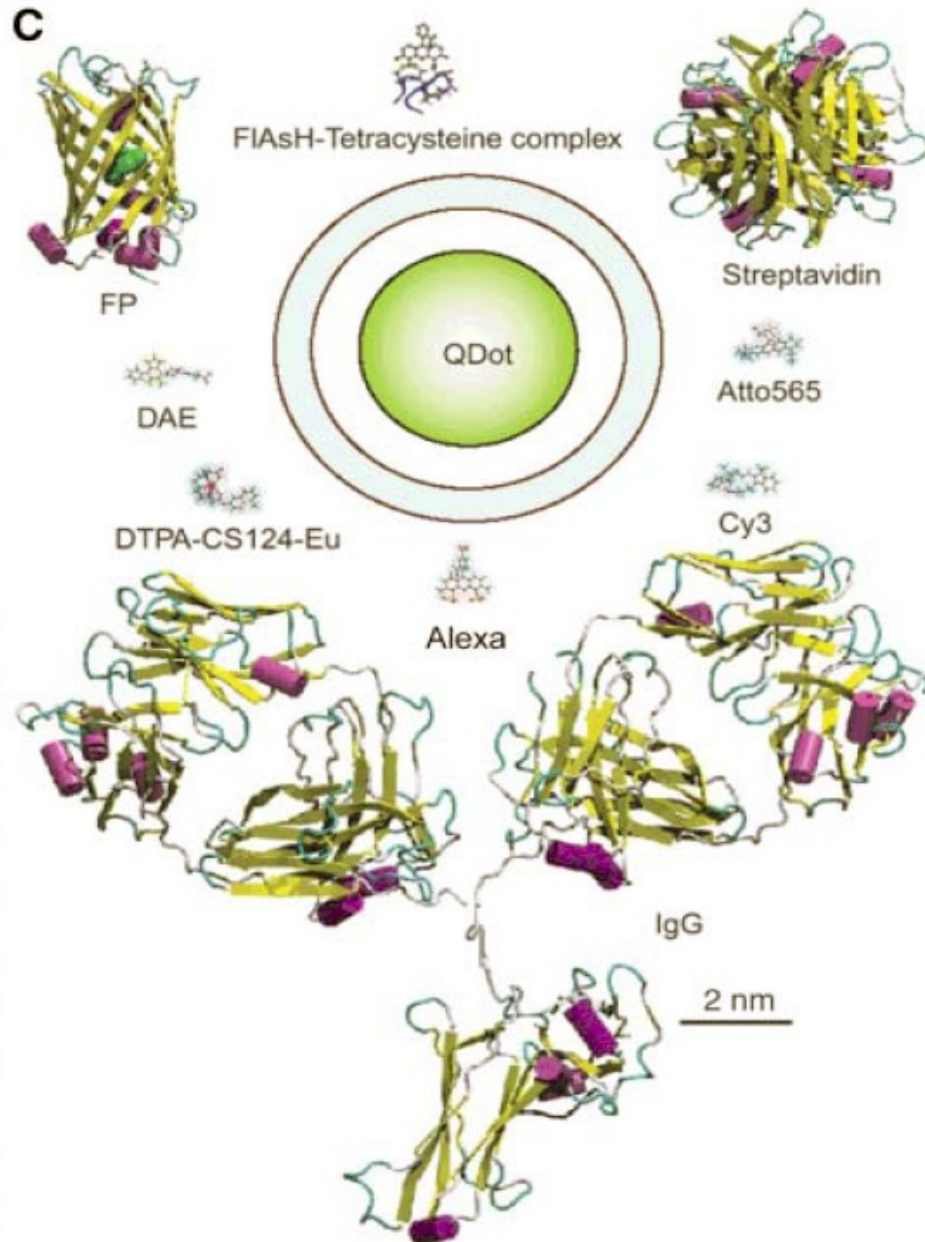
# Roger Tsien

- ~ 2002 – mutace FP = barevné spektrum

<http://www.tsienlab.ucsd.edu/>



# Targeting proteins & fluorophores

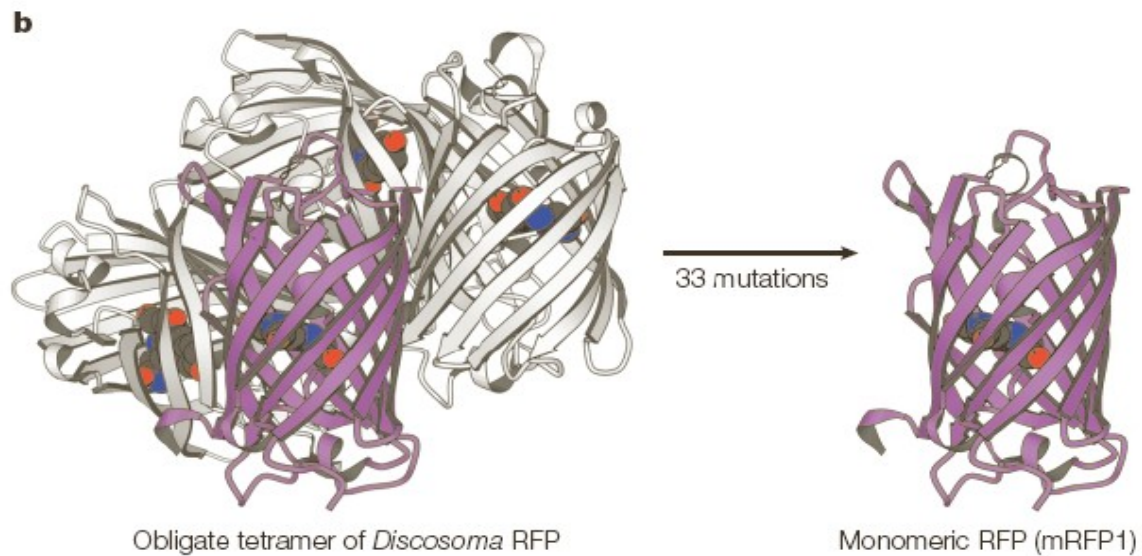
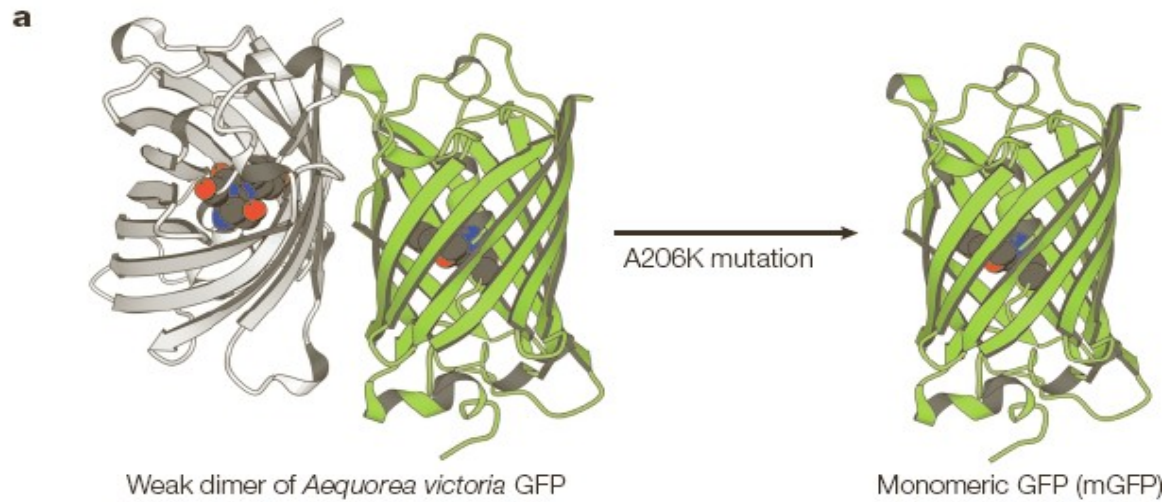


REVIEW

## The Fluorescent Toolbox for Assessing Protein Location and Function

Ben N. G. Giepmans,<sup>1,2</sup> Stephen R. Adams,<sup>2</sup> Mark H. Ellisman,<sup>1</sup> Roger Y. Tsien<sup>2,3\*</sup>





## CREATING NEW FLUORESCENT PROBES FOR CELL BIOLOGY

Jin Zhang\*, Robert E. Campbell\*, Alice Y. Ting\*<sup>†</sup> and Roger Y. Tsien\*<sup>‡</sup>

**Table 1** | Properties of the best FP variants<sup>a,b</sup>

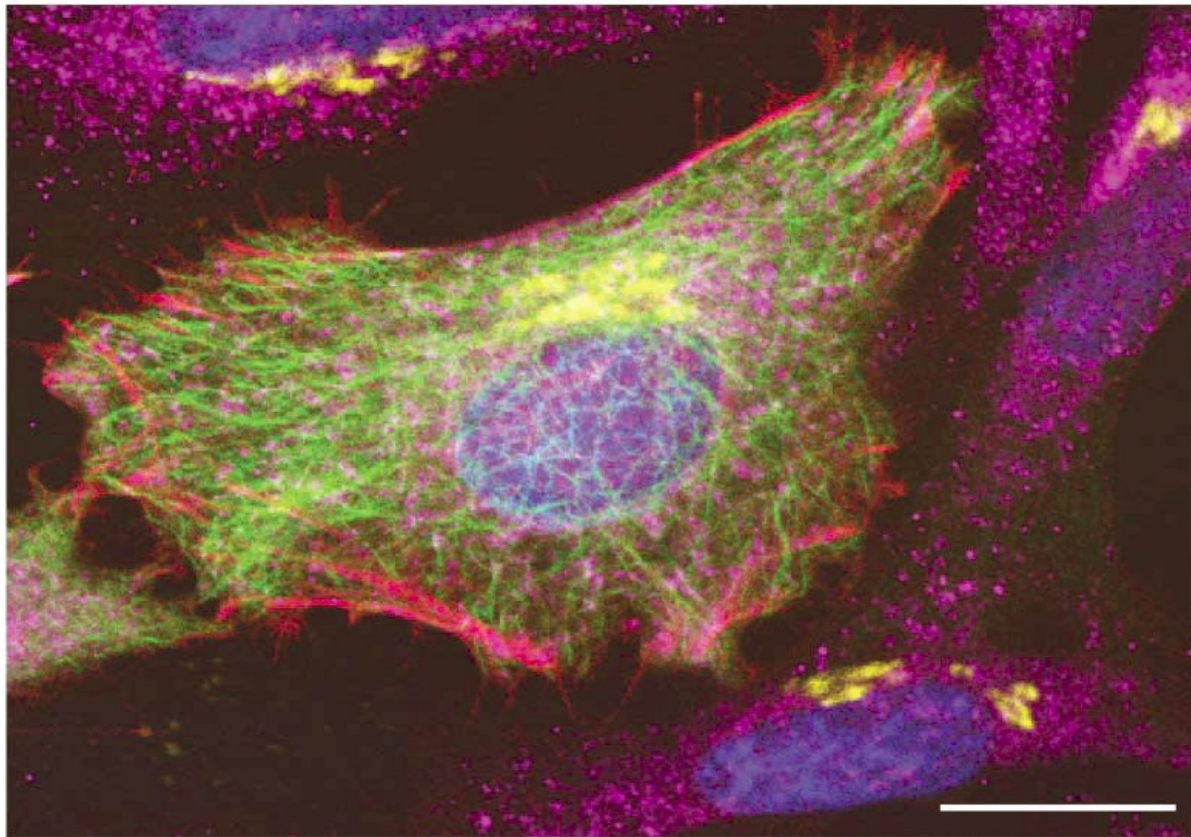
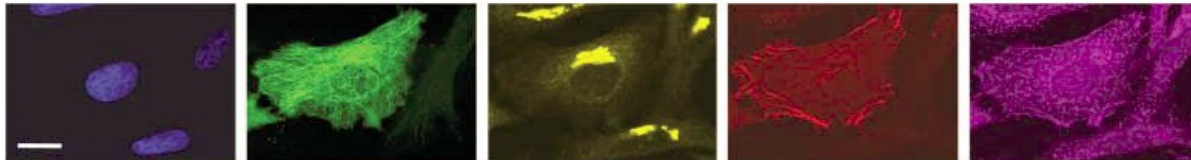
Class	Protein	Source laboratory (references)	Excitation <sup>c</sup> (nm)	Emission <sup>d</sup> (nm)	Brightness <sup>e</sup>	Photostability <sup>f</sup>	pKa	Oligomerization
Far-red	mPlum <sup>g</sup>	Tsien (5)	590	649	4.1	53	<4.5	Monomer
Red	mCherry <sup>g</sup>	Tsien (4)	587	610	16	96	<4.5	Monomer
	tdTomato <sup>g</sup>	Tsien (4)	554	581	95	98	4.7	Tandem dimer
	mStrawberry <sup>g</sup>	Tsien (4)	574	596	26	15	<4.5	Monomer
	J-Red <sup>h</sup>	Evrogen	584	610	8.8*	13	5.0	Dimer
	DsRed-monomer <sup>h</sup>	Clontech	556	586	3.5	16	4.5	Monomer
Orange	mOrange <sup>g</sup>	Tsien (4)	548	562	49	9.0	6.5	Monomer
	mKO	MBL Intl. (10)	548	559	31*	122	5.0	Monomer
Yellow-green	mCitrine <sup>i</sup>	Tsien (16,23)	516	529	59	49	5.7	Monomer
	Venus	Miyawaki (1)	515	528	53*	15	6.0	Weak dimer <sup>j</sup>
	YPet <sup>g</sup>	Daugherty (2)	517	530	80*	49	5.6	Weak dimer <sup>j</sup>
	EYFP	Invitrogen (18)	514	527	51	60	6.9	Weak dimer <sup>j</sup>
Green	Emerald <sup>g</sup>	Invitrogen (18)	487	509	39	0.69 <sup>k</sup>	6.0	Weak dimer <sup>j</sup>
	EGFP	Clontech <sup>l</sup>	488	507	34	174	6.0	Weak dimer <sup>j</sup>
Cyan	CyPet	Daugherty (2)	435	477	18*	59	5.0	Weak dimer <sup>j</sup>
	mCFPm <sup>m</sup>	Tsien (23)	433	475	13	64	4.7	Monomer
	Cerulean <sup>g</sup>	Piston (3)	433	475	27*	36	4.7	Weak dimer <sup>j</sup>
UV-excitable green	T-Sapphire <sup>g</sup>	Griesbeck (6)	399	511	26*	25	4.9	Weak dimer <sup>j</sup>

<sup>a</sup>An expanded version of this table, including a list of other commercially available FPs, is available as **Supplementary Table 1**. <sup>b</sup>The mutations of all common AFPs relative to the wild-type protein are available in **Supplementary Table 3**. <sup>c</sup>Major excitation peak. <sup>d</sup>Major emission peak. <sup>e</sup>Product of extinction coefficient and quantum yield at pH 7.4 measured or confirmed (indicated by \*) in our laboratory under ideal maturation conditions, in (mM • cm)<sup>-1</sup> (for comparison, free fluorescein at pH 7.4 has a brightness of about 69 (mM • cm)<sup>-1</sup>). <sup>f</sup>Time for bleaching from an initial emission rate of 1,000 photons/s down to 500 photons/s (t<sub>1/2</sub>; for comparison, fluorescein at pH 8.4 has t<sub>1/2</sub> of 5.2 s); data are not indicative of photostability under focused laser illumination. <sup>g</sup>Brightest in spectral class. <sup>h</sup>Not recommended (dim with poor folding at 37 °C). <sup>i</sup>Citrine YFP with A206K mutation; spectroscopic properties equivalent to Citrine. <sup>j</sup>Can be made monomeric with A206K mutation. <sup>k</sup>Emerald has a pronounced fast bleaching component that leads to a very short time to 50% bleach. Its photostability after the initial few seconds, however, is comparable to that of EGFP. <sup>l</sup>Formerly sold by Clontech, no longer commercially available. <sup>m</sup>mCFP with A206K mutation; spectroscopic properties equivalent to ECFP.

## A guide to choosing fluorescent proteins

Nathan C Shaner<sup>1,2</sup>, Paul A Steinbach<sup>1,3</sup> & Roger Y Tsien<sup>1,3,4</sup>

<b>Emission (nm):</b>	410-490	500-530	555-565	580-620	>660
<b>Fluorophore:</b>	Hoechst	GFP	QD565	ReAsH	Cy5
<b>Targeting:</b>	direct affinity	genetic	immuno	genetic	immuno
<b>Target:</b>	DNA	$\alpha$ -tubulin	giantin	$\beta$ -actin	Cytochrome c
<b>Structure:</b>	nuclei	microtubules	golgi	stress fibers	mitochondria



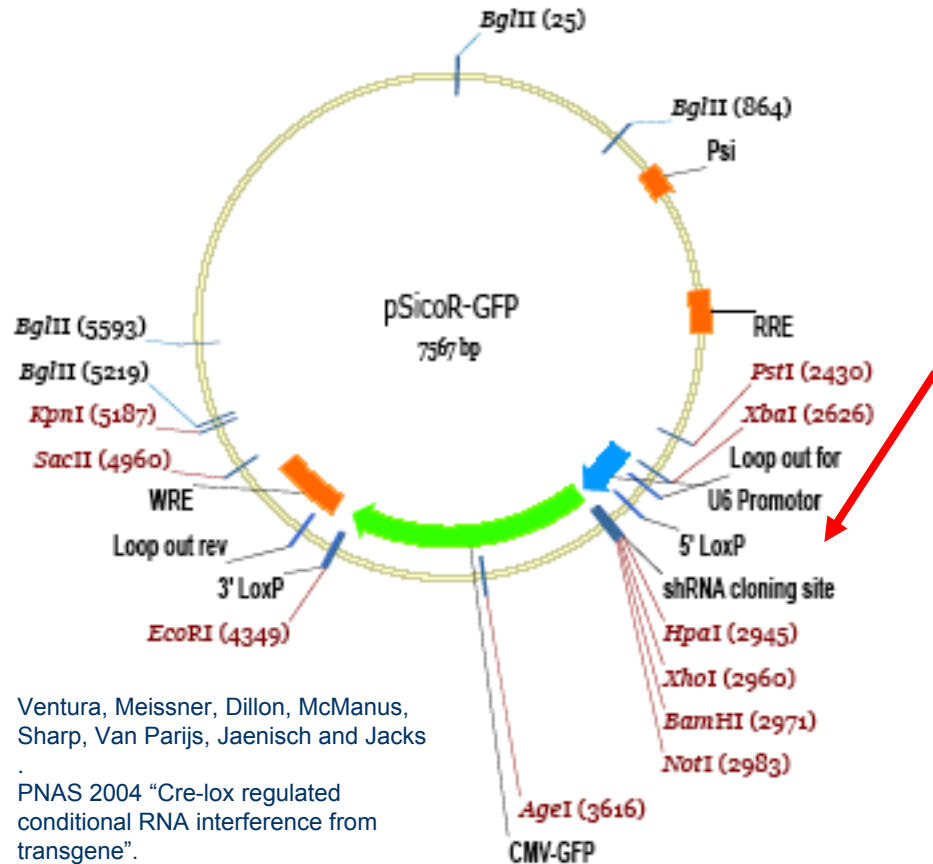
REVIEW

## The Fluorescent Toolbox for Assessing Protein Location and Function

Ben N. G. Giepmans,<sup>1,2</sup> Stephen R. Adams,<sup>2</sup> Mark H. Ellisman,<sup>1</sup> Roger Y. Tsien<sup>2,3\*</sup>

SCIENCE VOL 312 14 APRIL 2006

# shRNA for TTL



**shRNA elements:**

**TTL-1**

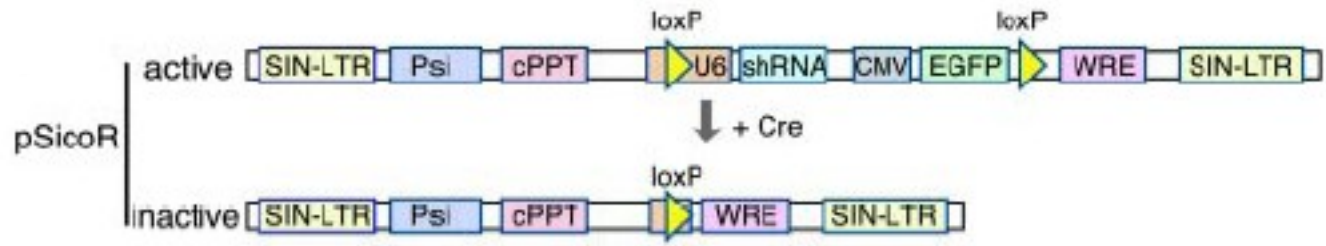
```
tgcatacaataagcatgagattccaagagatctcatgcttatttgatgc
tttttcacgtagtttattcgtactctaaggttctctagagtacgaata
aactacgaaaaaagagct
```

**TTL-2**

```
tggcaacggttggattgcaattccaagagattgcaatccaaacggttggc
tttttcaccggtgcaaacctaacgtaagggttctctaacgtaggtt
gcaacggaaaaaagagct
```

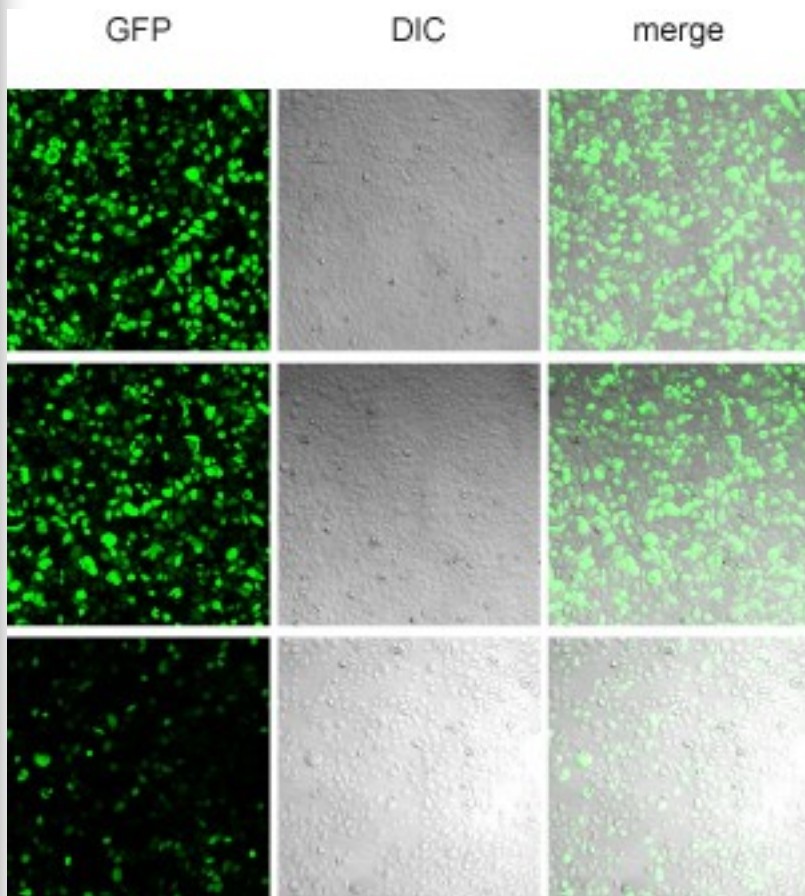
Ventura, Meissner, Dillon, McManus, Sharp, Van Parijs, Jaenisch and Jacks

PNAS 2004 "Cre-lox regulated conditional RNA interference from transgene".





# Pz-HPV-7 cells - shRNA for TTL (Lentivirus infection)



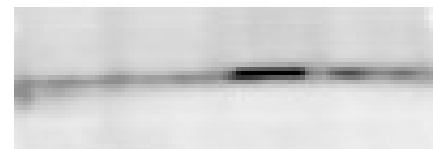
pSico

WT pSico TTL-1 TTL-2



TTL

TTL-1



Glu-Tub

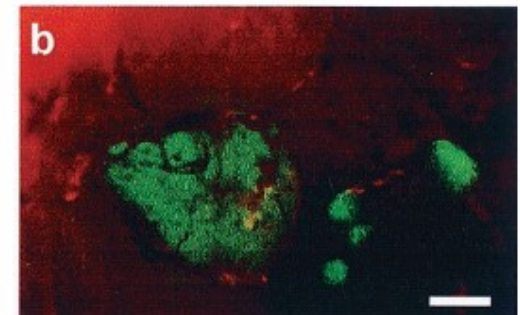
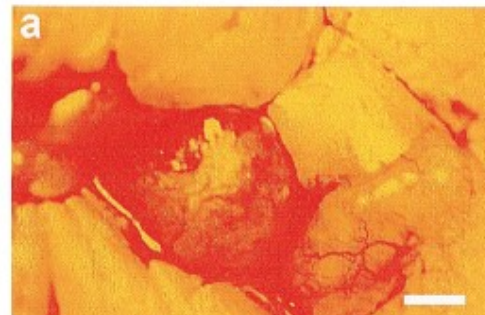
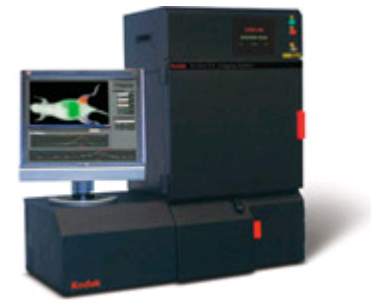
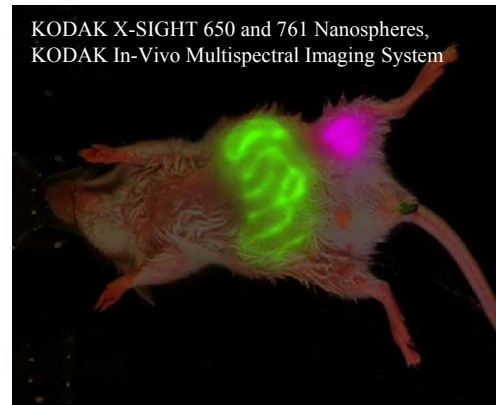
TTL-2



# *in vivo* molekulární vizualizace

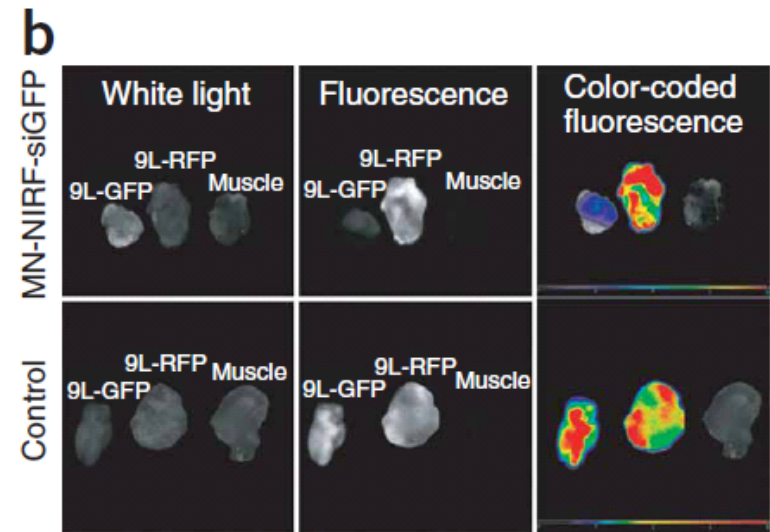
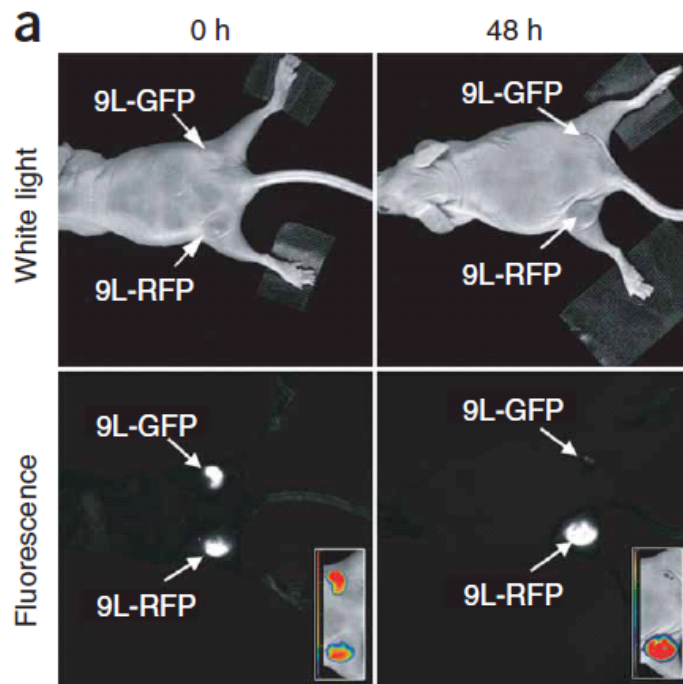


KODAK X-SIGHT 640 LSS Dyes *in vivo* with x-ray overlay



Hasegawa, S., Yang, M., Chishima, T., Miyagi, Y., Shimada, H., Moossa, A. R., and Hoffman, R. M. In vivo tumor delivery of the green fluorescent protein gene to report future occurrence of metastasis. *Cancer Gene Ther*, 7: 1336-1340, 2000.

# *in vivo* molekulární vizualizace



*In vivo* imaging of siRNA delivery and silencing in tumors VOLUME 13 | NUMBER 3 | MARCH 2007 **NATURE MEDICINE**

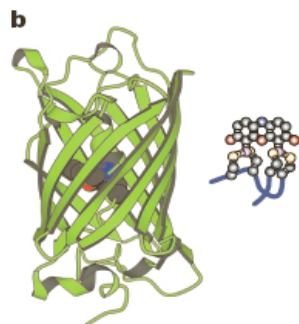
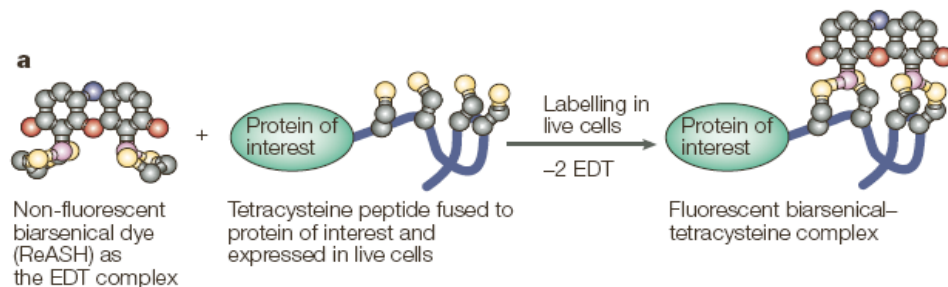
Zdravka Medarova<sup>1,3</sup>, Wellington Pham<sup>1,3</sup>, Christian Farrar<sup>1</sup>, Victoria Petkova<sup>2</sup> & Anna Moore<sup>1</sup>



# biarsenical–tetracysteine system

- Nefluorescenční, membránově permeabilní biarsénová značka vytváří kovalentní fluorescenční komplex s jakýmkoliv intracelulárním proteinem obsahujícím krátký tetracysteinový motiv (CCPGCC)

# biarsenical–tetracysteine system



**c**

Biarsenical dye	CHOxAsH	FAsH	ReAsH
Tetracysteine-complex excitation maximum (nm)	380	508	593
Tetracysteine-complex emission maximum (nm)	430	528	608



# „High Throughput Flow Cytometry“

- automatizace + robotizace = urychlení a efektivita sběru dat (měření desítky vzorků za hodinu s minimálním zásahem operátora )
- využití principu vícebarevné analýzy



# Automatizované systémy měření vzorků



Automatický karusel (autosampler)



Adaptér pro nasávání vzorků z mikrotitrační desky



# Automatizovaný „microsampler“ systém

*Cytek* FLOW CYTOMETRY PRODUCTS



## Mixing Small Volumes for Continuous High-Throughput Flow Cytometry: Performance of a Mixing Y and Peristaltic Sample Delivery

W. Coyt Jackson,<sup>1</sup> F. Kuckuck,<sup>1</sup> B.S. Edwards,<sup>1</sup> A. Mammoli,<sup>2</sup> C.M. Gallegos,<sup>2</sup> G.P. Lopez,<sup>3</sup> T. Buranda,<sup>1</sup> and L.A. Sklar<sup>1\*</sup>

<sup>1</sup>Department of Pathology and Cancer Research Facility, University of New Mexico Health Sciences Center, Albuquerque, New Mexico

<sup>2</sup>Department of Mechanical Engineering, University of New Mexico College of Engineering, Albuquerque, New Mexico

<sup>3</sup>Department of Chemical and Nuclear Engineering, University of New Mexico College of Engineering, Albuquerque, New Mexico

Received 26 July 2001; Revision received 13 December 2001; Accepted 18 December 2001

## High Throughput Flow Cytometry

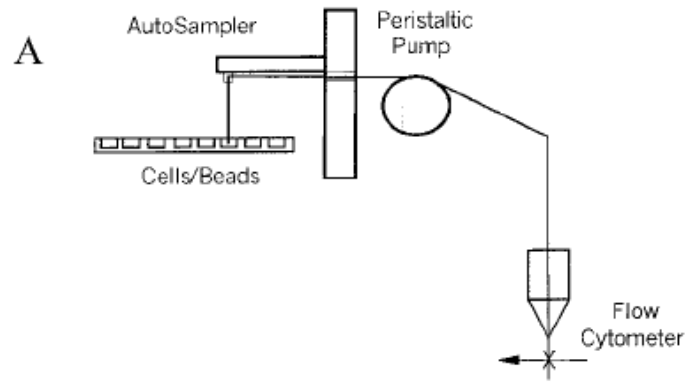
Frederick W. Kuckuck,<sup>1</sup> Bruce S. Edwards,<sup>1,2\*</sup> and Larry A. Sklar<sup>1,2\*</sup>

<sup>1</sup>Cytometry, Cancer Research and Treatment Center, University of New Mexico Health Sciences Center, Albuquerque, New Mexico

<sup>2</sup>Department of Pathology, University of New Mexico Health Sciences Center, Albuquerque, New Mexico

Received 18 September 2000; Revision Received 4 January 2001; Accepted 13 January 2001



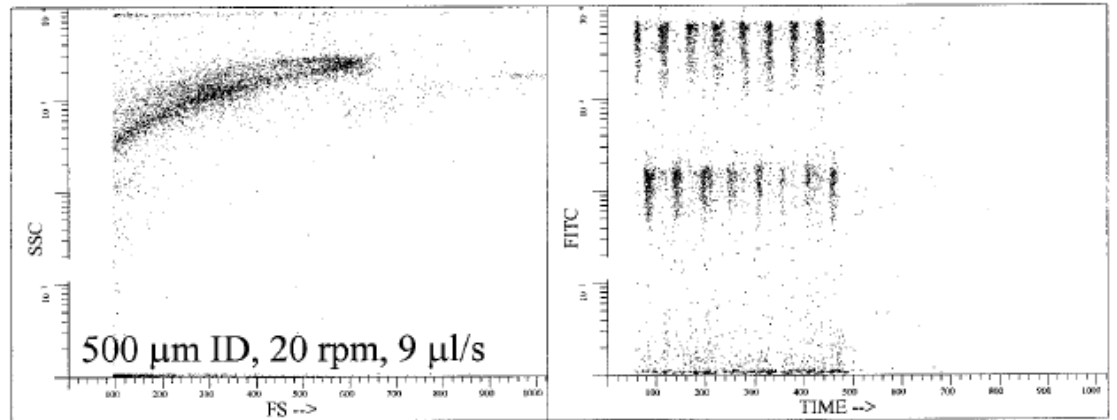


**B**



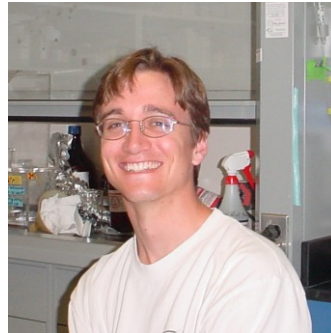
FIG. 1. High throughput flow cytometry. **A**: Schematic view of the flow cytometer, autosampler, and peristaltic pump. **B**: Adjacent samples of latex microspheres separated by air in the 0.02-in (254- $\mu$ m) ID tubing between the peristaltic pump and the flow cytometer.

**C**



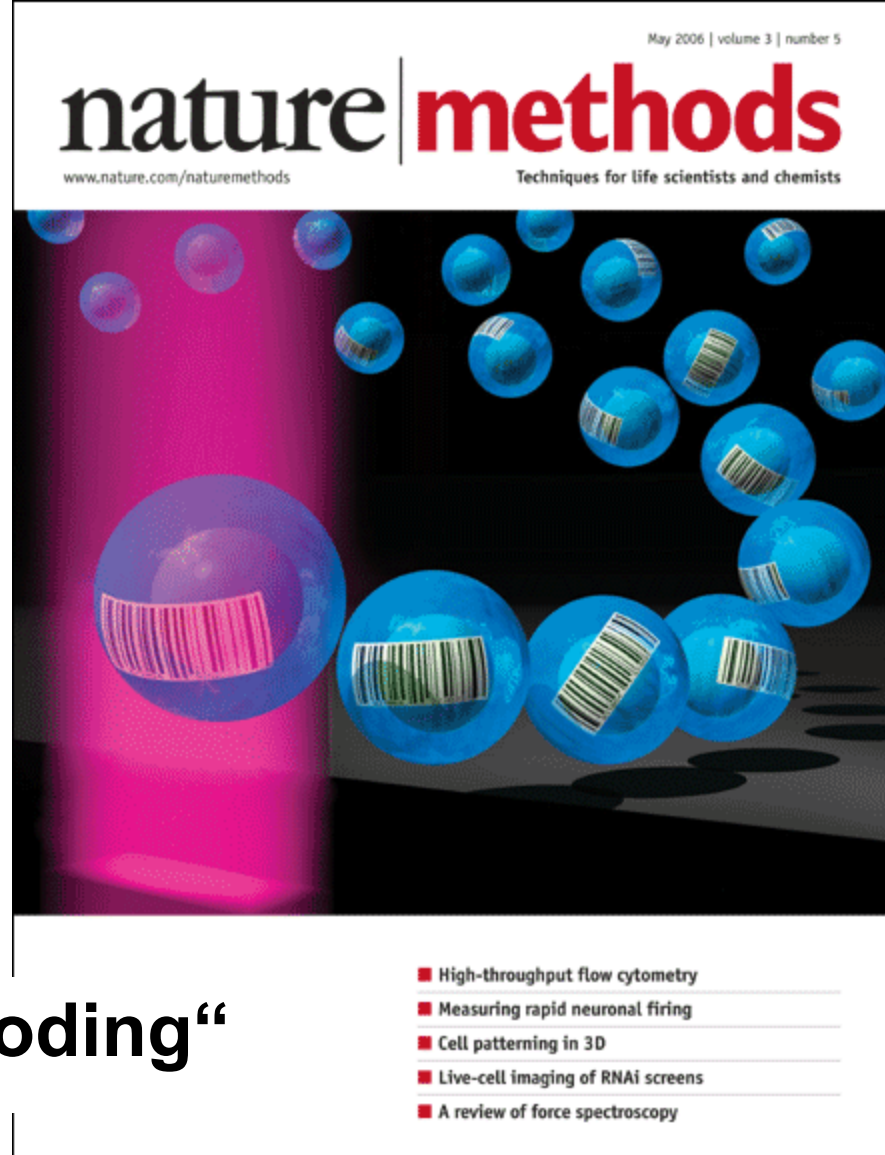


Garry Nolan



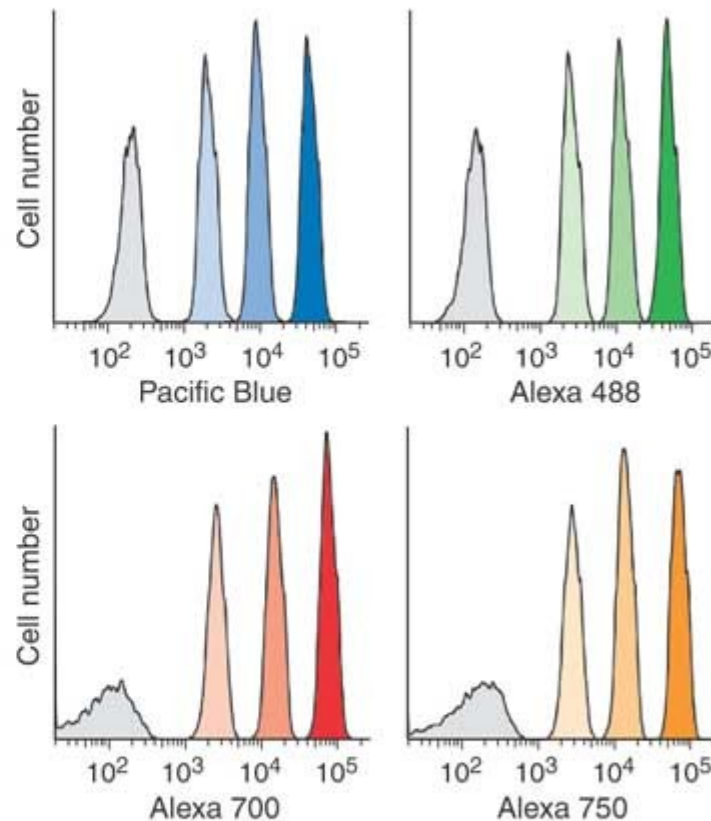
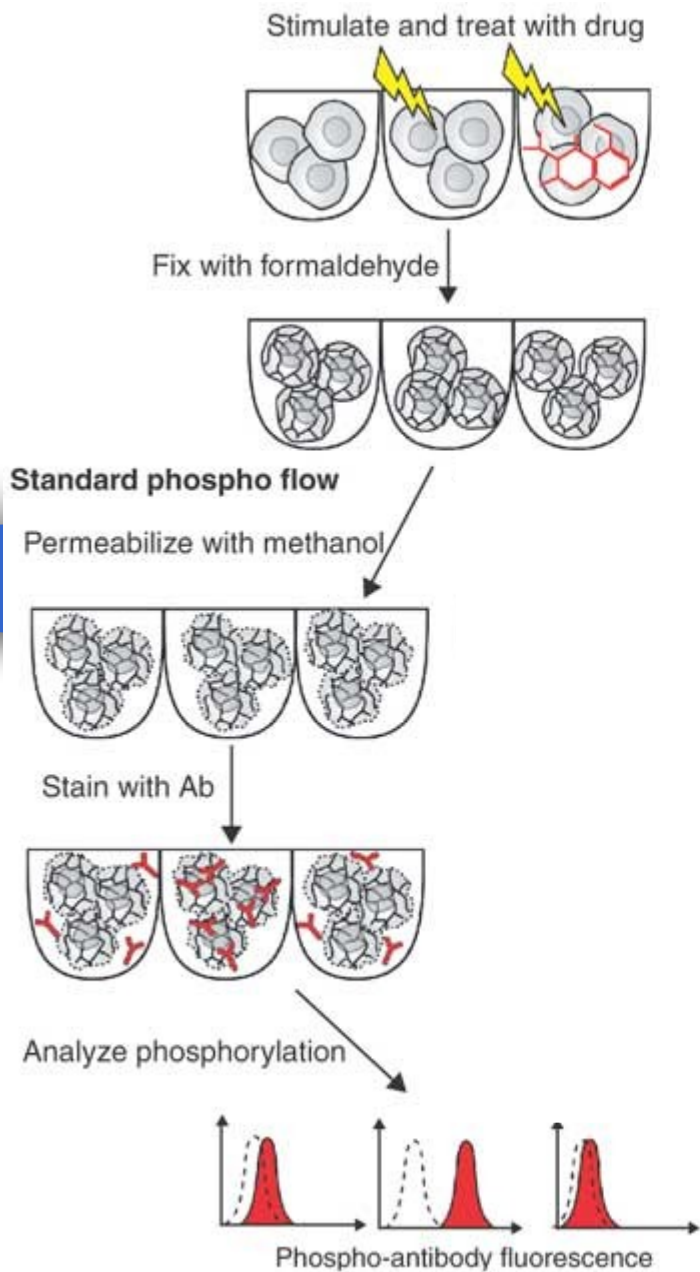
Peter Krutzik

# „Fluorescent cell barcoding“

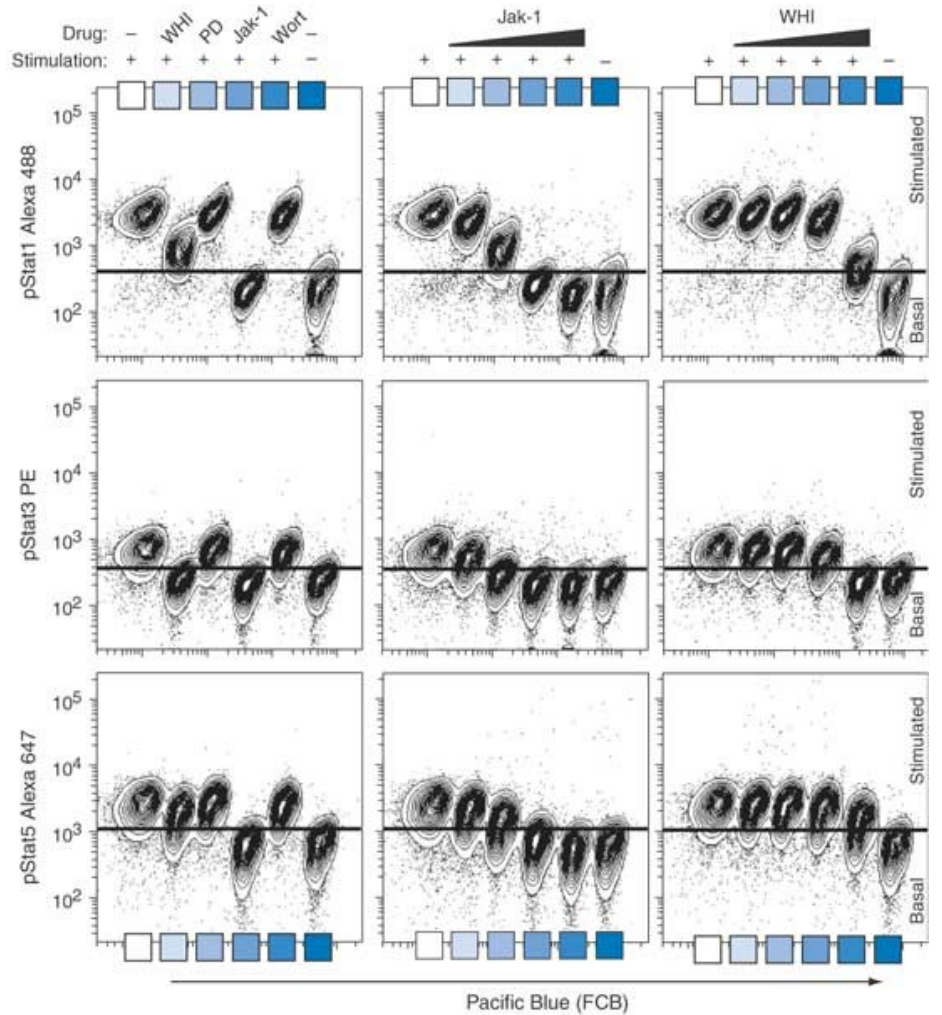
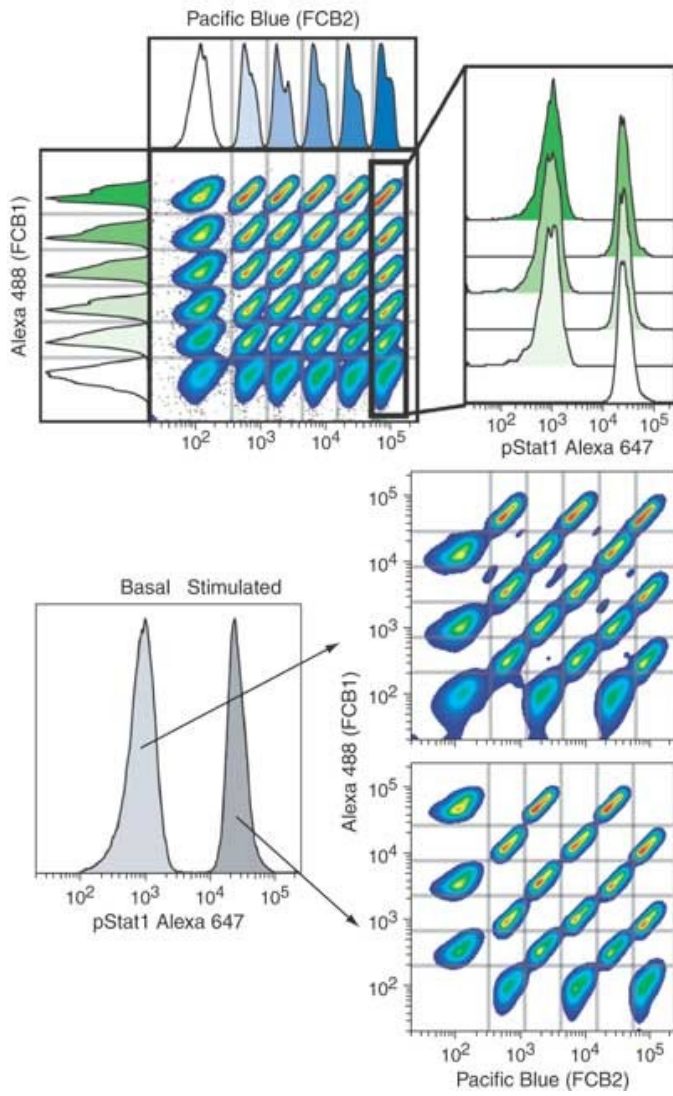


<http://proteomics.stanford.edu/nolan/>

<http://www.stanford.edu/group/nolan/>



[Krutzik PO, Nolan](#) Fluorescent cell barcoding in flow cytometry allows high-throughput drug screening and signaling profiling. Nat Methods. 2006 May;3(5):361-8.



[Krutzik PO, Nolan](#) Fluorescent cell barcoding in flow cytometry allows high-throughput drug screening and signaling profiling. Nat Methods. 2006 May;3(5):361-8.



# Biologické aplikace průtokové cytometrie

## ■ Cytogenetika

- analýza chromozómů
  - karyotyp
  - sortování
    - chromozómové DNA knihovny
    - FISH značení (chromosome painting)





# Analýza a sortování chromozómů

*Proc. Natl. Acad. Sci. USA*  
Vol. 76, No. 3, pp. 1382–1384, March 1979  
Genetics

## **Measurement and purification of human chromosomes by flow cytometry and sorting**

(isolated chromosomes/DNA cytophotometry/flow microfluorometer)

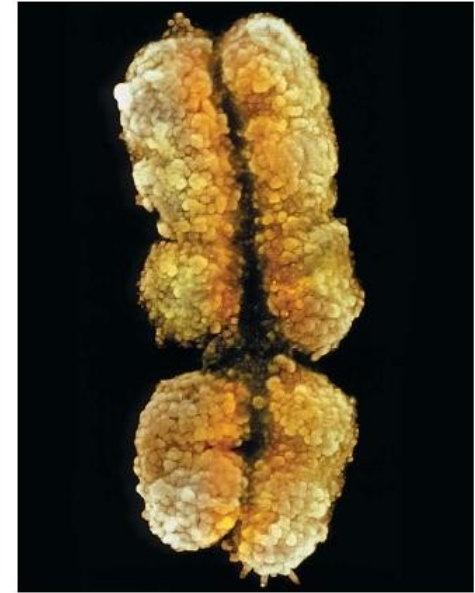
A. V. CARRANO, J. W. GRAY, R. G. LANGLOIS, K. J. BURKHART-SCHULTZ, AND M. A. VAN DILLA

Biomedical Sciences Division, L-452, Lawrence Livermore Laboratory, Livermore, California 94550

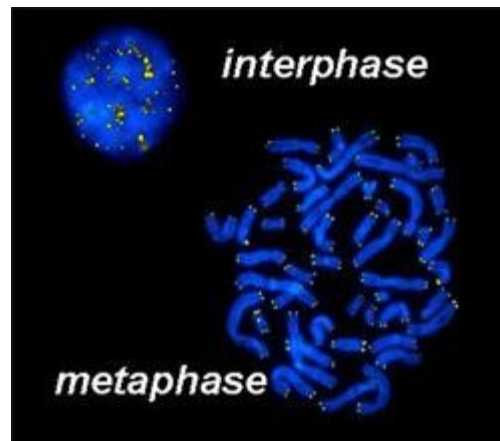
*Communicated by Donald A. Glaser, December 18, 1978*

# Analýza a sortování chromozómů

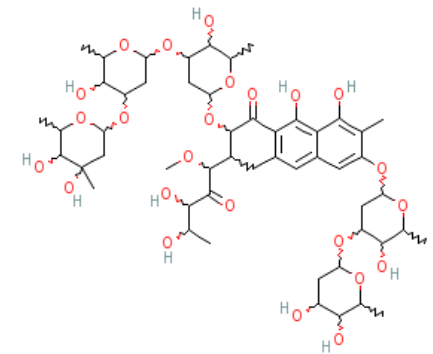
- synchronizace buněk – získání metafázních chromozómů (colcemid, hydroxyurea)
  - izolace chromozómů
  - značení DAPI nebo **Hoechst** vs. **chromomycin A3** (CA3) nebo mithramycin
- = celková DNA vs. G/C-bohaté oblasti



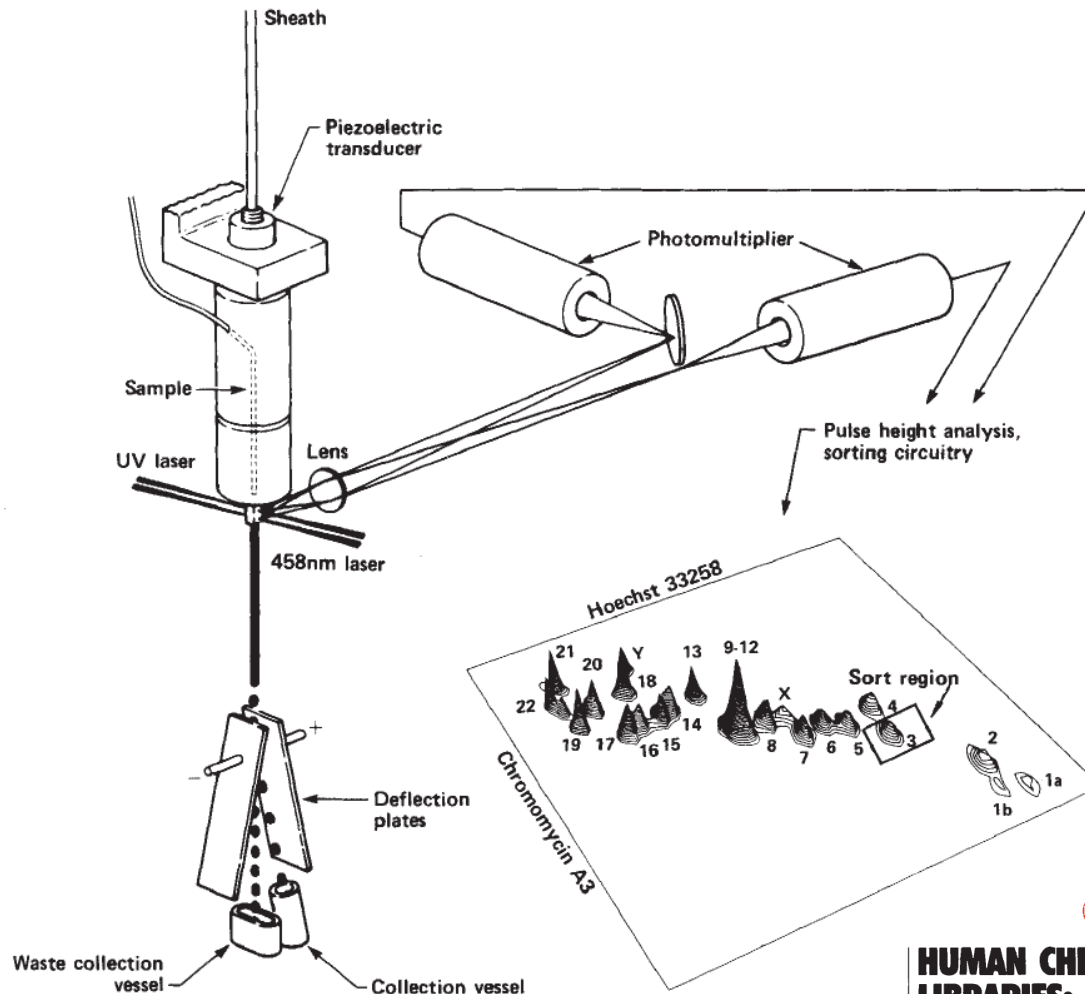
<http://www.scienceclarified.com/Ca-Ch/Chromosome.html>



<http://www.nccr-oncology.ch/scripts/page9243.html>



# Analýza a sortování chromozómů



 © 1986 Nature Publishing Group <http://www.nature.com/naturebiotechnology>

## HUMAN CHROMOSOME-SPECIFIC DNA LIBRARIES: CONSTRUCTION AND AVAILABILITY

M.A. Van Dilla<sup>□</sup>, L.L. Deaven<sup>□</sup>, K.L. Albright<sup>†</sup>, N.A. Allen<sup>\*</sup>, M.R. Aubuchon<sup>\*</sup>, M.F. Bartholdi<sup>†</sup>, N.C. Brown<sup>†</sup>, E.W. Campbell<sup>†</sup>, A.V. Carrano<sup>\*</sup>, L.M. Clark<sup>†</sup>, L.S. Cram<sup>†</sup>, B.D. Crawford<sup>†</sup>, J.C. Fuscoe<sup>\*</sup>, J.W. Gray<sup>\*</sup>, C.E. Hildebrand<sup>†</sup>, P.J. Jackson<sup>†</sup>, J.H. Jett<sup>†</sup>, J.L. Longmire<sup>†</sup>, C.R. Lozes<sup>\*</sup>, M.L. Luedemann<sup>†</sup>, J.C. Martin<sup>†</sup>, J.S. McNinch<sup>\*</sup>, L.J. Meincke<sup>†</sup>, M.L. Mendelsohn<sup>\*</sup>, J. Meyne<sup>†</sup>, R.K. Moyzis<sup>†</sup>, A.C. Munk<sup>†</sup>, J. Perlman<sup>\*</sup>, D.C. Peters<sup>\*</sup>, A.J. Silva<sup>\*</sup>, and B.J. Trask<sup>\*</sup>.

National Laboratory Gene Library Project. <sup>\*</sup> Lawrence Livermore National Laboratory, Biomedical Sciences Division, University of California, P.O. Box 5507 L-452, Livermore, California 94550. <sup>†</sup> Los Alamos National Laboratory, Life Sciences Division, University of California, Los Alamos, New Mexico 87545. <sup>□</sup> To whom correspondence should be directed.

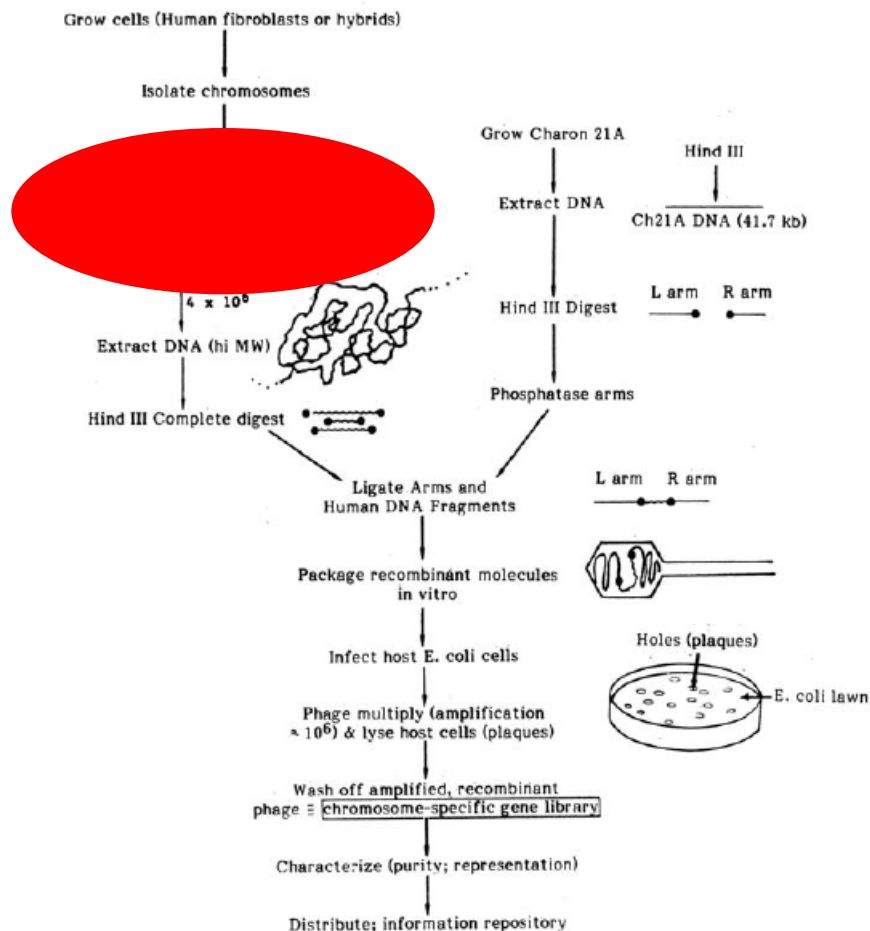


## HUMAN CHROMOSOME-SPECIFIC DNA LIBRARIES: CONSTRUCTION AND AVAILABILITY

M.A. Van Dilla<sup>□</sup>, L.L. Deaven<sup>□</sup>, K.L. Albright<sup>†</sup>, N.A. Allen<sup>\*</sup>, M.R. Aubuchon<sup>\*</sup>, M.F. Bartholdi<sup>†</sup>, N.C. Brown<sup>†</sup>, E.W. Campbell<sup>†</sup>, A.V. Carrano<sup>\*</sup>, L.M. Clark<sup>†</sup>, L.S. Cram<sup>†</sup>, B.D. Crawford<sup>†</sup>, J.C. Fuscoe<sup>†</sup>, J.W. Gray<sup>\*</sup>, C.E. Hildebrand<sup>†</sup>, P.J. Jackson<sup>†</sup>, J.H. Jett<sup>†</sup>, J.L. Longmire<sup>†</sup>, C.R. Lozes<sup>\*</sup>, M.L. Luedemann<sup>†</sup>, J.C. Martin<sup>†</sup>, J.S. McNinch<sup>†</sup>, L.J. Meincke<sup>†</sup>, M.L. Mendelsohn<sup>†</sup>, J. Meyne<sup>†</sup>, R.K. Moyzis<sup>†</sup>, A.C. Munk<sup>†</sup>, J. Perlman<sup>†</sup>, D.C. Peters<sup>\*</sup>, A.J. Silva<sup>\*</sup>, and B.J. Trask<sup>\*</sup>

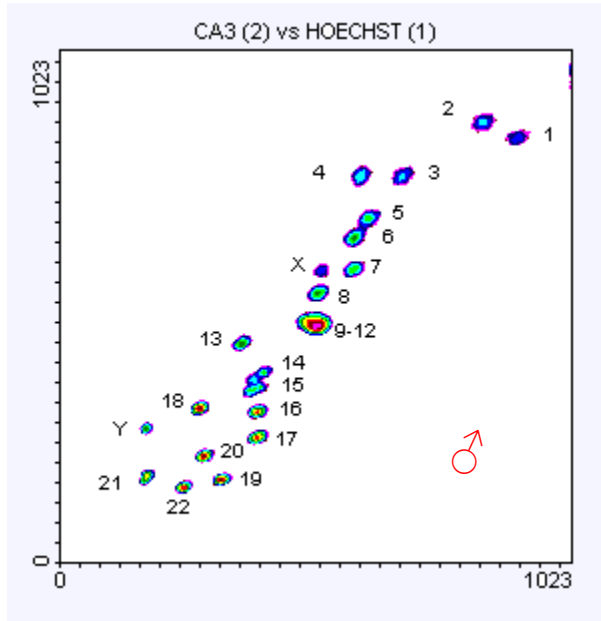
National Laboratory Gene Library Project. <sup>\*</sup> Lawrence Livermore National Laboratory, Biomedical Sciences Division, University of California, P.O. Box 5507 L-452, Livermore, California 94550; <sup>†</sup> Los Alamos National Laboratory, Life Sciences Division, University of California, Los Alamos, New Mexico 87545; <sup>□</sup> To whom correspondence should be directed.

### CONSTRUCTION OF A PHASE I CHROMOSOME-SPECIFIC (#18) HUMAN GENE LIBRARY IN CHARON 21A USING HIND III (LLNL)



e!

# „Flow karyotype“



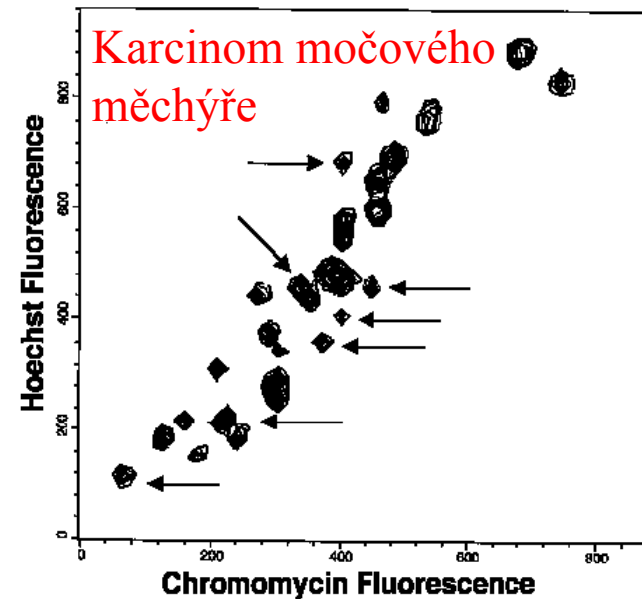
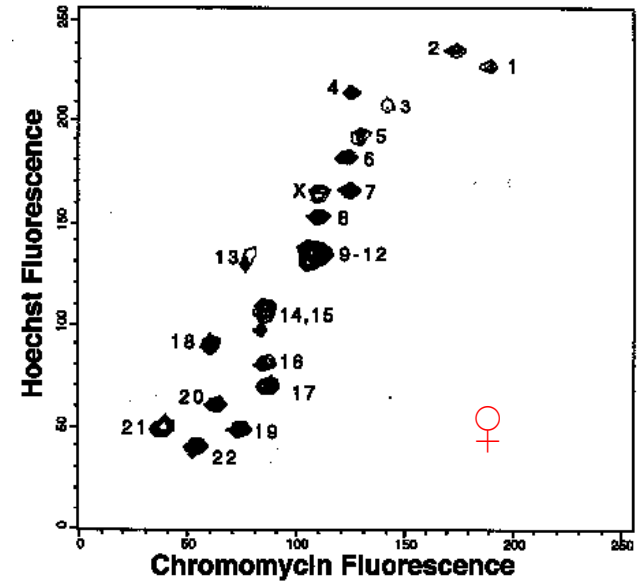
<http://www.sanger.ac.uk/HGP/Cytogenetics/>

## The Preparation of Human Chromosomes for Flow Cytometry

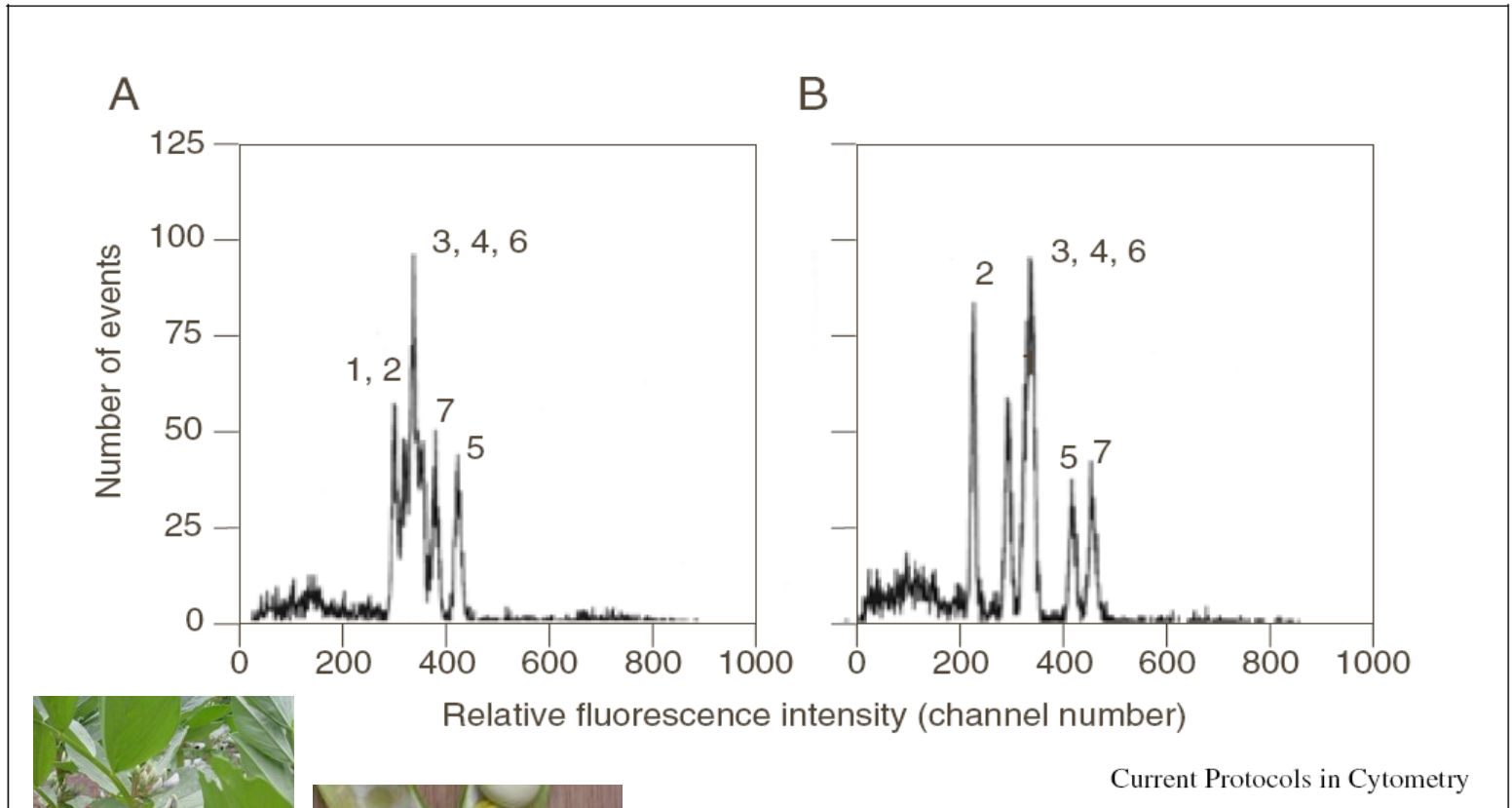
DEREK DAVIES

*FACS Laboratory, Imperial Cancer Research Fund, 44 Lincoln's Inn Fields, London WC2A 3PX*

Vol. 33/2 Proceedings RMS June 1998

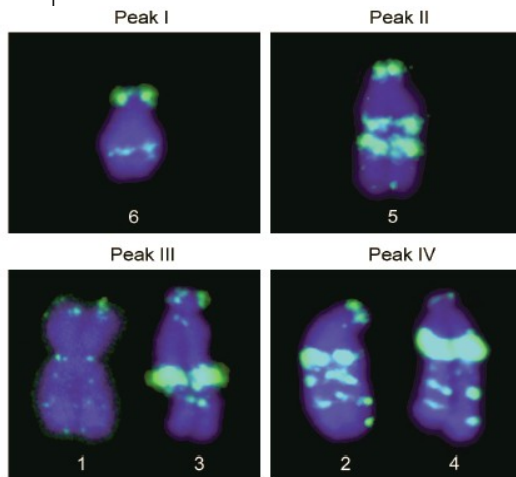
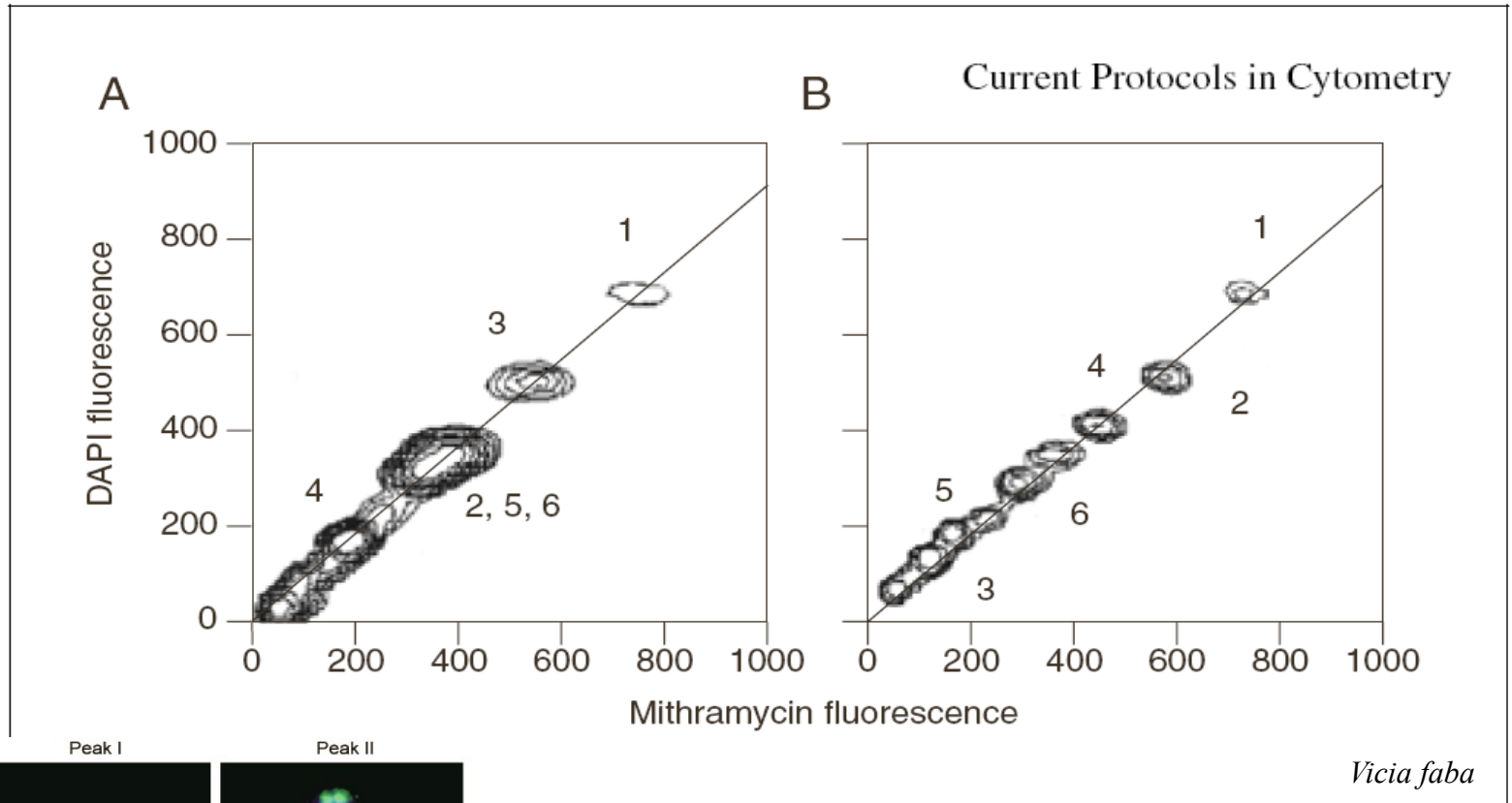


# Sortování chromozómů



*Pisum sativum*

# Sortování chromozómů



BIOLOGIA PLANTARUM 51 (1): 43-48, 2007

**Chromosome analysis and sorting in *Vicia sativa* using flow cytometry**

P. KOVÁŘOVÁ<sup>1</sup>, A. NAVRÁTILOVÁ<sup>2</sup>, J. MACAS<sup>2</sup> and J. DOLEŽEL<sup>1,3\*</sup>





# Aplikace průtokové cytometrie v mikrobiologii

- ekologie
- potravinářství
- bioterorismus

<http://www.cyto.purdue.edu/flowcyt/research/micrflow/>

# Aplikace průtokové cytometrie v mikrobiologii

Relative Size Ratios for Bacteria, Yeast, and Eukaryotes

Measurement	Bacteria	Yeast	Eukaryote
Diameter	0.5-5	3-5	10-30
Surface area	3-12	30-75	300-3000
Volume	0.3-3	20-125	500-1500
Dry cell mass	1	10	300-3000

Current Protocols in Cytometry



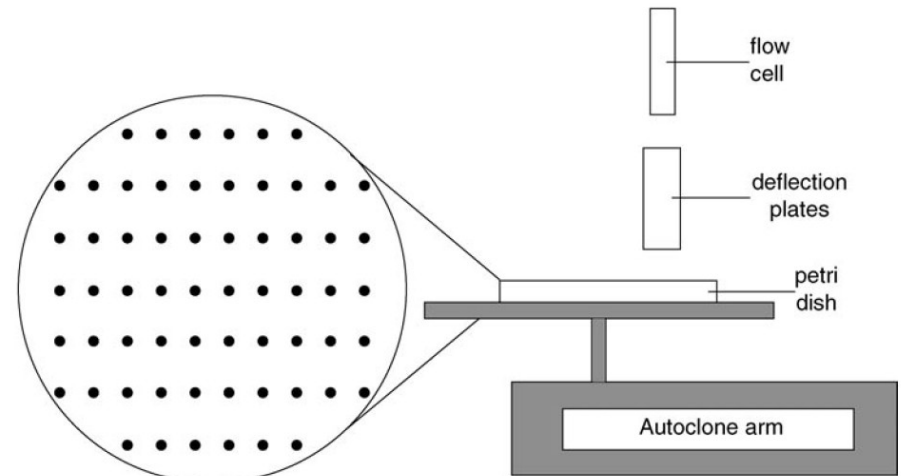
# Aplikace průtokové cytometrie v mikrobiologii

- viabilita
- metabolické funkce
- sortování
- analýza aerosolů (Fluorescence Aerodynamic Particle Sizer (Flaps))

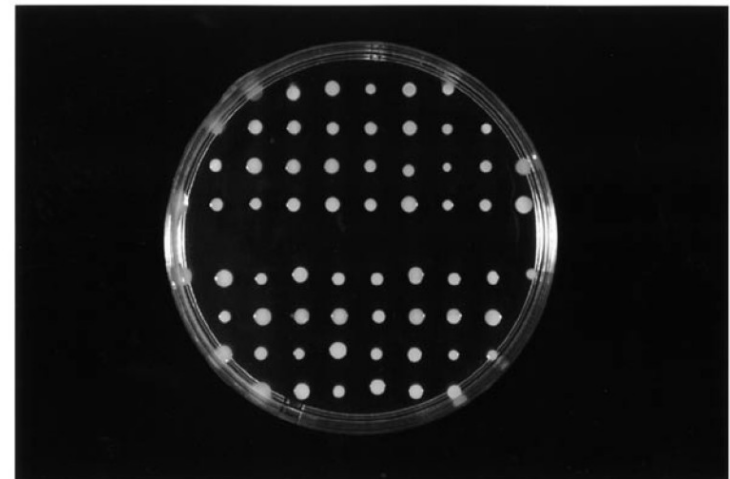


# Aplikace průtokové cytometrie v mikrobiologii

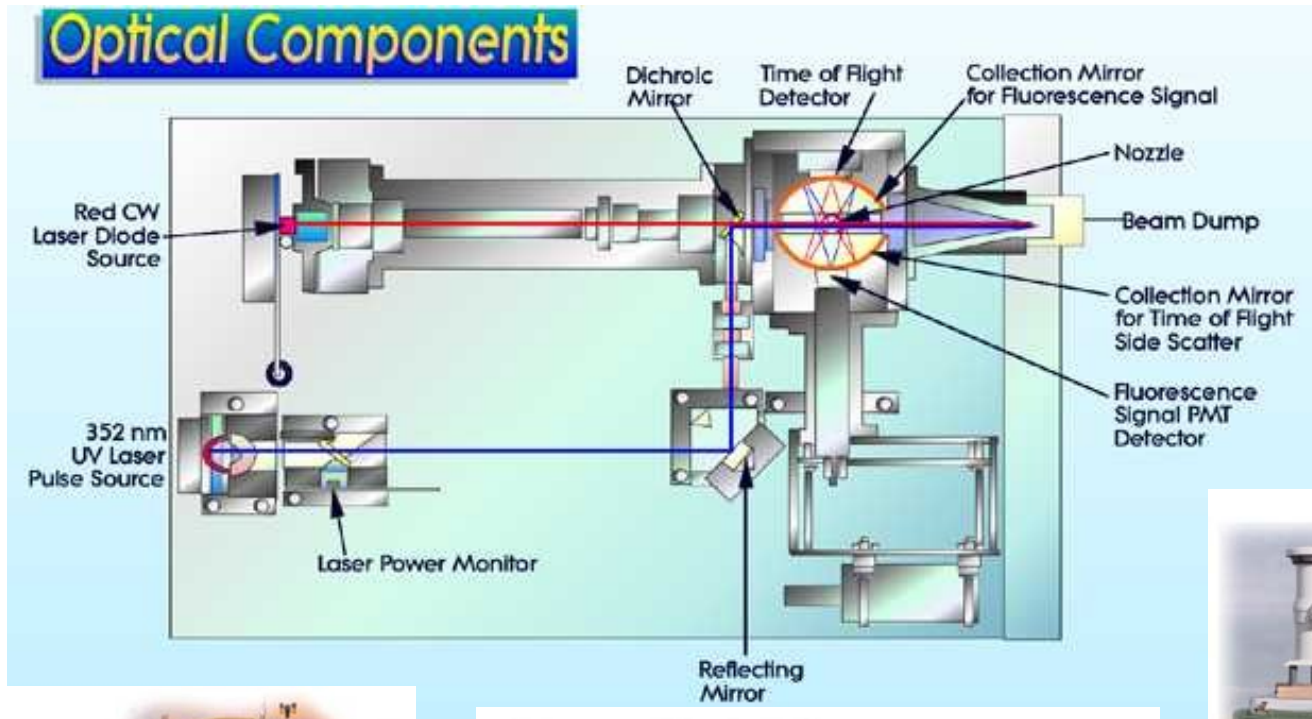
- Sortování
  - EPICS + Autoclone® modul



top view of petri dish showing sort grid

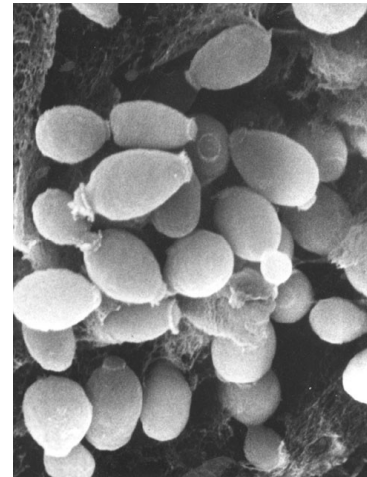


# Fluorescence Aerodynamic Particle Sizer (Flaps)

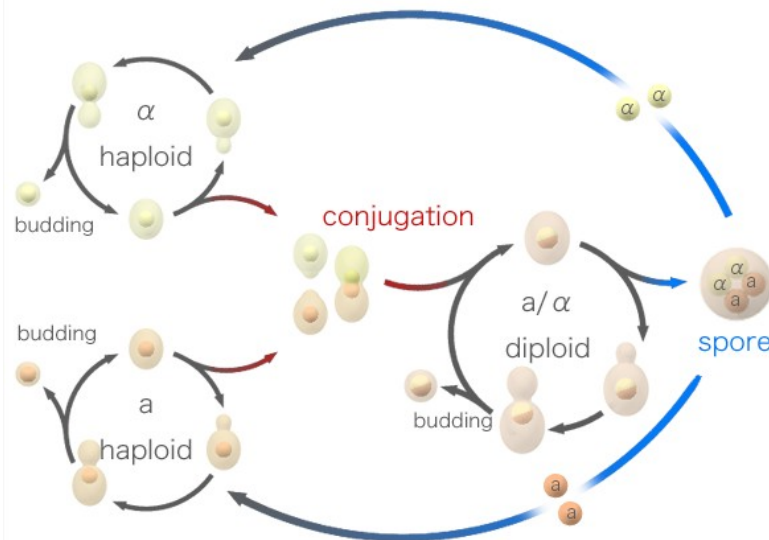


# Průtoková cytometrie kvasinek

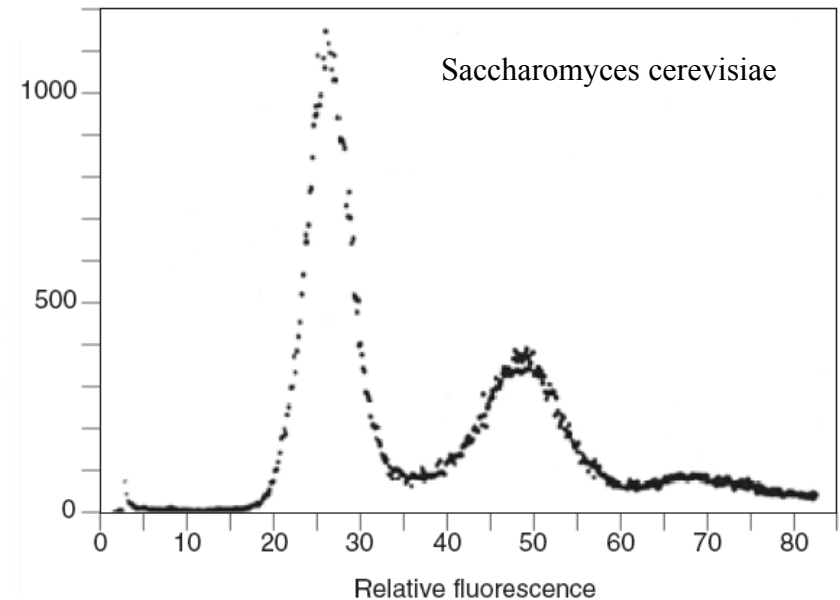
- buněčné dělení
- viabilita
- membránový potenciál
- respirace
- produkce  $H_2O_2$
- citlivost k antibiotikům
- separace



[http://www.sbs.utexas.edu/mycology/sza\\_images\\_SEM.htm](http://www.sbs.utexas.edu/mycology/sza_images_SEM.htm)



[http://en.wikipedia.org/wiki/Image:Budding\\_yeast\\_Lifecycle.png](http://en.wikipedia.org/wiki/Image:Budding_yeast_Lifecycle.png)



# Průtoková cytometrie kvasinek

## Yeast Cell Cycle During Fermentation and Beer Quality

Masahito Muro,<sup>1</sup> Kenichiro Izumi, Takeo Imai, Yutaka Ogawa, and Motoo Ohkochi, *Research Laboratories for Brewing, Kirin Brewery Co., Ltd., 1-17-1, Namamugi, Tsurumi-ku, Yokohama, 230-8628 Japan*

J. Am. Soc. Brew. Chem. 64(3):151-154, 2006



# Průtoková cytometrie v hydrobiologii

- studium pico- a nanofytoplanktonu ( $< 20 \mu\text{M}$ )
- analýza metabolických funkcí planktonu
- studium pigmentace (analýza chlorofylu a fykoeritrinu)







# Průtoková cytometrie v hydrobiologii

© 2001 Wiley-Liss, Inc.

Cytometry 44:236–246 (2001)

## **Monitoring Phytoplankton, Bacterioplankton, and Virioplankton in a Coastal Inlet (Bedford Basin) by Flow Cytometry**

**W.K.W. Li\* and P.M. Dickie**

Biological Oceanography Section, Bedford Institute of Oceanography, Dartmouth, Nova Scotia, Canada

Received 4 October 2000; Revision Received 2 May 2001; Accepted 2 May 2001

© 1989 Alan R. Liss, Inc.

Cytometry 10:659–669 (1989)

## **Using Phytoplankton and Flow Cytometry to Analyze Grazing by Marine Organisms**

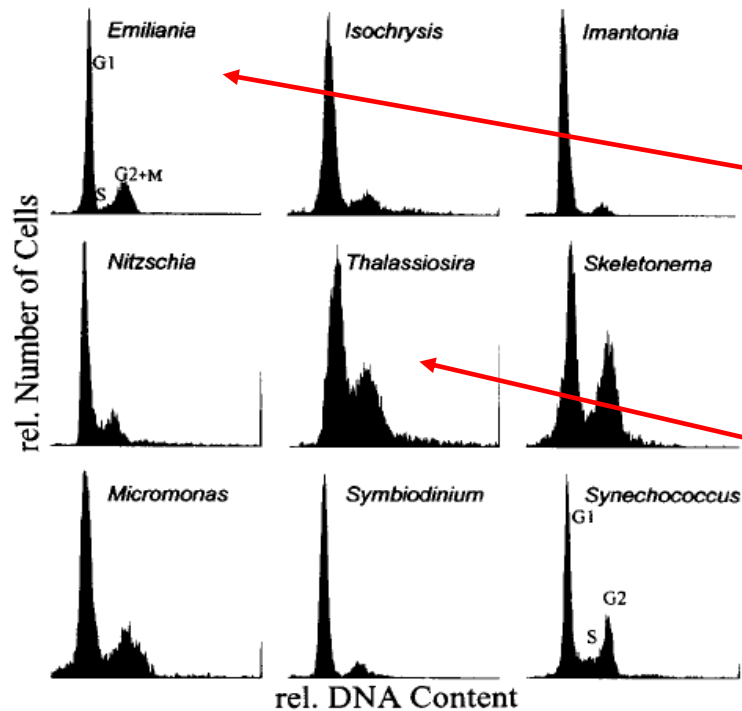
**Terry L. Cucci, Sandra E. Shumway, Wendy S. Brown, and Carter R. Newell**

Department of Marine Resources (S.E.S.) and Bigelow Laboratory for Ocean Sciences (T.L.C., S.E.S.), West Boothbay Harbor, Maine 04575; Chemistry Department, Bowdoin College (W.S.B.), Brunswick, Maine 04011; Great Eastern Mussel Farms (C.R.N.), Tenants Harbor, Maine 04857

Received for publication November 2, 1988; accepted April 17, 1989

# Průtoková cytometrie v hydrobiologii

## ■ analýza DNA



Vol. 185: 301–307, 1999	MARINE ECOLOGY PROGRESS SERIES Mar Ecol Prog Ser	Published August 20
-------------------------	---	---------------------

NOTE

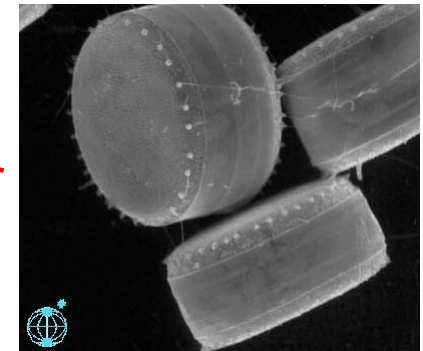
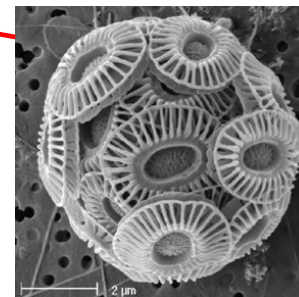
Cytometric measurement of the DNA cell cycle in the presence of chlorophyll autofluorescence in marine eukaryotic phytoplankton by the blue-light excited dye YOYO-1

Frank J. Jochem<sup>1,\*</sup>, Doris Meyerdierks<sup>2</sup>

<sup>1</sup>Institut für Meereskunde, Düsterbrookweg 20, D-24105 Kiel, Germany

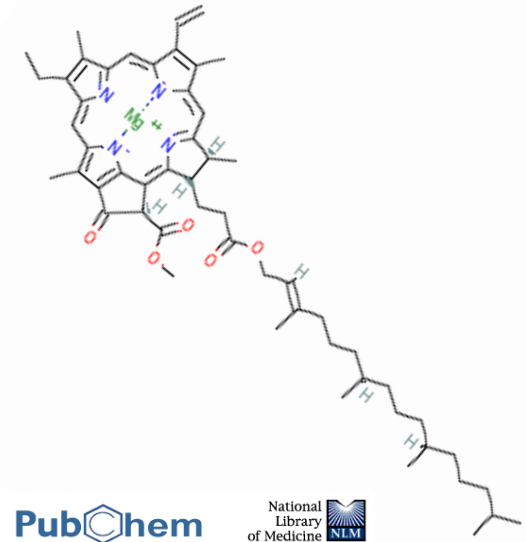
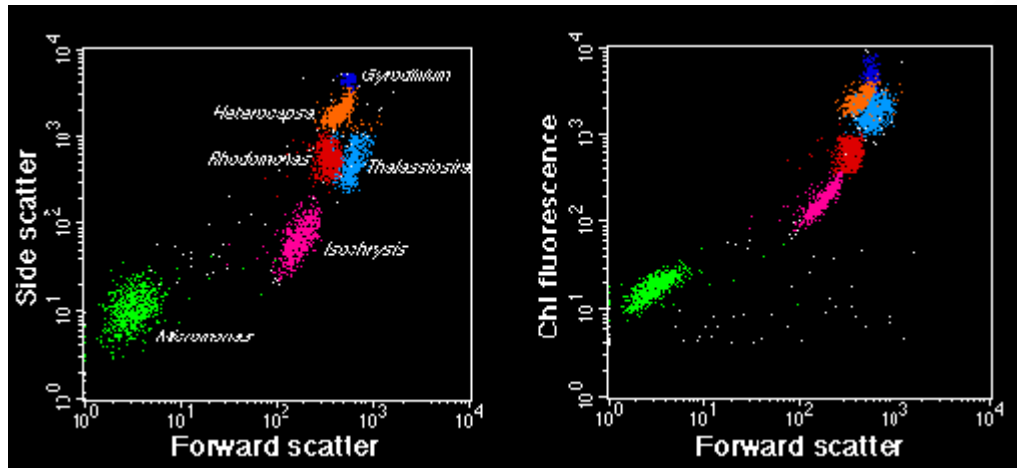
<sup>2</sup>Universität Bremen, FB II Meeresbotanik, Postfach 330440, D-28334 Bremen, Germany

<http://www.soes.soton.ac.uk/staff/tt/>



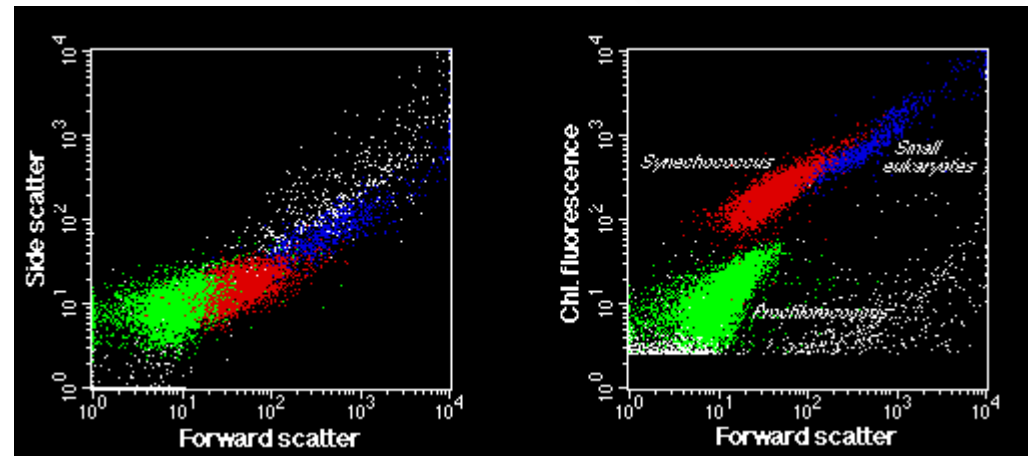
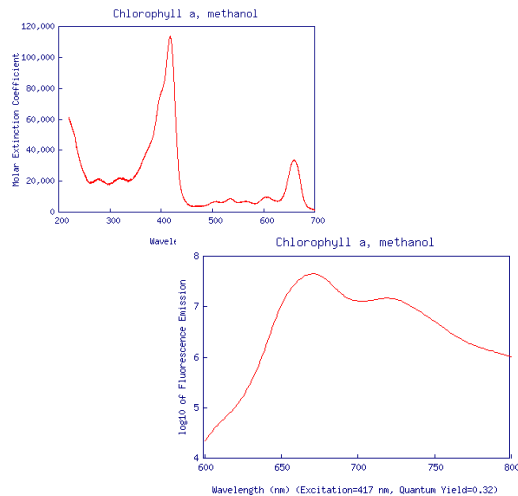


# Průtoková cytometrie v hydrobiologii



PubChem

National Library of Medicine NLM



# Průtoková cytometrie bezobratlých

- lze aplikovat běžné metodické přístupy a fluorescenční značky
- Příklady aplikací:
  - buněčný cyklus
  - cytotoxicita
  - apoptóza





# Invertebrate Survival Journal

ISJ 2: 32-40, 2005

ISSN 1824-307X

Review

**Flow cytometry as a tool for analysing invertebrate cells**

**A Cossarizza<sup>1</sup>, M Pinti<sup>1</sup>, L Troiano<sup>1</sup>, EL Cooper<sup>2</sup>**

<sup>1</sup> *Department of Biomedical Sciences, University of Modena and Reggio Emilia, Modena, Italy*

<sup>2</sup> *Department of Neurobiology, UCLA School of Medicine, Los Angeles, CA, USA*

# Shrnutí přednášky

- analýza DNA
- analýza buněčných funkcí
- fluorescenční proteiny
- Flow cytometrické metody detekce apoptózy.
- „High-throughput“ průtoková cytometrie ...
- ... a uplatnění vícebarevné detekce.
- sortování chromozómů
- aplikace v mikrobiologii, hydrobiologii a studiu bezobratlých

## Na konci dnešní přednášky by jste měli:

1. vědět jakým způsobem je možné analyzovat buněčný cyklus.
2. umět navrhnout další parametr kombinovatelný s DNA analýzou.
3. znát příklady buněčných funkcí které je možné analyzovat na průtokovém cytometru.
4. vědět co jsou to fluorescenční proteiny a jaké jsou výhody jejich využití v buněčné biologii.
5. vědět co je to „high-throughput“, průtoká cytometrie
  1. ...a jak se v ní může uplatnit princip vícebarevného značení.
6. znát základní principy měření a sortování chromozómů pomocí průtokového cytometru;
7. mít představu o možných aplikacích průtokové cytometrie v mikrobiologii, hydrobiologii a studiu bezobratlých.